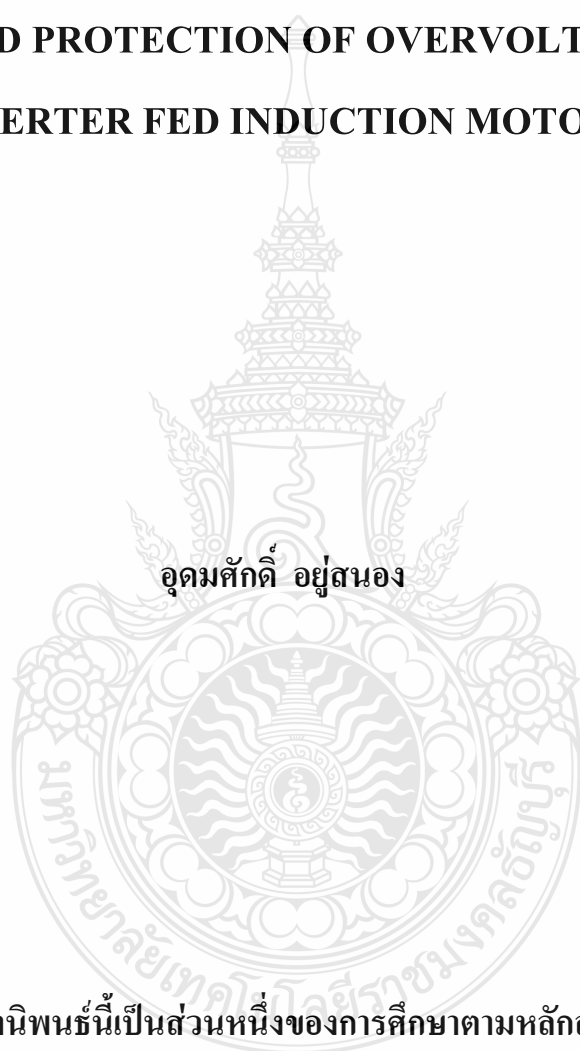


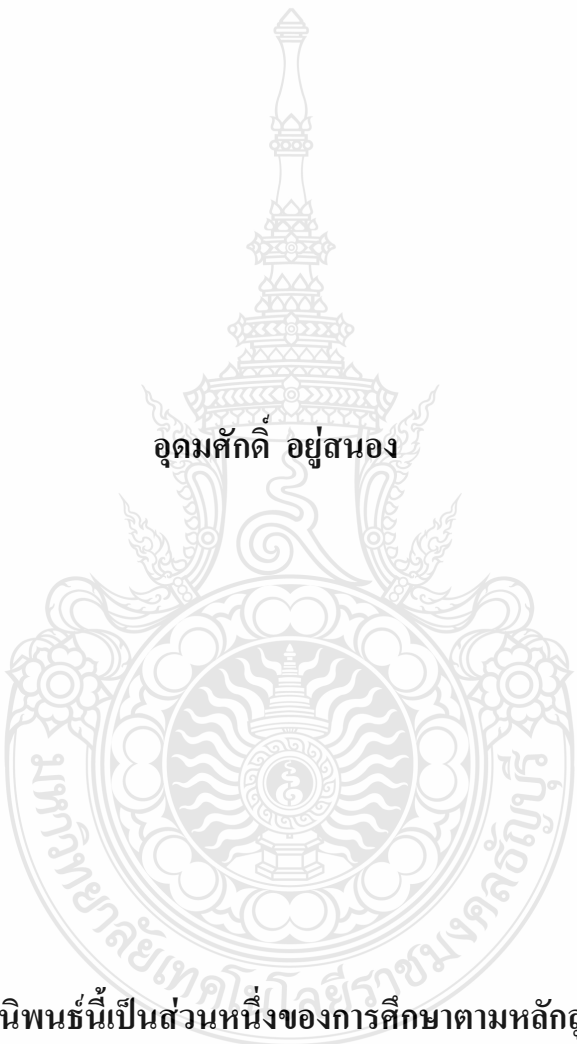
การวิเคราะห์และป้องกันแรงดันเกินของมอเตอร์เหนี่ยวนำ  
ที่ขับเคลื่อนด้วยอินเวอร์เตอร์พีดบบลิวเอ็ม

**ANALYSIS AND PROTECTION OF OVERVOLTAGE IN PWM  
INVERTER FED INDUCTION MOTORS**



วิทยานิพนธ์นี้เป็นส่วนหนึ่งของการศึกษาตามหลักสูตร  
ปริญญาวิกรรมศาสตร์มหาบัณฑิต สาขาวิชวกรรมไฟฟ้า  
คณะวิกรรมศาสตร์  
มหาวิทยาลัยเทคโนโลยีราชมงคลล้านนา  
ปีการศึกษา 2555  
ลิขสิทธิ์ของมหาวิทยาลัยเทคโนโลยีราชมงคลล้านนา

การวิเคราะห์และป้องกันแรงดันเกินของมอเตอร์เหนี่ยวนทำที่ขับเคลื่อน  
ด้วยอินเวอร์เตอร์พีดบบลิวเอ็ม



วิทยานิพนธ์นี้เป็นส่วนหนึ่งของการศึกษาตามหลักสูตร  
ปริญญาวิกรรมศาสตร์มหาบัณฑิต สาขาวิชาวิกรรมไฟฟ้า  
คณะวิกรรมศาสตร์  
มหาวิทยาลัยเทคโนโลยีราชมงคลล้านนา  
ปีการศึกษา 2555  
ลิขสิทธิ์ของมหาวิทยาลัยเทคโนโลยีราชมงคลล้านนา

หัวข้อวิทยานิพนธ์	การวิเคราะห์และป้องกันแรงดันเกินของมอเตอร์เหนี่ยวนำที่ขับเคลื่อนด้วยอินเวอร์เตอร์พีดับบลิวเอ็ม
ชื่อ – นามสกุล	นายอุดมศักดิ์ อุยสันคง
สาขาวิชา	วิศวกรรมไฟฟ้า
อาจารย์ที่ปรึกษา	ผู้ช่วยศาสตราจารย์กุญจน์ชันม์ ภูมิกิตติพิชญ์, Ph.D.
ปีการศึกษา	2555

## บทคัดย่อ

กระบวนการทำงานในโรงงานอุตสาหกรรมอินเวอร์เตอร์ถูกนำมาใช้ควบคุมมอเตอร์เหนี่ยวนำอย่างกว้างขวาง ซึ่งในกรณีที่อินเวอร์เตอร์ถูกติดตั้งให้มีระบบห่างกันมอเตอร์จะส่งผลกระทบโดยการเกิดแรงดันไฟฟ้าเกินชั่วขณะขึ้นที่ขับของมอเตอร์ อาจเป็นผลให้คลาดของมอเตอร์ได้รับความเสียหายได้

วิทยานิพนธ์นี้จึงนำเสนอการวิเคราะห์และป้องกันการเกิดปัญหาแรงดันไฟฟ้าเกินชั่วขณะที่ขับของมอเตอร์เหนี่ยวนำโดยการจำลองการเกิดปัญหาด้วย MATLAB และเปรียบเทียบกับอุปกรณ์จริงโดยใช้มอเตอร์เหนี่ยวนำขนาด 3 เฟส 220 โวลต์ 400 วัตต์ และอินเวอร์เตอร์อุตสาหกรรมขนาดเดียวกันมีความยาว โดยการเปรียบเทียบและจำลองจะถูกแบ่งตามความยาวของสายเคเบิลเป็น 5-10 เมตร และ 15 เมตร ตามลำดับ จากนั้นได้ทำการออกแบบวงจรพาสซีฟฟิลเตอร์เพื่อลดทอนปัญหาแรงดันเกินที่เกิดขึ้น

จากการจำลองปัญหาพบว่าแรงดันไฟฟ้าที่ขับของมอเตอร์มีแรงดันไฟฟ้าชั่วขณะเกิดขึ้นตามความยาวของสายเคเบิลที่เพิ่มขึ้น โดยในระยะ 15 เมตร จะเกิดแรงดันไฟฟ้าชั่วขณะประมาณ 570 โวลต์ 10 เมตร และ 5 เมตร ประมาณ 410 โวลต์ และ 380 โวลต์ ตามลำดับจากผลดังกล่าวได้นำมาทำการออกแบบวงจรพาสซีฟฟิลเตอร์เพื่อช่วยลดทอนแรงดันไฟฟ้าเกินชั่วขณะซึ่ง ได้ค่าอินดักเตอร์เท่ากับ 0.056 มิลลิเอนรี่ และค่าป่าเซตอร์เท่ากับ 4.7 นาโนฟารัค โดยแรงดันไฟฟ้าหลังจากติดตั้งอุปกรณ์ฟิลเตอร์มีค่าแรงดันไฟฟ้าเกินชั่วขณะลดลงโดยแรงดันเกินชั่วขณะเมื่อสายเคเบิลยาว 15 เมตร เหลือประมาณ 385 โวลต์ ที่ความยาวสายเคเบิล 10 เมตร และ 5 เมตร จะมีค่าประมาณ 350 โวลต์ และ 330 โวลต์ ตามลำดับ

**คำสำคัญ:** มอเตอร์เหนี่ยวนำ แรงดันไฟฟ้าเกินชั่วขณะ พาสซีฟฟิลเตอร์

<b>Thesis Title</b>	Analysis and Protection of Overvoltage in PWM Inverter Fed Induction Motors
<b>Name - Surname</b>	Mr. Udomsak Yoosanong
<b>Program</b>	Electrical Engineering
<b>Thesis Advisor</b>	Assistant Professor Krischonme Bhumkittipich, Ph.D.
<b>Academic Year</b>	2012

## ABSTRACT

The industrial operation processes are necessary to use the inverter to control speed of the induction motor and it has been widely used in many applications. If the inverter is installed at long distance from induction motor, the system generated the over voltage which directly effect to motor. The transient voltage that appears at the terminal of motor. It can cause of damage to the motor winding.

This thesis proposes an analysis and protection of overvoltage problem at the terminal of the induction motor. This study is modeled the PWM inverter and induction motor using MATLAB environment to ensure the inverter behavior and compared the simulation results using 3 phase 220 V 400 W industrial inverter. To show the effect of overvoltage, the power cable is divided into 3 groups of length: 5, 10 and 15 meters, respectively. Finally, the protection method is proposed using passive filter to reduce the overvoltage.

The experimental results show that terminal motor voltage are increased when the cable length increased. The cable length at 15, 10 and 5 meters are generated the surge voltage about 570 V, 410 V and 380 V respectively. The passive filter is designed including as inductor 0.056 mH and capacitor 4.7 nF. The over voltages are measured to 385 V, 350 V and 330 V in 3 cable length.

**Keywords:** induction motor, overvoltage surge, passive filter

กิตติกรรมประกาศ

วิทยานิพนธ์ฉบับนี้สำเร็จได้ด้วยความเมตตากรุณาอย่างสูงจาก ผู้ช่วยศาสตราจารย์ ดร.กฤษณ์ชนม์ ภูมิกิตติพิชญ์ ที่ปรึกษาวิทยานิพนธ์ ผู้ช่วยศาสตราจารย์ ดร.วันชัย ทรัพย์สิงห์ ประธานการสอบวิทยานิพนธ์ ดร.สุรินทร์ แห่งมงาน กรรมการการสอบวิทยานิพนธ์ และอาจารย์ ดร.ณัฐพงศ์ พันธุ์นุช ผู้ทรงคุณวุฒิ ที่กรุณาให้คำแนะนำและให้คำปรึกษาตลอดจนให้ความช่วยเหลือ แก่ไขข้อบกพร่องต่างๆ เพื่อให้วิทยานิพนธ์ฉบับนี้มีความสมบูรณ์ ซึ่งผู้วิจัยขอกราบขอบพระคุณเป็นอย่างสูงไว้ ณ โอกาสนี้

ขอขอบคุณศูนย์วิจัยระบบไฟฟ้ากำลังและพลังงานภาควิชาไฟฟ้า คณะวิศวกรรมศาสตร์ มหาวิทยาลัยเทคโนโลยีราชมงคลธัญบุรีที่ได้ให้สถานที่ในการวิจัยและทำการทดลอง รวมทั้ง ขอบคุณเพื่อนนักศึกษาและสมาชิกศูนย์วิจัยทุกท่านที่อยู่แลกเปลี่ยนความรู้ช่วยเหลือเกื้อกูลกันมา ตลอด โดยเฉพาะอย่างยิ่งคุณ อmurเทพ แพพยานันท์ ที่อยู่เดือนให้ข้อคิดทางด้านการศึกษาและการปฏิบัติ真正ให้เดินสู่เป้าหมายจนสำเร็จ และคุณ อุไรวรรณ แพพยานันท์ ที่ช่วยให้คำปรึกษาทางด้านเอกสารและให้กำลังใจในการทำงาน

ขอขอบคุณบริษัท ไฮทรอน-ตรีศักดิ์ จำกัด ที่ให้ความช่วยเหลือในการยื่นอุปกรณ์ในการทำงานวิจัยและวิทยานิพนธ์ รวมทั้งขอขอบคุณทีมช่างโดยมีคุณ รุ่งเพชร บัวจะมะ และคุณ ธรรมน์ คำมห้าชัย ที่เคยช่วยเหลือและแนะนำการใช้งานอุปกรณ์ในการทำวิทยานิพนธ์

ขอขอบพระคุณคณาจารย์ทุกท่านที่ได้ประสิทธิประสาทวิชา บ่มเพาะจนผู้วิจัยสามารถนำเอาหลักการมาประยุกต์ใช้และอ้างอิงในงานวิจัยครั้งนี้ สุดท้ายขอขอบพระคุณของบิดา มารดา น้องชาย และญาติสนิททุกท่านที่เคยเป็นกำลังใจให้ตลอดมาเป็นแรงผลักดันในการฝ่าฟันอุปสรรคต่างๆ ให้ผ่านมาได้ด้วยดี

គុណភាពទិន្នន័យបានក្លាយជាប្រព័ន្ធដែលមានសំណង់ចំណេះដឹងថាអ្នកអាជីវកម្មនឹងត្រូវបានរៀបចំឡើងដើម្បីបានក្លាយជាប្រព័ន្ធឌីជីថាមពេល។ ក្នុងការរៀបចំឡើងនេះ ត្រូវបានគេប្រើប្រាស់ការស្វែងរកព័ត៌មាន និងការបង្កើតរូបរាង ដើម្បីបានក្លាយជាប្រព័ន្ធឌីជី។

อุดมศักดิ์ อปย์สันอง

# สารบัญ

	หน้า
บทคัดย่อภาษาไทย.....	ค
บทคัดย่อภาษาอังกฤษ.....	ง
กิตติกรรมประกาศ .....	จ
สารบัญ.....	ฉ
สารบัญตาราง.....	ช
สารบัญภาพ.....	ฉ
คำอธิบายสัญลักษณ์และคำย่อ.....	ฉ
บทที่	
1 บทนำ .....	1
1.1 ความเป็นมาและความสำคัญของปัญหา .....	1
1.2 ความมุ่งหมายและวัตถุประสงค์ของการวิจัย .....	2
1.3 สมมติฐานของการวิจัย.....	2
1.4 ขอบเขตของการวิจัย .....	2
1.5 ขั้นตอนการวิจัย.....	2
1.6 ข้อจำกัดของการวิจัย .....	3
1.7 ประโยชน์ที่คาดว่าจะได้รับ .....	3
1.8 ลักษณะรายละเอียดของวิทยานิพนธ์ .....	3
2 เอกสารและงานวิจัยที่เกี่ยวข้อง .....	5
2.1 บทนำ.....	5
2.2 งานวิจัยที่เกี่ยวข้อง .....	6
2.3 มอเตอร์เหนี่ยวนำ 3 เฟส (Three Phase Induction Motor) .....	8
2.4 อินเวอร์เตอร์ 3 เฟส.....	15
2.5 การประมาณค่าพารามิเตอร์ของสายไฟฟ้า.....	25
2.6 สรุปผลทฤษฎีและงานวิจัยที่เกี่ยวข้อง.....	28
3 ขั้นตอนและวิธีการดำเนินงานวิจัย.....	29
3.1 ขั้นตอนการดำเนินงานวิจัย .....	29
3.2 แบบจำลองมอเตอร์เหนี่ยวนำความถี่สูงด้วยวงจรสมมูล.....	32

## สารบัญ (ต่อ)

บทที่	หน้า
3.3 การออกแบบวงจรของพาราเซ็ฟชันนิค LC .....	34
3.4 การทดลองทางโปรแกรม .....	36
3.5 การจำลองผลทางฮาร์ดแวร์ .....	37
3.6 สรุปขั้นตอนการดำเนินงาน .....	40
4 การจำลองระบบและผลการวิเคราะห์ข้อมูล .....	41
4.1 โครงสร้างระบบ .....	41
4.2 ผลการจำลองแรงดันที่อินเวอร์เตอร์ .....	42
4.3 ผลการจำลองแรงดันไฟฟ้าที่ข้อมูลอเตรอร์ก่อนติดตั้งวงจรฟีลเตอร์ .....	44
4.4 ผลการจำลองแรงดันไฟฟ้าที่ข้อมูลอเตรอร์หลังติดตั้งวงจรฟีลเตอร์ .....	48
4.5 สรุปผลการจำลอง .....	51
5 สรุปผลการวิจัย การอภิปรายผล และข้อเสนอแนะ .....	52
5.1 สรุปผลการวิจัย .....	52
5.2 ข้อเสนอแนะ .....	53
รายการอ้างอิง.....	55
ภาคผนวก.....	57
ภาคผนวก ก ข้อมูลอุปกรณ์การทดลอง .....	58
ภาคผนวก ข ผลงานตีพิมพ์เผยแพร่ .....	94
ประวัติผู้เขียน .....	115

## สารบัญตาราง

ตารางที่	หน้า
2.1 อัตราส่วนระหว่างค่า RMS ของhaar์มอนิกกับ $V_s$ ของแรงดันสาขของอินเวอร์เตอร์ 3 ไฟส .....	18



## สารบัญภาพ

ภาพที่	หน้า
2.1 การต่อความต้านทานจากภายนอกเข้ากับโรเตอเร่แบบพันขาดลวด .....	11
2.2 การจ่ายแรงดันไฟฟ้า 3 เฟส ให้กับมอเตอร์เหนี่ยวนำ 3 เฟส.....	12
2.3 คลื่นไซน์ของสนามแม่เหล็กที่เกิดขึ้นโดยกระแสไฟฟ้า 3 เฟส .....	12
2.4 การเกิดสนามแม่เหล็กหมุนของมอเตอร์ 3 เฟส 2 ขั้ว.....	13
2.5 วงจรและรูปคลื่นสัญญาณของอินเวอร์เตอร์ 3 เฟสแบบ PWM .....	17
2.6 รูปคลื่นของแรงดันและกระแสของอินเวอร์เตอร์ 3 เฟสแสดงช่วงกำลังงานไม่ไฟลสู่ โหลด .....	19
2.7 การใช้เทคนิค PWM กับวงจรตอนระดับ.....	21
2.8 โครงสร้างของวงจรกรองแบบพาสซีฟที่มีความถี่ตัดขั้นต่ำกว่าความถี่การสวิตช์ .....	22
2.9 อินดักแทนซ์ของเคเบิล 3 แกนที่วางตัวเป็นรูปสามเหลี่ยมด้านเท่า .....	25
2.10 แรงดันไฟฟ้าและคาปซิแтенซ์ของเคเบิล 3 แกนที่วางตัวเป็นรูปสามเหลี่ยมด้านเท่า ....	26
3.1 แบบจำลองสายเคเบิลที่ความถี่สูงด้วยวงจรสมมูลรวมกลุ่ม .....	29
3.2 แบบจำลองสายเคเบิลที่ความถี่สูงด้วยวงจรเทวินิน.....	30
3.3 แบบจำลองสายเคเบิลที่ความถี่สูงที่ใช้ในการจำลอง.....	31
3.4 การวัดหาค่าอิมพีเดนซ์ของมอเตอร์เหนี่ยวนำที่ยึดกับนิวทรัล .....	32
3.5 การวัดหาค่าอิมพีเดนซ์ของมอเตอร์เหนี่ยวนำที่ยึดกับกราวด์ .....	33
3.6 แบบจำลองของมอเตอร์เหนี่ยวนำความถี่สูงที่ใช้ในการจำลอง.....	33
3.7 วงจรสมมูลของวงจรกรองที่ใช้ในการออกแบบ .....	34
3.8 แผนภูมิการออกแบบวงจรกรองพาลซิบแบบ LC.....	35
3.9 วงจรการจำลองด้วยวงจรสมมูลความถี่สูง .....	36
3.10 แบบจำลองเมื่อใช้เป็นระบบสามเฟส .....	37
3.11 อุปกรณ์การจำลองผลทางสารคดี .....	38
3.12 การวัดค่าอิมพีเดนซ์ของมอเตอร์.....	38
3.13 การใช้อินเวอร์เตอร์ควบคุมมอเตอร์เหนี่ยวนำ .....	39
3.14 วงจรพาสซีฟฟิลเตอร์ .....	39
3.15 การใช้อินเวอร์เตอร์ควบคุมมอเตอร์ในการจำลองและวัดผล .....	40
4.1 แบบจำลองของระบบขับเคลื่อนมอเตอร์เหนี่ยวนำที่มีสายเคเบิลยาว.....	41

## สารบัญภาพ (ต่อ)

ภาพที่	หน้า
4.2 แรงดันไฟฟ้าที่ DC Link ของอินเวอร์เตอร์ในแบบจำลอง .....	42
4.3 แรงดันไฟฟ้าด้านออกของอินเวอร์เตอร์จากโปรแกรม ..... .....	43
4.4 แรงดันไฟฟ้าด้านออกของอินเวอร์เตอร์จากชาร์ดแวร์ .....	43
4.5 แรงดันที่ข้าวของมอเตอร์ที่มีระยะสายเคเบิล 5 เมตรจากโปรแกรม MATLAB .....	44
4.6 แรงดันที่ข้าวของมอเตอร์ที่มีระยะสายเคเบิล 5 เมตรจากชาร์ดแวร์ .....	45
4.7 แรงดันที่ข้าวของมอเตอร์ที่มีระยะสายเคเบิล 10 เมตรจากโปรแกรม MATLAB .....	46
4.8 แรงดันที่ข้าวของมอเตอร์ที่มีระยะสายเคเบิล 10 เมตรจากชาร์ดแวร์..... .....	46
4.9 แรงดันที่ข้าวของมอเตอร์ที่มีระยะสายเคเบิล 15 เมตรจากโปรแกรม MATLAB .....	47
4.10 แรงดันที่ข้าวของมอเตอร์ที่มีระยะสายเคเบิล 15 เมตรจากชาร์ดแวร์..... .....	47
4.11 แรงดันที่ข้าวของมอเตอร์ที่มีระยะสายเคเบิล 5 เมตรจากโปรแกรม MATLAB .....	48
4.12 แรงดันที่ข้าวของมอเตอร์ที่มีระยะสายเคเบิล 5 เมตรจากชาร์ดแวร์..... .....	49
4.13 แรงดันที่ข้าวของมอเตอร์ที่มีระยะสายเคเบิล 10 เมตรจากโปรแกรม MATLAB .....	49
4.14 แรงดันที่ข้าวของมอเตอร์ที่มีระยะสายเคเบิล 10 เมตรจากชาร์ดแวร์..... .....	50
4.15 แรงดันที่ข้าวของมอเตอร์ที่มีระยะสายเคเบิล 15 เมตรจากโปรแกรม MATLAB .....	50
4.16 แรงดันที่ข้าวของมอเตอร์ที่มีระยะสายเคเบิล 15 เมตรจากชาร์ดแวร์..... .....	51

## คำอธิบายสัญลักษณ์และคำย่อ

สัญลักษณ์	ความหมาย
IGBT	การพัฒนาอุปกรณ์อิเล็กทรอนิกส์กำลังจ้ำพากเพาเวอร์ทرانซิสเตอร์
VSD	ระบบควบคุมความเร็วรอบมอเตอร์เหนี่ยวนำ
PWM	เทคนิคการควบคุมด้วยการขับแบบพีดับบลิวเอ็ม
$N_s$	ความเร็วซิง โครนัส
$f$	ความถี่หลักมูลของไฟฟ้ากระแสสลับ
$P$	จำนวนขั้วแม่เหล็กของมอเตอร์
$S N$	ความเร็วซิง โครนัส
$N$	ความเร็วรอบของโรเตอร์ขณะใช้งาน
$G$	สายควบของแหล่งแรงดันไฟตรง
$V_o$	ค่าเอลี่ยจิงซึ่งเป็นค่าคงตัว
$m_a$	amplitude modulation
$\omega_a$	frequency modulation
$m_f$	อัตราการมอดดูเลตความถี่
$f$	ความถี่การสวิตช์
$f_a$	ความถี่การมอดดูเลต
$Z_o = \sqrt{(Z_{oc} Z_{sc})}$	ค่าออมพิแคนซ์ของสายเคเบิล
$Z_{oc}$	ค่าออมพิแคนซ์เปิดดวงจรของสายเคเบิล
$Z_{sc}$	ค่าออมพิแคนซ์ลัดวงจรของสายเคเบิล
$R_s, L_s$	ค่ารีซิสแตนซ์และอินดักแตนซ์ขณะลัดวงจรของสายเคเบิล
$R_{p1}, R_{p2}$	ค่ารีซิสแตนซ์ขณะเปิดดวงจรของสายเคเบิล
$C_{p1}, C_{p2}$	ค่าคาปิซิสแตนซ์ขณะเปิดดวงจรของสายเคเบิล
$C_g$	ค่าปาซิแตนซ์ของมอเตอร์เทียบกับกราวด์
$R_e$	ความต้านทานกระแสอีคดีในขดลวดสนามแม่เหล็กและเฟรม
$L_d$	ค่าอินดักแตนซ์รั่วไหล

## บทที่ 1

### บทนำ

#### 1.1 ความเป็นมาและความสำคัญของปั๊มห่า

ปัจจุบันการใช้ระบบขับเคลื่อนมอเตอร์เห็นได้ว่าอยู่ในยุคที่เทคโนโลยีด้านควบคุมและ\_drives\_ กำลังมีการใช้งานมากขึ้นอย่างแพร่หลายในภาคอุตสาหกรรม ด้วยเหตุผลที่ง่ายต่อการควบคุม มอเตอร์เห็นได้ว่าเพื่อสร้างประสิทธิภาพให้เครื่องจักร ได้อย่างเหมาะสมและเพื่อประหยัด พลังงานไฟฟ้าของเครื่องจักร เกือบ 30 ปี ใน การพัฒนาอุปกรณ์อิเล็กทรอนิกส์ กำลังจำพวก เพาเวอร์ทรานซิสเตอร์ หรือ Insulated Gate Bipolar Transistors (IGBT) [1] ให้มีความสามารถในการทำงานในย่านความถี่ สวิทช์ชิ้ง และแรงดันกับกระแสไฟฟ้าที่สูงได้ จึงได้มีการนำเอาความสามารถของ IGBT มาพัฒนาระบบควบคุมความเร็ว robust ของมอเตอร์เห็นได้ว่า (Variable Speed Drives, VSD) ด้วยเทคนิคการควบคุมที่ใช้กันอย่างแพร่หลายในปัจจุบัน แบบพีดับบลิวเอ็ม (Pulse-Width Modulation, PWM) [1]

จากคุณสมบัติของ IGBT ที่มีย่านของความถี่สวิทช์ชิ่งสูงสุดถึง 20 กิโลเฮิรตซ์ จึงทำให้เกิดการควบคุมมอเตอร์ที่มีประสิทธิภาพทางด้านการทำงานสูงขึ้น แต่อย่างไร ก็ตามย่อมมีผลกระทบด้านข้อเสียตามมาด้วย เช่น ผลกระทบสัญญาณรบกวนที่เกิดจาก ความถี่สวิทช์ชิ่ง (Noise) ผลกระทบแรงดันกับกระแสหาร์มอนิกส์ ที่จะส่งผลต่อระบบไฟฟ้า และสร้างปั๊มห่ากับอุปกรณ์ที่มีความไวต่อการผิดเพี้ยนของสัญญาณควบคุมอุปกรณ์ต่างๆ และปั๊มห่าทางด้านการสร้างความเสียหายให้กับมอเตอร์เห็นได้ว่า ที่เกิดจากการขับด้วย อินเวอร์เตอร์แบบพีดับบลิวเอ็ม ทำให้เกิดแรงดันไฟฟ้าเกินที่ข้าวของมอเตอร์ แปรผันตามความถี่สวิทช์ชิ่ง และความขาวของสายตัวนำ ซึ่งปั๊มห่าดังกล่าวถูกพบมากในภาคอุตสาหกรรมที่มีห้องควบคุม (Control Room) ที่มีระบบขับเคลื่อนมอเตอร์เห็นได้ว่า แบบพีดับบลิวเอ็มความคุณเครื่องจักรที่มีมอเตอร์เห็นได้ว่า จำกัด จากปั๊มห่า ที่เกิดขึ้นจากความขาวของสายตัวนำนี้ จึงเป็นมูลเหตุให้เกิดการวิจัยเรื่อง การวิเคราะห์ และป้องกันแรงดันเกินในมอเตอร์เห็นได้ว่า ที่ขับเคลื่อนด้วยอินเวอร์เตอร์แบบพีดับบลิวเอ็ม

ซึ่งในวิทยานิพนธ์ฉบับนี้ จะทำการศึกษาและวิเคราะห์ปั๊มห่าการเกิดแรงดันเกิน ในมอเตอร์เห็นได้ว่า ที่ขับด้วยอินเวอร์เตอร์แบบพีดับบลิวเอ็ม ที่มีความขาวของสายตัวนำที่ไกล เพื่อนำผลจากการวิเคราะห์ห้องค์ประกอบ ที่ทำให้เกิดปั๊มห่าดังกล่าวมาออกแบบการป้องกัน เพื่อลดTHONแรงดันเกิน ในข้าวของมอเตอร์ ที่จะมีผลให้จำนวนของมอเตอร์เกิดการเสียหาย ด้วยโปรแกรมทางคอมพิวเตอร์

## 1.2 ความมุ่งหมายและวัตถุประสงค์ของการวิจัย

1.2.1 เพื่อศึกษาการเกิดปัญหาและผลกระทบจากการเกิดแรงดันเกินของมอเตอร์ เหนี่ยวน้ำที่ขับเคลื่อนด้วยอินเวอร์เตอร์แบบพีดับบลิวเอ็ม

1.2.2 เพื่อศึกษาและจำลองพฤติกรรมของการเกิดแรงดันเกินของมอเตอร์ เหนี่ยวน้ำที่ขับเคลื่อนด้วยอินเวอร์เตอร์แบบพีดับบลิวเอ็ม

1.2.3 เพื่อวิเคราะห์และออกแบบวิธีการป้องกันของการเกิดแรงดันเกินของ มอเตอร์ เหนี่ยวน้ำที่ขับเคลื่อนด้วยอินเวอร์เตอร์แบบพีดับบลิวเอ็ม

## 1.3 สมมุตฐานของการวิจัย

การเกิดแรงดันไฟฟ้าเกินชั่วขณะที่ข้าของมอเตอร์เหนี่ยวน้ำมีสาเหตุจากสายเคเบิลที่มีระยะสายที่ยาว เนื่องจากค่าออมพีแคนซ์ในสายได้ทำการคอมมอนโหนดกับตัวอินเวอร์เตอร์ทำให้เกิดการแกว่งของแรงดันขึ้นที่ข้าของมอเตอร์เป็นผลให้คลอดของมอเตอร์เสียหายได้

## 1.4 ขอบเขตของการวิจัย

1.4.1 ศึกษาปัญหาและผลกระทบของการเกิดแรงดันเกินในมอเตอร์ เหนี่ยวน้ำที่ ขับเคลื่อนด้วย อินเวอร์เตอร์แบบพีดับบลิวเอ็ม

1.4.2 ออกแบบแบบจำลองผลกระทบที่เกิดจากแรงดันเกินในมอเตอร์ เหนี่ยวน้ำที่ ขับเคลื่อนด้วย อินเวอร์เตอร์แบบพีดับบลิวเอ็ม ในโปรแกรมคอมพิวเตอร์

1.4.3 ออกแบบระบบป้องกันแรงดันเกินในมอเตอร์ เหนี่ยวน้ำที่ขับเคลื่อนด้วยอินเวอร์เตอร์ขนาด 3 เพส 200 โวลต์ 400 วัตต์แบบพีดับบลิวเอ็ม ในโปรแกรมคอมพิวเตอร์

## 1.5 ขั้นตอนการวิจัย

วิทยานิพนธ์ฉบับนี้เป็นการศึกษาและวิเคราะห์การเกิดแรงดันเกินในมอเตอร์ เหนี่ยวน้ำ ที่ ขับเคลื่อนด้วยอินเวอร์เตอร์แบบพีดับบลิวเอ็ม อันเนื่องมาจากสายตัวนำระหว่างอินเวอร์เตอร์ และ มอเตอร์ มีระยะทางที่ห่างกันแล้วนำมาสร้างแบบจำลองเพื่อวิเคราะห์แล้วออกแบบระบบ ป้องกันด้วย โปรแกรมทางคอมพิวเตอร์ โดยมีขั้นตอนการศึกษาดังนี้

1.5.1 ศึกษาระบบขับเคลื่อนมอเตอร์ เหนี่ยวน้ำด้วยอินเวอร์เตอร์แบบพีดับบลิวเอ็ม

1.5.2 ศึกษาผลของการวิเคราะห์ตัวนำที่มีผลกระทบเป็นองค์ประกอบของการเกิดแรงดันเกิน ของมอเตอร์ เหนี่ยวน้ำที่ ขับเคลื่อนด้วยอินเวอร์เตอร์แบบพีดับบลิวเอ็ม

1.5.3 ศึกษาองค์ประกอบของมอเตอร์เห็นี่ยวน้ำที่ก่อให้เกิดแรงดันเกินจากผลของการตัวนำที่ยาวยและถูกขับเคลื่อนด้วยอินเวอร์เตอร์แบบพีดับบลิวเอ็ม

1.5.4 วิเคราะห์และสร้างแบบจำลองการเกิดแรงดันเกินของมอเตอร์เห็นี่ยวน้ำที่ขับเคลื่อนด้วยอินเวอร์เตอร์แบบพีดับบลิวเอ็มบนโปรแกรมคอมพิวเตอร์

1.5.5 วิเคราะห์ออกแบบระบบป้องกัน การเกิดแรงดันเกินของมอเตอร์เห็นี่ยวน้ำที่ขับเคลื่อนด้วยอินเวอร์เตอร์แบบพีดับบลิวเอ็มบนโปรแกรมคอมพิวเตอร์

1.5.7 สรุปและอภิปรายผลการวิจัย

## 1.6 ข้อจำกัดของการวิจัย

วิทยานิพนธ์ฉบับนี้มุ่งเน้นการวิเคราะห์และออกแบบระบบป้องกันแรงดันไฟฟ้า เกินของมอเตอร์เห็นี่ยวน้ำไฟฟ้าแบบ 3 เฟส ที่มีผลมาจากการขับเคลื่อนมอเตอร์ด้วยอินเวอร์เตอร์ แบบ PWM ที่มีระยะของสายตัวนำที่ยาว

## 1.7 ประโยชน์ที่คาดว่าจะได้รับ

1.7.1 เข้าใจถึงปัญหาในการเกิดแรงดันเกินของมอเตอร์เห็นี่ยวน้ำที่มีสายตัวนำ จากอินเวอร์เตอร์แบบพีดับบลิวเอ็มที่ยาว

1.7.2 เข้าใจถึงหลักการวิเคราะห์และการแก้ปัญหาด้วยโปรแกรมคอมพิวเตอร์ เพื่อจำลองปัญหาและวิธีการป้องกัน

1.7.3 เข้าใจถึงหลักการวิเคราะห์เทคนิคในการป้องกันแรงดันเกินของมอเตอร์เห็นี่ยวน้ำ ที่มีสายตัวนำจากอินเวอร์เตอร์แบบพีดับบลิวเอ็มที่ยาว

1.7.4 เป็นแนวทางในการวิเคราะห์และพัฒนาเทคนิคในการป้องกันแรงดันเกินของมอเตอร์เห็นี่ยวน้ำที่มีสายตัวนำจากอินเวอร์เตอร์แบบพีดับบลิวเอ็มที่ยาว

## 1.8 ลักษณะรายละเอียดของวิทยานิพนธ์

การนำเสนอวิทยานิพนธ์ฉบับนี้ มีองค์ประกอบที่สำคัญ 5 บท คือ บทที่ 1 จะกล่าวถึง ความเป็นมา ความสำคัญของปัญหา และแนวทางในการแก้ปัญหา โดยมุ่งเน้นไปที่การศึกษาปัญหาและแนวทางแก้ไขของแรงดันเกินที่ขึ้นของมอเตอร์เห็นี่ยวน้ำ ซึ่งมาจากอิมพีเดนซ์ของสายไฟฟ้า ต่อมากจะกล่าวถึงความมุ่งหมายและวัตถุประสงค์ สมมุติฐาน ขอบเขต ขั้นตอนในการดำเนินงาน ข้อจำกัด ประโยชน์ที่คาดว่าจะได้รับตามลำดับ บทที่ 2 ศึกษาระบบหรืองานวิจัยที่เกี่ยวข้องระบบนำทาง

กำลังไฟฟ้า ระบบผลิตไฟฟ้าจากเซลล์แสงอาทิตย์ขนาดใหญ่ มอเตอร์เหนี่ยวนำ 3 เฟส (Three Phase Induction Motor) อินเวอร์เตอร์ 3 เฟส และการประมาณค่าพารามิเตอร์ ของสายไฟฟ้า เพื่อเป็นแนวทางนำมาใช้ในวิทยานิพนธ์ บทที่ 3 วิธีดำเนินวิทยานิพนธ์ประกอบ ไปด้วยการห่วงจร สมมูลความถี่สูงของสายเคเบิลและวงจรสมมูลความถี่สูงของมอเตอร์ เพื่อนำไปใช้ในการออกแบบ วงจรพาสซีฟฟิลเตอร์ โดยจะนำไปใช้ในการสร้างแบบจำลอง เพื่อทดสอบปัญหาและการแก้ปัญหาที่ สนใจศึกษาในวิทยานิพนธ์ฉบับนี้ บทที่ 4 แสดงถึง ผลการวิเคราะห์ข้อมูลของแบบจำลองในบทที่ 3 และบทที่ 5 จะเป็นการสรุปผลเชิงอภิปราย รวมถึงข้อเสนอแนะ และแนวทางในการทำวิทยานิพนธ์นี้ ต่อไป



## บทที่ 2

### เอกสารและงานวิจัยที่เกี่ยวข้อง

#### 2.1 บทนำ

จากการศึกษาทฤษฎีและวรรณกรรมเกี่ยวกับข้อจำกัดของปั๊มห้ามพัฒนาอุปกรณ์อิเล็กทรอนิกส์ กำลังจำพวกเพาเวอร์ทรานซิสเตอร์ หรือ Insulated Gate Bipolar Transistors (IGBT) ให้มี ความสามารถในการทำงานในย่านความถี่สวิตชิ่งและแรงดันกับกระแสไฟฟ้าที่สูงได้ จึงได้มี การนำเสนอความสามารถของ IGBT มาพัฒนาระบบควบคุมความเร็วของมอเตอร์เหนี่ยวนำ (Variable Speed Drives, VSD) ด้วยเทคนิคการควบคุมที่ใช้กันอย่างแพร่หลายในปัจจุบันแบบพืดับบลิวเอ็ม (Pulse-Width Modulation, PWM) ซึ่งจากคุณสมบัติของ IGBT ที่มีย่านของความถี่ สวิตชิ่งสูงสุดถึง 20 กิโลเฮิรตซ์ จึงทำให้เกิดการควบคุมมอเตอร์ที่มีประสิทธิภาพทางด้านการทำงานสูงขึ้น แต่อย่างไร ก็ตามย่อมมีผลกระทบด้านข้อเสียตามมาด้วยเช่น ผลของสัญญาณ รบกวนที่เกิดจากความถี่สวิตชิ่ง (Noise) ผลของแรงดันกับกระแสหาร์มอนิกส์ ที่จะส่งผลต่อ ระบบไฟฟ้า และสร้างปั๊มห้ามอุปกรณ์ ที่มีความไวต่อการผิดเพี้ยนของสัญญาณควบคุม อุปกรณ์ต่างๆ และปั๊มห้ามทางด้านการสร้างความเสียหายให้กับมอเตอร์เหนี่ยวนำ ที่เกิดจากการขับด้วยอินเวอร์เตอร์แบบพืดับบลิวเอ็ม ทำให้เกิด แรงดันไฟฟ้าเกินที่ข้อของมอเตอร์แบบผันตาม ความถี่สวิตชิ่งและความยาวของสายตัวนำ ซึ่งปั๊มห้าม ดังกล่าวถูกพบมากในภาคอุตสาหกรรม ที่มีห้องควบคุม (Control Room) ที่มีระบบขับเคลื่อนมอเตอร์ เหนี่ยวน้ำแบบพืดับบลิวเอ็ม ควบคุมเครื่องจักรที่มีมอเตอร์เหนี่ยวนำจากระยะไกล จากปั๊มห้ามที่เกิดขึ้น จากความยาวของสายตัวนำนี้ จึงเป็นมูลเหตุให้เกิดการวิจัยเรื่อง การวิเคราะห์และป้องกันแรงดันเกิน ใน มอเตอร์เหนี่ยวนำที่ขับเคลื่อนด้วยอินเวอร์เตอร์แบบพืดับบลิวเอ็ม

ซึ่งในวิทยานิพนธ์นี้จะทำการศึกษาและวิเคราะห์ปั๊มห้ามการเกิดแรงดันเกิน ในมอเตอร์ เหนี่ยวน้ำที่ขับด้วยอินเวอร์เตอร์แบบพืดับบลิวเอ็ม ที่มีความยาวของสายตัวนำที่ไกล เพื่อนำผลจากการวิเคราะห์องค์ประกอบที่ทำให้เกิดปั๊มห้าดังกล่าว มาออกแบบการป้องกัน เพื่อลดthonแรงดันเกิน ในข้อของมอเตอร์ ที่จะมีผลให้จำนวนของมอเตอร์เกิดการเสียหาย โดยใช้วิธีพัสดุฟิลเตอร์ (Passive Filter) ในการวิเคราะห์แบบจำลอง และแก้ปั๊มห้ามกระทำด้วยโปรแกรมทางคอมพิวเตอร์ MATLAB/Simulink

โดยมีองค์ประกอบต่างๆ ที่เกี่ยวข้องกับงานวิจัยในส่วนของทฤษฎีมีลำดับการกล่าวถึงดังต่อไปนี้ การศึกษางานวิจัยที่เกี่ยวของมอเตอร์เหนี่ยวนำ 3 เฟส การขับด้วยอินเวอร์เตอร์ แบบพีดับบลิวเอ็ม สายไฟฟ้า และวิธีพัสซีฟฟิลเตอร์ (Passive Filter) ตามลำดับ

## 2.2 งานวิจัยที่เกี่ยวข้อง

Marir และ K. Al-Haddad [3] ได้นำเสนอเกี่ยวกับการสร้างแบบจำลองโดยการใช้ ลาปัชท์ รานฟอร์ม เข้ามาช่วยวิเคราะห์ใน โดเมนของความถี่ และใน โดเมนของเวลา เพื่อหาแรงดันไฟฟ้าเกินที่ขึ้นของมอเตอร์ โดยถอดพารามิเตอร์ของสายตัวนำและมอเตอร์นำ มาสร้าง วงจรสมมูลในรูปของ RLC ก่อน จึงทำการใช้ ลาปัชท์ รานฟอร์ม เข้ามาช่วย และทำการเปรียบเทียบค่าที่ได้จากการวัดจริง เทคนิคในการวิเคราะห์ปัญหานี้ เพื่อสร้างแบบจำลองพบว่า มีค่าไกล์เคียง กับของจริงที่มีการเก็บข้อมูลไว้ แต่เทคนิคนี้มีความยุ่งยากทางสมการทางคณิตศาสตร์

M. Satio, T. Shimizu และ M. Nakamura [3] ได้นำเสนอวิธีการออกแบบป้องกัน หรือลดแรงดันไฟฟ้าเกินที่ขึ้นของมอเตอร์สายตัวนำที่ข้าวจากอินเวอร์เตอร์ที่ดับบลิวเอ็ม ด้วยวิธีการนำแรงดันไฟฟ้าที่เกินกลับมาจ่ายให้กับภาควงจร DC Link ใหม่ ผลที่ได้จากการทดสอบ ว่าแรงดันไฟฟ้าที่เกินนั้นมีปริมาณลดลง แต่ยังมีส่วนที่เกินอยู่บ้าง แต่ก็กล่าวได้ว่าลดลงได้มาก เมื่อเทียบกับระบบที่ไม่มีระบบป้องกัน

Shimizu, M. Saito และ M. Nakamura [6] ได้นำเสนอวิธีการคิดคำนวณแรงดันไฟฟ้าเกินที่ขึ้นของมอเตอร์ โดยทำการคำนวณและเทียบกันระหว่างสายตัวนำที่มีฉนวนหุ้มป้องกัน แรงดันเกิน (Surge Suppression Cable) กับสายตัวนำที่ไม่มีฉนวนป้องกัน ผลที่ได้สามารถช่วยลดแรงดันที่เกินได้ แต่ยังมีช่วงพิกัดที่สูงอยู่ เมื่อเทียบกับการใส่ฟิลเตอร์ที่ได้จากการวิจัยอื่น

N. Aoki, K. Satoh และ A. Nabae [7] ได้นำเสนอการออกแบบวิธีการป้องกันแรงดันไฟฟ้าเกินที่ขึ้นของมอเตอร์ที่ขับโดยอินเวอร์เตอร์พีดับบลิวเอ็ม โดยใช้วิธีการสร้างวงจร RC Damping และ RL Damping ผลที่ได้สามารถช่วยลดแรงดันเกินได้โดยทั่งวงจร RC Damping สามารถลดผลกระทบได้มากกว่าวงจร RL โดยอาศัยหลักการคุณสมบัติของอุปกรณ์ดังกล่าวในทางปฏิบัติแล้วในภาคอุตสาหกรรมจะเรียกว่างเรหล่านี้ว่า  $dv/dt$  Reactor จะถูกนำมาใช้ เมื่อสายยาวโดยจะมีส่วนประกอบที่วงจร RC

B. Basavaraja และ D.V.S.S.Siva Sarma [8] ได้เสนอการออกแบบอุปกรณ์ป้องกัน แรงดันเกินที่ขึ้นของมอเตอร์ โดยการลดผลกระทบของการเปลี่ยนแปลงแรงดันไฟฟ้าเทียบกับ เวลา 0-400 V ในช่วงเวลาหนึ่งกว่า 0.1  $\mu$ s โดยการออกแบบในลักษณะอุปกรณ์ที่เป็นวงจร RLC ต่อเข้าร่วมลงไป

ในแบบจำลองที่ถูกสร้างขึ้น ผลของการวิจัยที่ได้สามารถแสดงคันไฟฟ้าที่เกินได้โดยการหักล้างกัน เชิงคุณสมบัติของอุปกรณ์

A.V. Jouanne, D.A. Rendusara, P.N. Enjeti และ J.W. Gray [9] ได้เสนอการออกแบบ ฟิลเตอร์ป้องกันแรงดันไฟฟ้าเกินที่ข้อของมอเตอร์ โดยใช้การออกแบบ RLC ฟิลเตอร์ เพื่อลดค่าของ การเปลี่ยนแปลงแรงดันไฟฟ้าเทียบกับเวลา ( $dv/dt$ ) ช่วยลดแรงดันที่เกินเวลาสวิทช์ซึ่งของไอจีบีที่ทำให้ปริมาณแรงดันเกินลดลง ในงานวิจัยนี้ได้แสดงการเปรียบเทียบระหว่างค่าของแบบจำลอง และค่าของจริงที่ได้มีการนำเสนอในการออกแบบในงานวิจัยนี้ ผลที่ได้ออกมานี้มีลักษณะที่ ใกล้เคียงกัน

J.Lui, P.Pillay และ H. Douglas [11] ได้นำเสนอหลักการเทคนิคในการหาสภาวะ แรงดัน เกินที่ข้อของมอเตอร์ที่ขับ โดยอินเวอร์เตอร์พีดับบลิวเอ็ม โดยอาศัย Wavelet Transform เข้ามาช่วยในการวิเคราะห์ โดยการสร้างแบบจำลองของ Wavelet ในรูปของวงจร RLC ที่จำลองพารามิเตอร์ของ สายดำเนินและตัวมอเตอร์เห็นยาน้ำ ผลการจำลองสามารถใช้การจำลอง ดังกล่าวมาวิเคราะห์ใกล้เคียง กับค่าจริง

เพญนภา ไพรอน้อมรชัย [12] ได้เสนอการศึกษาปัญหาที่เกิดจากแรงดันโภมคร่วม ที่ด้าน ออกของอินเวอร์เตอร์ และเสนอวิธีการของชุดใหม่สำหรับแก้ปัญหาดังกล่าวด้วย ในด้านปัญหาของ แรงดันโภมคร่วมนี้ โดยได้เสนอการวิเคราะห์ปรากฏการณ์การอัด ประจุบัสไฟตรง ซึ่งเป็น ปรากฏการณ์ใหม่ที่ยังไม่มีการอธิบายเกี่ยวกับกลไกการเกิดปรากฏการณ์มาก่อน ปรากฏการณ์นี้ สามารถอธิบายได้ด้วยการวิเคราะห์ทางจาระสมมูล โภมคร่วม และโภมคพลต่างที่แม่นยำของ อินเวอร์เตอร์ โดยพิจารณาพฤติกรรมการนำกระแสของ วงจรเรียงกระแสและวงจรอินเวอร์เตอร์ ด้านหลังพร้อมกับ วงจรสมมูลที่วิเคราะห์ได้ นอกจาก จะสามารถใช้อธิบายการเกิดปรากฏการณ์ของ การอัดประจุบัสไฟตรงได้แล้ว ยังแสดงให้เห็นว่า การสวิตช์ของวงจรเรียงกระแสและอินเวอร์เตอร์ ด้านหลัง ทำให้เกิดการเชื่อมร่วมกันระหว่าง สัญญาณโภมคร่วมและ โภมคพลต่างในระบบ และยัง พบว่ากระแสโภมคร่วมและการอัดประจุบัสไฟตรงจะมีพฤติกรรมที่แตกต่างกันตามย่านการทำงาน ของวงจรเรียงกระแส ในด้านการแก้ปัญหา ที่เกิดจากแรงดันโภมคร่วมนี้ วิทยานิพนธ์นี้นำเสนอ วงจรกรองด้านออกแบบไอบริดชนิดใหม่ ที่มีขนาดเล็ก และมีแบบดีวิดท์การลดตอนแรงดันโภม คร่วมที่กว้าง วงจรกรองที่เสนอ มีองค์ประกอบ 3 ส่วน ได้แก่ 1) วงจรกรองแยกทีฟที่เป็นอินเวอร์เตอร์ 4 ระดับ 1 ขา 2) หน้อแปลงเชื่อมต่อ แบบโภมคร่วม และ 3) วงจรกรองพาสซีฟขนาดเล็ก วงกรองกรอง แยกทีฟที่เป็นอินเวอร์เตอร์ 4 ระดับ สามารถสร้างแรงดันชดเชยแรงดันโภมคร่วมได้ดี อีกทั้งยัง สามารถใช้ได้กับ ระบบขับเคลื่อนที่มีพิกัดแรงดันสูง ได้ ซึ่งได้ยังเสนอแนวคิดใหม่ในการกำจัดแรงดัน โภมคร่วม โดยแยกพิจารณาองค์ประกอบของแรงดันโภมคร่วม และเลือกชดเชยเฉพาะองค์ประกอบ

ที่ความถี่สูงกว่าความถี่การสวิตซ์ขึ้นไปที่เป็นสาเหตุของปัญหาต่างๆ ทำให้หม้อแปลงเชื่อมร่วมมีขนาดเล็กลง ถึง 1/10 เท่า เมื่อเทียบกับกรีฟเวอร์ของแรงออกที่ฟ์แบบเดิมที่ขาดเชื่อมคู่ประกอบของแรงดัน โใหมคร่วมทั้งหมด นอกจานี้วงจรของพาราเซ็ฟขนาดเล็กที่เพิ่มขึ้นมาจะช่วยลดทอนแรงดัน โใหมคร่วมในย่านความถี่ที่สูงเกินกว่าแบบเดิมที่ของวงจรออกที่ฟ์ โดยผลการจำลองและผลการทำลงยืนยันความถูกต้องของการวิเคราะห์ทางทฤษฎีเกี่ยวกับปรากฏการณ์การอัดประจุบัสไฟตรง และประสิทธิผลของวงจรกรองด้านออกแบบไฮบริดในการแก้ปัญหาจากแรงดัน โใหมคร่วม

จากการวิจัยที่ได้ศึกษาในข้างต้นนี้ ผู้วิจัยได้เลือกเห็นปัญหาระบบควบคุมความเร็วของมอเตอร์เหนี่ยวนำด้วยเทคนิคการควบคุมที่ใช้ด้วยเทคนิคการควบคุมด้วยการขับแบบพีดับบลิวเอ็ม (Pulse-Width Modulation, PWM) ซึ่งทำให้เกิดแรงดันไฟฟ้าเกินที่ขึ้นของมอเตอร์แบบผันตามความถี่สวิตซ์และความยาวของสายตัวนำ ซึ่งในวิทยานิพนธ์นี้จะทำการศึกษาและวิเคราะห์ปัญหาการเกิดแรงดันเกินในมอเตอร์เหนี่ยวนำที่ขับด้วยอินเวอร์เตอร์แบบพีดับบลิวเอ็ม ที่มีความยาวของสายตัวนำที่ใกล้ เพื่อนำผลจากการวิเคราะห์ของคู่ประกอบที่ทำให้เกิดปัญหาดังกล่าวมาออกแบบการป้องกัน เพื่อลดทอนแรงดันเกินในขึ้นของมอเตอร์ที่จะมีผลให้จำนวนของมอเตอร์เกิดการเสียหาย โดยใช้วิธีฟิล์เตอร์ (Passive Filter) เพื่อนำไปใช้แก้ปัญหาที่เกิดขึ้นในภาคอุตสาหกรรมต่อไป

## 2.3 มอเตอร์เหนี่ยวนำ 3 เฟส (Three Phase Induction Motor)

### 2.3.1 บทนำ

มอเตอร์เหนี่ยวนำเป็นมอเตอร์ที่นิยมใช้มากที่สุด และมีการใช้งานกันอย่างแพร่หลาย ในภาคอุตสาหกรรมด้วยเหตุผลที่ง่ายต่อการควบคุมมอเตอร์เหนี่ยวนำเพื่อสร้างประสิทธิภาพ ให้เครื่องจักรได้อย่างเหมาะสมและเพื่อประหยัดพลังงานไฟฟ้าของเครื่องจักร

วิทยานิพนธ์นี้จะทำการศึกษาและวิเคราะห์ปัญหาการเกิดแรงดันเกิน ในมอเตอร์เหนี่ยวนำที่ขับด้วยอินเวอร์เตอร์แบบพีดับบลิวเอ็ม ที่มีความยาวของสายตัวนำที่ใกล้ ดังนั้นจึงมีความจำเป็นที่จะต้องทำการข้าใจถึงโครงสร้างและหลักการพื้นฐานของมอเตอร์เหนี่ยวนำ 3 เฟส เสียงก่อน ซึ่งโดยมากแล้วจะเป็นมอเตอร์เหนี่ยวนำ 3 เฟส ซึ่งมีข้อดีและข้อด้อย แตกต่างกันดังนี้ คือ [13]

#### ข้อดี (Advantage)

- 1) เป็นมอเตอร์ชนิดที่สร้างขึ้นได้ง่ายและทนทาน โดยเฉพาะชนิดกรุงกระอก (Squirrel-Cage Type)
- 2) ราคาไม่แพงและไม่เสียจ่าย

3) มีประสิทธิภาพที่สูงพอในสภาพที่มอเตอร์หมุนปกติไม่มีแรงถ่วงด้านดังนั้นการสูญเสียเนื่องจากความฟื้ดจึงลดลงหรือมีค่าน้อยมากและมีเพาเวอร์แฟกเตอร์ดี

4) ต้องการการคูณและนำร่องรักษาตัว

5) สามารถที่จะเริ่มหมุน (Start) ได้ง่าย โดยเฉพาะชนิดกรงกระรอก

#### ข้อด้อย (Disadvantage)

1) ความเร็วของของมอเตอร์ไม่สามารถที่จะเปลี่ยนแปลงได้ อันเนื่องมาจากการถูกหลักมูลของแรงดันไฟฟ้าสลับที่จำกัดให้กับมอเตอร์ไม่สามารถปรับเปลี่ยนได้

2) มีคุณสมบัติเหมือนกับมอเตอร์ไฟฟ้ากระแสตรงแบบชั้นต์ ความเร็วของจะลดลงหรือเพิ่มขึ้นจะขึ้นอยู่กับโหลด

3) แรงบิดในขณะเริ่มหมุนของมอเตอร์เหนี่ยวนำค่อนข้างต่ำกว่าแรงบิดขณะเริ่มหมุนของมอเตอร์ไฟฟ้ากระแสตรงแบบชั้นต์

#### 2.3.2 โครงสร้างของมอเตอร์เหนี่ยวนำ 3 เฟส

มอเตอร์เหนี่ยวนำ 3 เฟสประกอบด้วยส่วนประกอบหลัก 2 ส่วนด้วยกันคือ

1) สเตเตอร์หรือส่วนที่อยู่กับที่ (Stator)

2) โรเตอร์หรือส่วนที่หมุน (Rotor)

สเตเตอร์ของมอเตอร์เหนี่ยวนำ 3 เฟสใช้หลักการเดียวกันกับของซิงโครนัสมอเตอร์ หรือเครื่องกำเนิดไฟฟ้ากระแสสลับ โดยทำมาจากแผ่นเหล็กบางๆ อัดซ้อนเข้าด้วยกัน และทำเป็นช่องสล็อตไว้บรรจุขดลวด และจำนวนขั้วแม่เหล็กจะเป็นตัวกำหนดความเร็วของมอเตอร์ เมื่อเราจ่ายไฟฟ้ากระแสสลับให้กับขดลวดที่สเตเตอร์ จะทำให้เกิดสนามแม่เหล็กที่คงที่ค่าหนึ่ง และสนามแม่เหล็กนี้จะหมุน (Revolves or Rotate) ด้วยความเร็วที่เรียกว่าความเร็วซิงโครนัส และหาได้โดย

$$N_s = \frac{120f}{P} \quad (2.1)$$

$N_s$  = ความเร็วซิงโครนัส rpm

$f$  = ความถี่หลักของไฟฟ้ากระแสสลับ Hz

$P$  = จำนวนขั้วแม่เหล็กของมอเตอร์

สนามแม่เหล็กที่หมุนจะเห็นได้ในโรเตอร์ ซึ่งเป็นไปตามกฎของการเหนี่ยวนำ

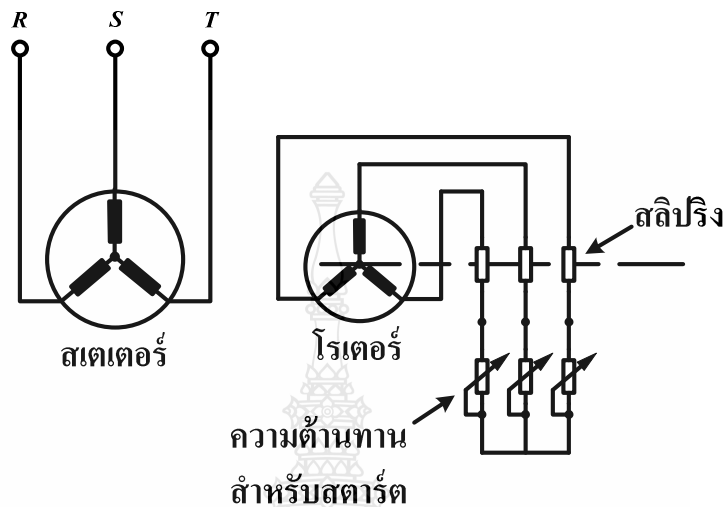
1) โรเตอร์หรือส่วนที่หมุนของมอเตอร์เหนี่ยวนำ 3 เฟส แบ่งออกเป็น 2 ชนิด คือ โรเตอร์แบบกรงกระอก มอเตอร์ที่ใช้โรเตอร์ชนิดนี้เรารู้ว่า มอเตอร์เหนี่ยวนำแบบกรงกระอก โดยประมาณ 90% ของมอเตอร์เหนี่ยวนำจะใช้โรเตอร์เป็นแบบกรงกระอก ทั้งนี้เป็นเพราะว่าโรเตอร์ชนิดนี้เป็นชนิดที่ทำได้ง่ายและทนทานที่สุด โรเตอร์ชนิดนี้ประกอบด้วยแผ่นเหล็กบางๆ อัดซ้อนกันเป็นรูปทรงกระบอกและถูกทำให้เป็นช่องสล็อตให้ขันกันเพื่อสำหรับฝังหรือบrushตัวนำโรเตอร์ (Rotor Conductor) ลงในช่อง สล็อตนั้น ตัวนำที่ฝังนี้จะไม่มีลักษณะเป็นเส้นหรือเป็นสาย แต่จะเป็นแท่งทองแดงหรืออลูมินัม หรืออัลลอย (Copper Bar or Aluminum Bar or Alloy) โดยในหนึ่งสล็อตจะบรรจุแท่งทองแดงหรืออลูมิเนียมเพียง 1 แท่ง เท่านั้น และที่ปลายสุดของแท่งตัวนำทั้งสองด้านนั้นในแต่ละด้านจะถูกต่อปลายลักษณะเข้าด้วยกันโดยการบัดกรี (Brazed) หรือเชื่อมด้วยไฟฟ้าโรเตอร์ของมอเตอร์แบบกรงกระอกนี้แท่งตัวนำจะถูกลัดวงจรเข้าด้วยกัน โดยการบัดกรี (Brazed) หรือเชื่อมด้วยไฟฟ้า โรเตอร์เพื่อช่วยในการเริ่มหมุนได้ สล็อตของโรเตอร์จะไม่อยู่ในลักษณะที่ขันกันเพลา แต่จะวางให้มีลักษณะเฉียงเล็กน้อย เพื่อให้เกิดประกายชนิด 2 ทาง

- จะช่วยให้มอเตอร์หมุนได้อย่างเร็ว โดยการลดการเกิดเสียงแรงแม่เหล็กชั้ม (Magnetic Hum)
- จะช่วยในการลดการเกิดเสียง หรือลักษณะของโรเตอร์อันเนื่องมาจากสนามแม่เหล็กที่ตอกค้างอยู่ที่ฟัน (Teeth) ของสเตเตอร์กับโรเตอร์ทั้งสอง

ส่วนแบบอื่นๆ ของโรเตอร์ที่มีลักษณะคล้ายกันกับโรเตอร์แบบกรงกระอกนั้น ประกอบด้วยโซลิดไซลินเดอร์ (Solid Cylinder) ของแท่งเหล็ก (Steel) ซึ่งปราศจากสล็อตสำหรับบรรจุตัวนำทั้งหมดมอเตอร์จะหมุนได้ขึ้นอยู่กับผลของการเกิดกระแสไฟฟานิ่งในเหล็กของโรเตอร์

2) โรเตอร์แบบพันชุดลวดหรือเฟสavar์โรเตอร์ (Wound Rotor or Phase Wound Rotor) มอเตอร์ที่ใช้โรเตอร์ชนิดนี้เรียกว่า มอเตอร์เหนี่ยวนำแบบโรเตอร์พันชุดลวด หรือเฟสavar์มอเตอร์ หรือสลิปปริงมอเตอร์ (Wound Rotor or Phase Wound Rotor or Slip-Ring Motor) โรเตอร์ชนิดนี้จะพบมากในมอเตอร์เหนี่ยวนำ 3 เฟส และมีการพันแบบชุดชุดลวดสองชั้นเหมือนกับ ชุดลวดที่ใช้ในเครื่องกำเนิดไฟฟ้ากระแสสลับ ในโรเตอร์ชนิดนี้ภายในจะต่อแบบสตาร์ และมีปลายสายอ่อนมา 3 ปลายต่อเข้ากับสลิปปริงที่ติดกับเพลาของโรเตอร์นั้นและโรเตอร์แบบโรเตอร์พันชุดลวดสามารถที่จะนำความต้านทานที่ต่อแบบสตาร์ต่อเข้ากับสลิปปริงของโรเตอร์ เพื่อช่วยในการเริ่มหมุนของมอเตอร์ เป็นการเพิ่มแรงบิดขณะเริ่มหมุนของมอเตอร์นั้น ความต้านทานที่นำมาต่อเข้าไปนี้มีลักษณะการต่อ

ดังแสดงในภาพที่ 2.1 แต่เมื่อมอเตอร์เริ่มหมุนไปแล้ว และหมุนด้วยความเร็วปกติแล้วสปริงจะถูกดึงจกรลายสภาพเป็นโรเตอร์แบบกรงกระอก



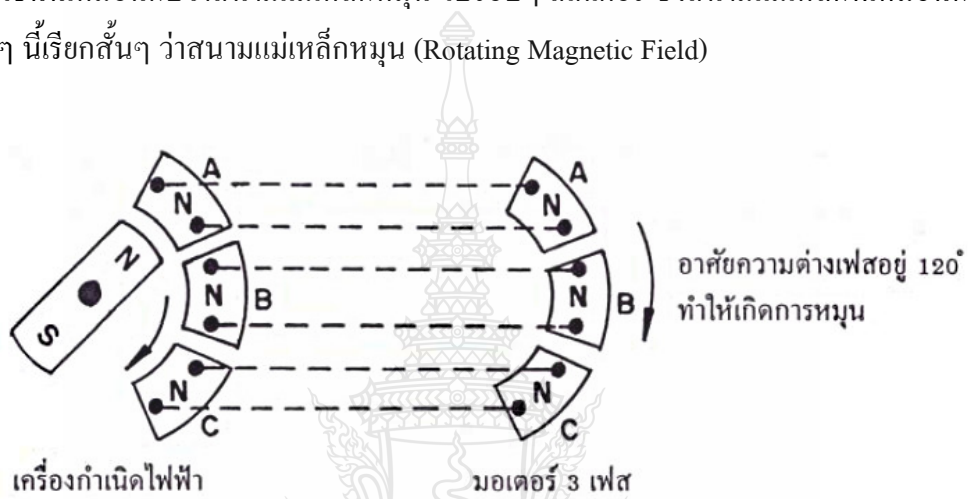
ภาพที่ 2.1 การต่อความต้านทานจากภายนอกเข้ากับโรเตอร์แบบพันขดลวด

### 2.3.3 สนามแม่เหล็กหมุนของมอเตอร์เหนี่ยวนำ 3 เฟส

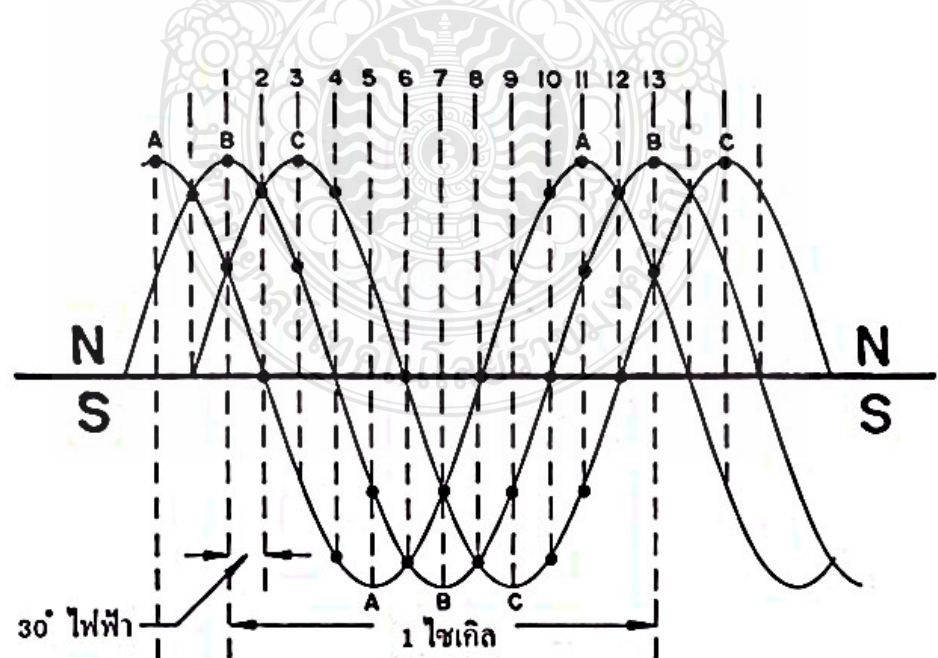
สนามแม่เหล็กของมอเตอร์เหนี่ยวนำ 3 เฟส เมื่อมีกระแสไฟฟาระบบ 3 เฟส จ่ายให้กับขดลวด 3 เฟส เป็นผลทำให้เกิดสนามแม่เหล็กหมุนในมอเตอร์นั้น สนามแม่เหล็กหมุนจะตัดกับตัวนำในโรเตอร์นั้น ทำให้เกิดกระแสไฟฟ้าเหนี่ยวนำขึ้นในตัวนำที่ฟังอยู่ในโรเตอร์และจะเกิดสนามแม่เหล็กขึ้นในโรเตอร์ เพราะที่โรเตอร์มีกระแสไฟฟ้าเหนี่ยวนำไหลอยู่ ซึ่งจะทำให้เกิดสนามแม่เหล็กเป็นขั้วเหนือและขั้วใต้ เช่นเดียวกับที่สเตเตอร์และสนามแม่เหล็กที่หมุนที่สเตเตอร์นั้น จะเกิดการผลักและดูดกับขั้วแม่เหล็กที่เกิดขึ้นที่โรเตอร์ในทิศทางของสนามแม่เหล็กหมุนผลที่ได้ของ การดูดและผลกระหว่างขั้วแม่เหล็กบนสเตเตอร์และโรเตอร์ทำให้เกิดแรงบิดขึ้น

หลักการหมุนของสนามแม่เหล็กโดยกระแสไฟฟ้า 3 เฟส จากภาพที่ 2.2 เป็นการแสดงให้เห็นว่าถ้าเราจ่ายกระแสไฟฟ้าในระบบ 3 เฟส ให้กับขดลวดในสเตเตอร์ในช่วงขณะหนึ่ง สมมติให้เป็นครึ่งไซเคิลนักดังแสดงในภาพที่ 2.2 ด้านขวาเมื่อ โดยการต่อไฟฟ้า เฟส A เข้าการเฟส A ของมอเตอร์และเฟส B เฟส C เข้ากับมอเตอร์ในเฟสตัดไป เมื่อกระแสไฟฟ้าในครึ่งไซเคิลนักเฟส A ไหลเข้าไปในขดลวดของเฟส A มอเตอร์ จะทำให้เกิดมีกระแสไฟฟ้าไหลผ่านขดลวดในเฟส A ของมอเตอร์นั้นทำให้เกิดขั้ว N ขึ้น และเมื่อแรงดันไฟฟ้าในเฟส A ที่จ่ายให้กับเฟส A มอเตอร์ท่องๆ

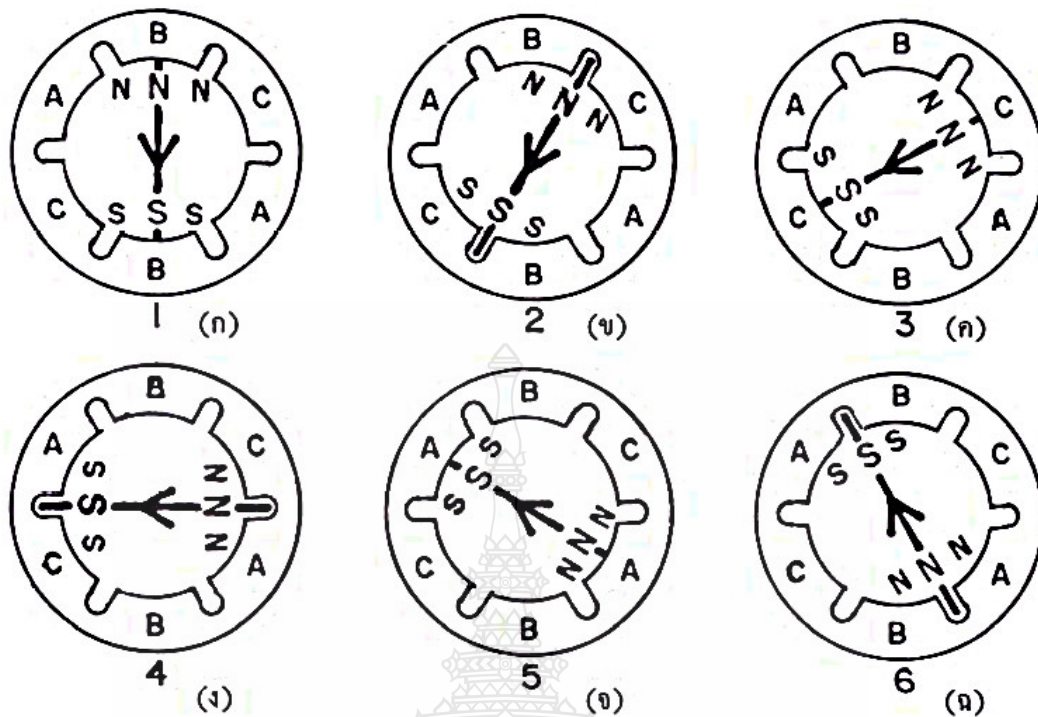
ลดลงจำนวนแม่เหล็กข้าม N ก็จะค่อยๆ ลดจำนวนหรือความเข้มลง และในขณะเดียวกันที่เฟสลัดไปก็จะมีจำนวนแม่เหล็กคล้ายๆ กับเฟส A แต่ในเวลาลัดไปจนครบ 3 เฟส ในหนึ่งขั้วแม่เหล็กของมอเตอร์ (คือเฟส A เฟส B และเฟส C) และเมื่อมีการเปลี่ยนแปลงของแรงดันไฟฟ้าในครั้งไขเคลบวงลิ้นสุดเรียบร้อยแล้ว ในครั้งไขเคลบลอดดไปที่ขั้วแม่เหล็กดังกล่าวข้างต้นก็จะเปลี่ยนสภาพจากข้าม N ไปเป็นข้าม S และในอีกหนึ่งขั้วแม่เหล็กดัดไป ก็มีลักษณะเช่นเดียวกันกับข้ามแม่เหล็กแรกที่กล่าวถึง ซึ่งลักษณะเช่นนี้เหมือนกับว่าสนามแม่เหล็กหมุนไปรอบๆ สเตเตอร์ ซึ่งสนามแม่เหล็กที่เหมือนกับหมุนไปรอบๆ นี้เรียกว่าสนามแม่เหล็กหมุน (Rotating Magnetic Field)



ภาพที่ 2.2 การจ่ายแรงดันไฟฟ้า 3 เฟส ให้กับมอเตอร์เหนี่ยวนำ 3 เฟส [13]



ภาพที่ 2.3 คลื่นไอน์ของสนามแม่เหล็กที่เกิดขึ้นโดยกระแสไฟฟ้า 3 เฟส [13]



ภาพที่ 2.4 การเกิดสนามแม่เหล็กหมุนของมอเตอร์ 3 เฟส 2 ขั้ว [13]

จากภาพที่ 2.3 และภาพที่ 2.4 เป็นการแสดงถึงการเกิดสนามแม่เหล็กหมุนของมอเตอร์ 3 เฟส 2 ขั้ว ที่สามารถพิจารณาทีละขั้น ได้ คือ

ที่จุดที่ 1 บนรูปไข่เคลื่อนจะเห็น ได้ว่าเฟส B อยู่ที่ตำแหน่งความเข้มสูงสุด ของขั้วเหนือ เฟส A ที่เป็นขั้วเหนือ แต่ลดลงจากจุดสูงสุดและเฟส C เป็นขั้วเหนือและกำลังเพิ่มขึ้น ดังแสดงในภาพที่ 2.4 (ก) ของสเตเตอเรคีอิเฟส B เป็นขั้วเหนือมาก เฟส A และเฟส C เป็นขั้วเหนือน้อย

ที่จุดที่ 2 บนรูปคลื่นไข่นี้ เฟส A เป็น 0 (Zero) เฟส B เป็นขั้วเหนือแต่กำลังลดลง ส่วนเฟส C เป็นขั้วเหนือแต่กำลังเพิ่มขึ้นดังแสดงในภาพที่ 2.4 (ข) ของสเตเตอเรคีอิ เฟส A เป็น 0 เฟส B และเฟส C เป็นขั้วเหนือและมีความเข้มเท่ากัน ซึ่งจะเกิดขึ้นระหว่าง 2 เฟส คือ เฟส B กับเฟส C ดังนั้นจากจุดที่ 1 ไปจุดที่ 2 ขั้วเหนือจะเคลื่อนที่ไป 30 องศาไฟฟ้า ในทิศทางตาม เข็มนาฬิกา (30 Electrical Degree Clockwise)

ที่จุดที่ 3 บนรูปคลื่นไข่นี้ เฟส C จะมีความเข้มสูงสุดของขั้วเหนือ เฟส B ลดลง จากสูงสุด และเฟส A เพิ่มขึ้นแต่ เฟส A เป็นขั้วใต้ ดังแสดงในภาพที่ 2.4 (ค) ของสเตเตอเรคีอิ เฟส C จะเป็นขั้วเหนือ และมีความเข้มมาก ส่วนเฟส B มีความเข้มของขั้วเหนือน้อย และเฟส A เป็นขั้วใต้ ดังนั้นจากจุดที่ 2 ไปจุดที่ 3 ขั้วเหนือจะเคลื่อนที่ไป 30 องศาไฟฟ้าในทิศทางตามเข็มนาฬิกา

บนรูปคลื่นไอน์ที่จุดต่างๆ ในไซเคิลก็จะเกิดหมุนเวียนกันไป เช่นเดียวกับที่ กล่าวมาแล้ว ตัวอย่างเช่น ที่จุดที่ 6 ในภาพที่ 2.3 บนรูปคลื่นไอน์ เฟส A และ เฟส B จะเป็นขี้ไว้ ส่วนเฟส C จะเป็น 0 ดังแสดงในภาพที่ 2.4 (a) ของสเตเตอร์ขี้หนึ่งจะเคลื่อนที่ไป 150 องศา ไฟฟ้าในทิศทางตามเข็มนาฬิกาจากจุดที่ 1 เป็นอันว่าครบไซเคิลของขี้หนึ่ง หรือหมุนครบ 1 รอบ 360 องศา

#### 2.3.4 สลิป (Slip, S)

ในทางปฏิบัตินี้ โรเตอร์ไม่สามารถหมุนได้เท่ากับความเร็วของสนามแม่เหล็ก หมุนที่ สเตเตอร์ โดยปกติแล้วความเร็วของโรเตอร์จะมีความเร็วน้อยกว่าความเร็วของสนามแม่เหล็ก ที่หมุนที่สเตเตอร์ ความแตกต่างของความเร็วนี้จะขึ้นอยู่กับโหลดที่ต่ออยู่กับมอเตอร์นั้น

ความแตกต่างระหว่างความเร็วของสนามแม่เหล็กที่หมุนอยู่ที่สเตเตอร์ หรือความเร็ว ชิงโครนัส ( $S_N$ ) และความเร็วรอบของโรเตอร์ขณะใช้งาน (Actual Speed :  $N$ ) ของโรเตอร์ เรียกว่า สลิป สลิปของมอเตอร์โดยปกติเป็นเปอร์เซ็นต์ ซึ่งเปอร์เซ็นต์สลิปสามารถหาได้จากการ ดังนี้คือ

$$S = \frac{Ns - N}{Ns} \quad (2.2)$$

$$Slip = \frac{Ns - N}{Ns} \times 100$$

แต่ในบางครั้ง  $Ns - N$  ก็เรียกว่า ความเร็วสลิป (Slip Speed)

จะเห็นได้ว่าความเร็วของโรเตอร์ (มอเตอร์) คือ  $= N - Ns(1 - s)$

#### 2.3.5 สรุป

วิทยานิพนธ์นี้จะทำการศึกษาและวิเคราะห์ปัญหาการเกิดแรงดันเกินในมอเตอร์หนึ่ง นำที่ขับด้วยอินเควอร์เตอร์แบบพีดับบลิวเอ็ม มีความยาวของสายตัวนำที่ไกล เพื่อนำผลจากการวิเคราะห์ องค์ประกอบที่ทำให้เกิดปัญหาดังกล่าวมาออกแบบการป้องกัน เพื่อลดthonแรงดันเกิน ในขี้ของ มอเตอร์ที่จะมีผลให้จำนวนของมอเตอร์เกิดการเสียหาย และในการวิเคราะห์ แบบจำลองของปัญหาจะ นั้นจะใช้แบบจำลองของมอเตอร์หนึ่ง 3 เฟส ดังนั้นจำเป็น ที่จะต้องทำความเข้าใจโครงสร้าง และหลักการพื้นฐานเพื่อนำไปใช้ในการวิเคราะห์แบบจำลองที่ใช้ทดสอบต่อไป

## 2.4 อินเวอร์เตอร์ 3 เฟส

### 2.4.1 บทนำ

อินเวอร์เตอร์มีหน้าที่สำคัญในการแปลงไฟฟ้ากระแสตรงให้เป็นไฟฟ้ากระแสสลับ และเปลี่ยนความถี่ที่ใช้ในการขับมอเตอร์ด้วยวิธีการขับมอเตอร์แบบพีดับบลิวเอ็ม (Pulse-Width Modulation, PWM) ดังนั้นจึงต้องการทำความเข้าใจในหลักการทำงานของ อินเวอร์เตอร์ โดยในหัวข้อนี้จะทำการศึกษาโดยมีลำดับของการศึกษาดังนี้ วงจรและภาคลี่น สัญญาณ การควบคุม อินเวอร์เตอร์แบบ PWM และวงจรรองความถี่และแรงดัน เพื่อนำไปใช้ในการแก้ปัญหาต่อไป

### 2.4.2 วงจรและรูปคลื่นสัญญาณ

อินเวอร์เตอร์ 3 เฟสหมายความว่าต้องการกำลังไฟฟ้าสูง ซึ่งโครงสร้าง และรูปคลื่นสัญญาณของวงจรอินเวอร์เตอร์ 3 เฟสแสดงอยู่ในภาพที่ 2.5 (ก)

เทคนิค PWM สามารถใช้ได้กับวงจรอินเวอร์เตอร์ 3 เฟส ไม่ว่าจะเป็นเทคนิค ไซน์ตัด สามเหลี่ยม หรือเทคนิคการกำจัดชาร์มอนิกต่ำ หรือการควบคุมรูปคลื่นของกระแส

ภาพที่ 2.5 (บ) แสดงหลักการของเทคนิคไซน์ตัดสามเหลี่ยม เราเมื่อรูปสามเหลี่ยม  $V_T$  ซึ่งมีความถี่เท่ากับความถี่การสวิตช์ และมีสัญญาณอ้างอิงรูปไซน์ 3 สัญญาณได้แก่คือ  $V_{rA}$ ,  $V_{rB}$  และ  $V_{rC}$  ซึ่งมีมุ่งเฟสต่างกัน  $120^\circ$  โดยมีจุดตัดระหว่าง  $V_T$  กับ  $V_{rA}$  ( $V_{rA}$  และ  $V_{rC}$ ) เป็นตัวกำหนดการตัดต่อ วงจรของสวิตช์  $Q_1$   $Q_4$  ( $Q_3$   $Q_6$  และ  $Q_5$   $Q_2$  ตามลำดับ) รูปคลื่นของแรงดัน  $V_{AG}$ ,  $V_{BG}$  (G คือ สาย ลบทองเหลืองแรงดันไฟครอง) และ  $V_{AB}$  แสดงอยู่ในภาพที่ 2.5 (ค) สังเกตได้ว่าองค์ประกอบหลักมูล ของ  $V_{AG}$  หรือ  $V_{AG1}$  มีแอมเพลจูดเท่ากับค่าที่แสดงในสมการที่ 2.3 ( $V_{AG}$  ต่างกับ  $V_{AO}$  เพียงค่า แรงดันไฟครอง  $V_s/2$ )

$$V_{AG1} = m_a V_s \quad ; m_a \leq 0.5 \quad (2.3)$$

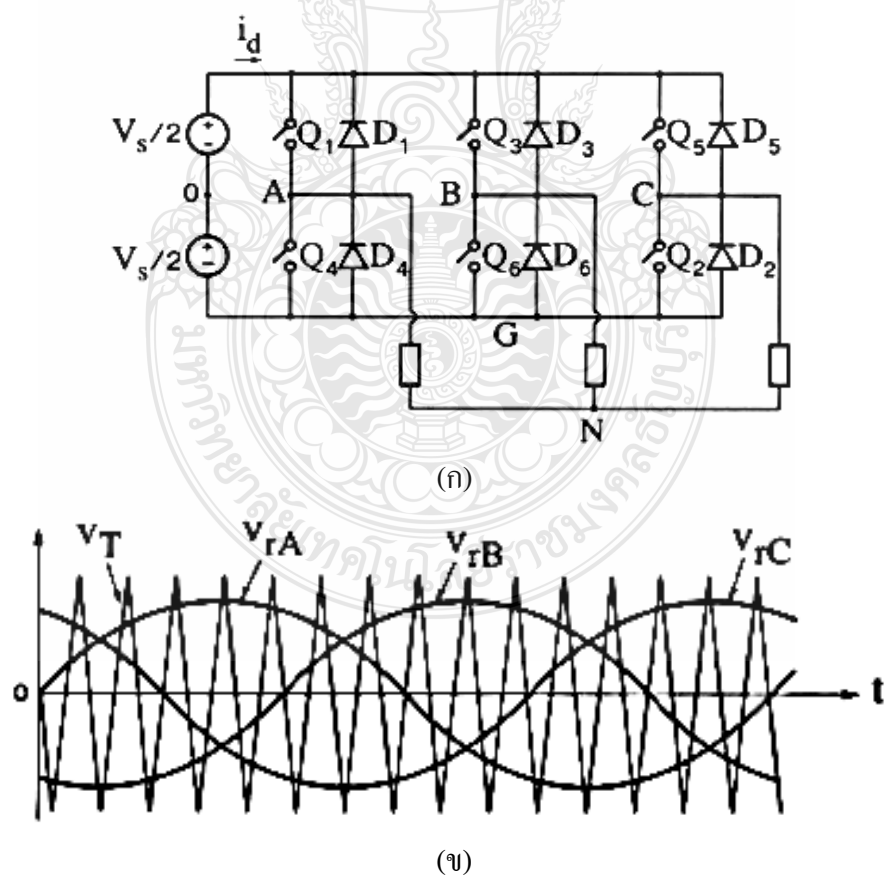
$$V_{AB1} = \sqrt{3}m_a V_s \quad ; m_a \leq 0.5 \quad (2.4)$$

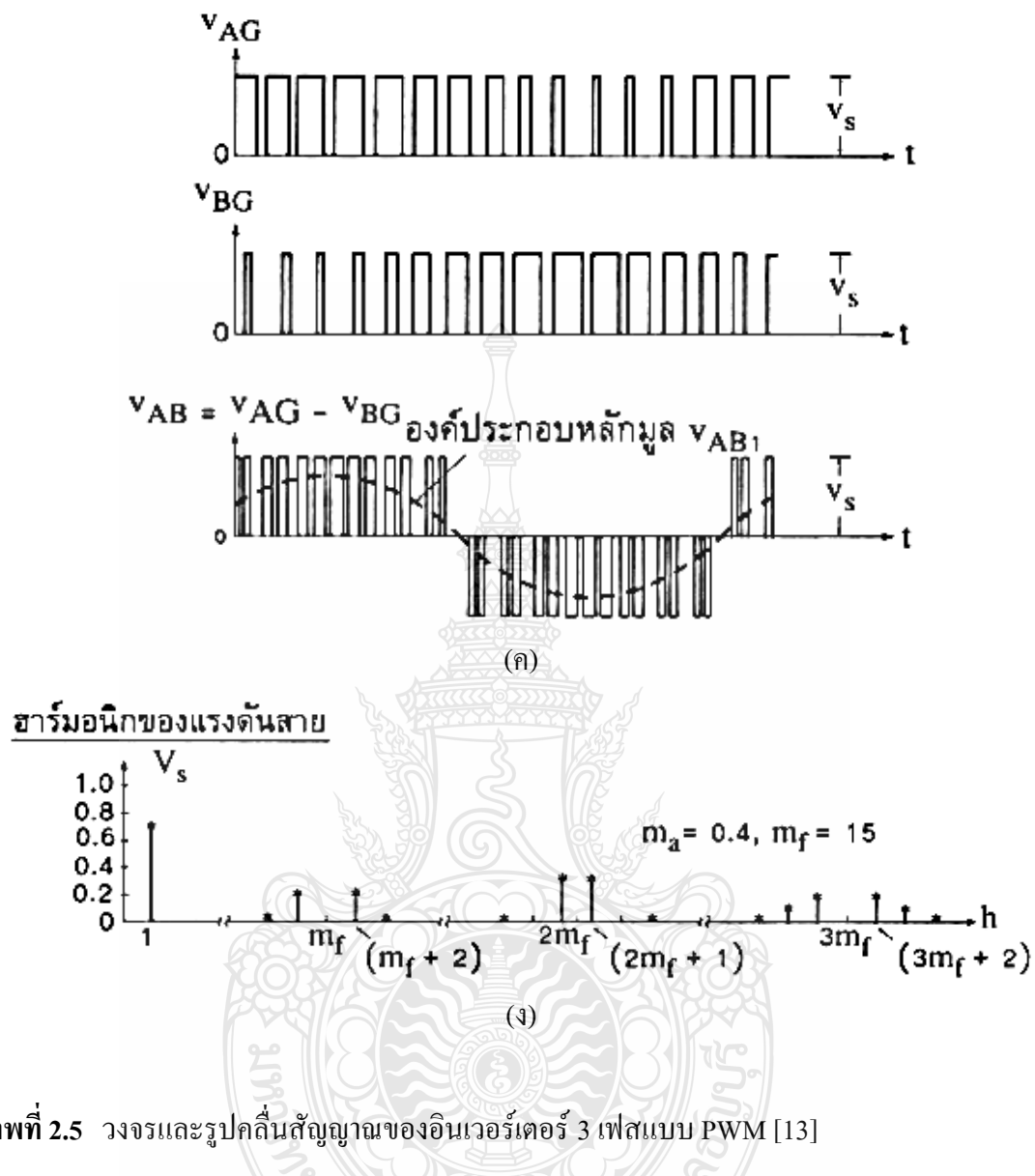
แรงดันสาย  $V_{AB}$  มีองค์ประกอบหลักมูลเท่ากับ  $V_{AB1}$  แอมเพลจูดของ  $V_{AB1}$  เท่ากับ 3 ของ แอมเพลจูดของ  $V_{AG1}$  เนื่องจาก  $V_{AG}$  และ  $V_{BG}$  มีเฟสต่างกัน  $120^\circ$  และ  $V_{AB1}$  มีเฟสล้าหลัง  $V_{AG1}$  อยู่  $30^\circ$  (แสดงในภาพที่ 2.5 (ค)) ดังนั้น

$$V_{AB1} = \sqrt{3}m_a V_s \quad ; m_a \leq 0.5 \quad (2.5)$$

ในการออกแบบระบบ โดยทั่วไปนิยมเลือกอัตราการมอดดูเลตความถี่  $mf$  เป็นเลขคู่ และเป็นพหุคูณของ 3 และให้ความลากชันของ  $V_T$  และ  $V_r$  ณ จุดที่แรงดันทั้งสอง มีค่าเป็นศูนย์มิเครื่องหมายตรงกันข้ามกัน(แสดงในภาพที่ 2.5 (ข)) ในกรณีนี้  $0.5 a \leq m \leq$  สเปกตรัมของ  $V_{AB}$  จะเป็นดังแสดงในภาพที่ 2.5 (ง) นอกจากนี้สังเกตได้ว่าสาร์มนิกต่ำสุดเกิดขึ้นที่ความถี่  $(m_f \pm 2k)f_a$  ตารางที่ 2.1 แสดงสาร์มนิกของแรงดันสายของอินเวอร์เตอร์ 3เฟส สำหรับอินเวอร์เตอร์ 3เฟส เราอาจจะออกแบบให้วงจรทำงานถึงในย่านการมอดดูเลตเกิน เพื่อให้ได้แรงดันเอาท์พุทที่มีค่าสูงขึ้นส่วนข้อเสียที่เนื่องมาแต่สาร์มนิกที่เพิ่มขึ้นมักจะพอยอมรับได้

ถ้าโอลด์มีลักษณะเป็นตัวเหนี่ยวนำโดยมีค่าคงตัวเวลาที่เป็นไปตามเงื่อนไข สมการที่ 2.4 กระแสโอลด์จะเป็นรูปไกล์เดียงไซน์โดย ทิศทางของกระแสโอลด์เป็น ตัวกำหนดการนำกระแสของ ไดโอด เช่น กรณีที่เฟสของโอลด์เท่ากับ  $30^\circ$  (ตามลักษณะ) รูปคลื่น จะเป็นดังแสดงสมการที่ 2.5 โดยสังเกตได้ว่าในช่วงเวลาที่  $i_c > 0$  และ  $V_{CG} = 0 = (Q_2 \text{ หรือ } D_2 \text{ นำกระแส})$  แต่ทิศทางของ  $i_c$  แสดงว่า  $D_2$  นำกระแส (แสดงในภาพที่ 2.5 (ก))



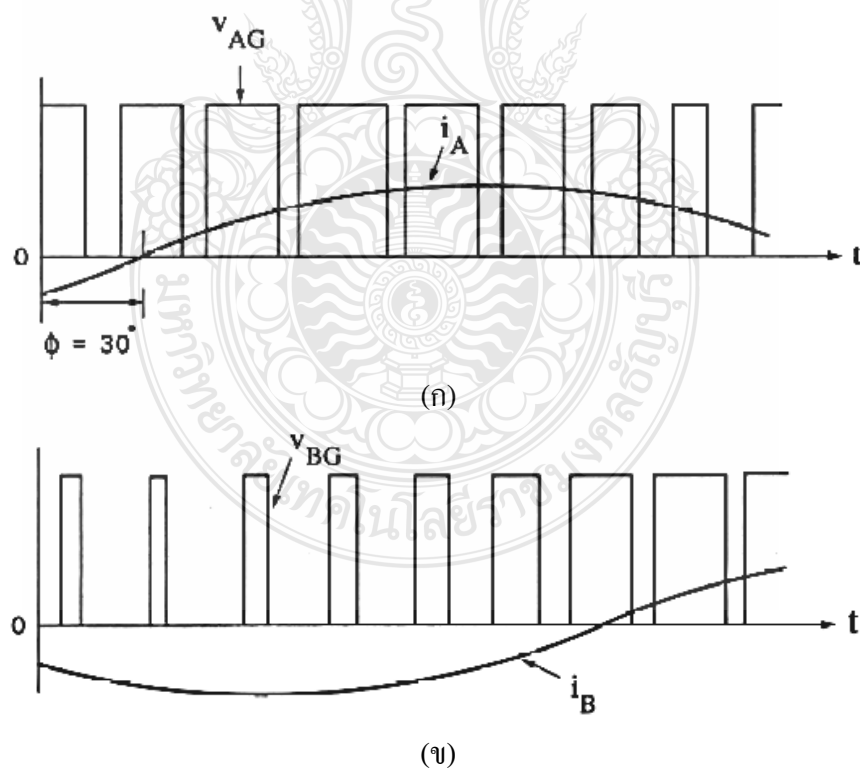


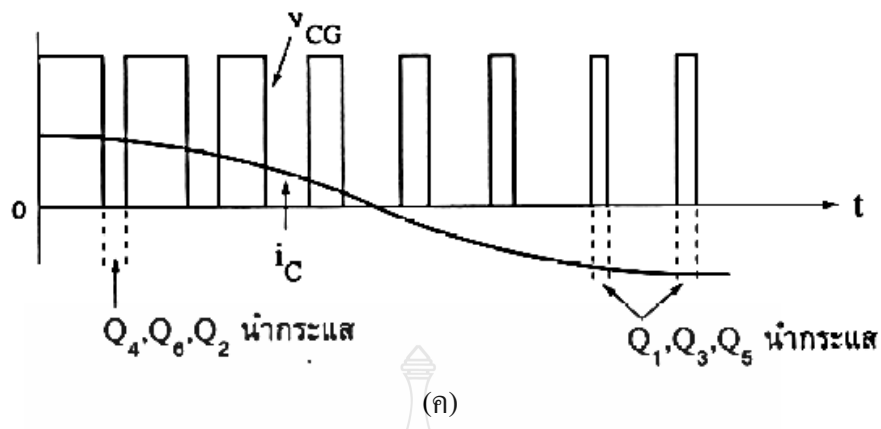
ภาพที่ 2.5 วงจรและรูปคลื่นสัญญาณของอินเวอร์เตอร์ 3 เฟสแบบ PWM [13]

เมื่อพิจารณารูปคลื่นสัญญาณในภาพที่ 2.5 จะพบว่า ในบางช่วงเวลาดังแสดงในภาพล่าง สวิตช์จะต้องกึ่งทึ้งสามของโอลด์เบ้ากับขั้วลบของแหล่งจ่าย  $V_s$  (เช่น เมื่อ  $Q_4, Q_6, Q_2$  นำกระแส) และบางช่วงเวลาสวิตช์จะต้องกึ่งทึ้งสามของโอลด์เบ้ากับขั้วบวกของแหล่งจ่าย  $V_s$  (เช่น เมื่อ  $Q_1, Q_3, Q_6$  นำกระแส) ซึ่งในช่วงเวลาดังกล่าว กระแสอินพุทของอินเวอร์เตอร์ ( $i_d$  ในภาพที่ 2.5 (ก)) มีค่าเป็นศูนย์ หมายความว่ากำลังงานไม่ไหลจากแหล่งจ่ายสู่โอลด์ ซึ่งระยะเวลาของการควบคุมช่วงเวลา เป็นการควบคุมกำลังงานที่จ่ายให้แก่โอลด์ หรือควบคุมค่าองค์ประกอบหลักมูลของแรงดัน เอาท์พุท นั่นเอง

ตารางที่ 2.1 อัตราส่วนระหว่างค่า RMS ของ harmonic กับ  $V_s$  ของแรงดันสายของอินเวอร์เตอร์ 3 ไฟฟ้า

$H$	$m_a$	0.1	0.2	0.3	0.4	0.5
1		0.122	0.245	0.367	0.490	0.612
$m_f \pm 2$		0.010	0.031	0.080	0.135	0.195
$m_f \pm 4$				0.005	0.011	
$2m_f \pm 1$		0.116	0.200	0.227	0.192	0.111
$2m_f \pm 5$				0.008	0.020	
$3m_f \pm 2$		0.027	0.085	0.124	0.108	0.038
$3m_f \pm 4$			0.007	0.029	0.064	0.096
$4m_f \pm 1$		0.100	0.096	0.005	0.064	0.042
$4m_f \pm 5$				0.021	0.051	0.073
$4m_f \pm 7$				0.010	0.030	





ภาพที่ 2.6 รูปคลื่นของแรงดันและกระแสของอินเวอร์เตอร์ 3 เฟสแสดงช่วงกำลังงานไม่ไฟลสูงโหลด [13]

#### 2.4.3 การควบคุมอินเวอร์ต์แบบ PWM (Pulse Width Modulate)

การเปลี่ยนเฟasaที่ แรงดันเอาท์พุท  $V_o$  ของวงจรอนระดับสัญญาณดังภาพที่ 2.7 (ก) สามารถเปลี่ยนแปลงได้ระหว่างค่า 0 ถึงค่า  $V_s$  โดยที่วัสดุจัดงาน  $D$  มีค่าระหว่าง 0 ถึง 1 ถ้าเราให้  $D$  เป็นฟังก์ชัน ของเวลา  $d(t)$  โดยที่  $d(t)$  มีการเปลี่ยนแปลงค่าอย่างช้าๆ เมื่อเทียบกับความของการสวิตช์ซึ่งถ้าเป็นในกรณี เช่นนี้เรามารассังเคราะห์แรงดันเอาท์พุท  $V_o$  ซึ่งมีค่าเฉลี่ยจะเป็นฟังก์ชัน ของเวลา และมีค่าเท่ากับ  $d(t) V_s$  อย่างไรก็ตามเวลาในการเปลี่ยนค่า  $V_o$  จำเป็นต้องเป็นช่วงเวลาที่นาน เมื่อเทียบกับความเวลาของการสวิตช์  $T$  แต่ความเวลาดังกล่าวจะต้องสั้นกว่าเมื่อเทียบกับ ความเวลาของ  $d(t)$

การเฉลี่ยค่าแรงดันเอาท์พุท  $V_o$  ในที่นี้หมายถึงการเฉลี่ยเฉพาะที่ (local averaging) และจะใช้สัญลักษณ์  $\bar{V}_o(t)$  สำหรับสัญลักษณ์  $\langle V_o \rangle$  หมายถึงค่าเฉลี่ยจริงซึ่งเป็นค่าคงตัว หรืออาจกล่าวอีกนัยหนึ่งได้ว่า ค่าเฉลี่ยดังกล่าวเป็นค่าเฉลี่ยเฉพาะที่ได้จากการกรองสัญญาณ แรงดันเอาท์พุทด้วยวงจรกรองความถี่ต่ำผ่าน โดยข้อดีความถี่สูงออกและคงเหลือไว้แต่สัญญาณความถี่ต่ำ เช่น องค์ประกอบหลักมูล (Fundamental Component) ในขณะที่ถ้าส่วนค่าเฉลี่ยได้จาก การกรองทุกความถี่ออก จะคงเหลือไว้แต่องค์ประกอบไฟตรงบวกกับไซนุซoidal ได้ดังนี้

ถ้า

$$d(t) = 0.5 + m_a \sin \omega_a t$$

$$V_o(t) = 0.5V_s + m_a V_s \sin \omega_a t \quad ; m_a \leq 0.5 \quad (2.6)$$

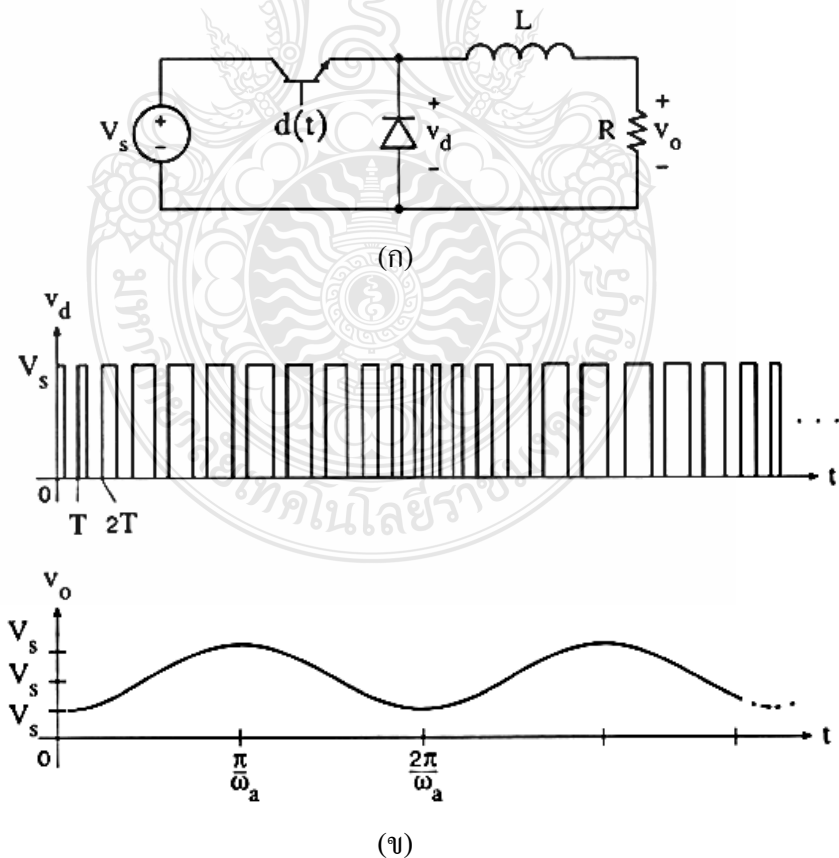
$m_a$  คือ Amplitude Modulation

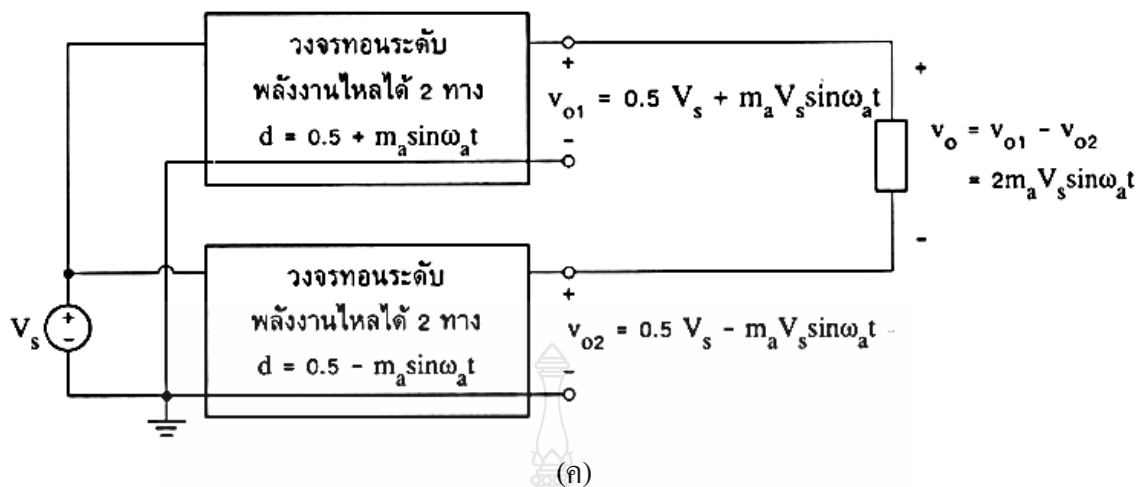
$\omega_a$  คือ Frequency Modulation

โดยมีเงื่อนไขดังนี้

$$T \ll \frac{L}{R} \ll \frac{2\pi}{\omega_a} \quad (2.7)$$

แรงดัน  $V_d$  เป็นพัลส์ที่มีความถี่เท่ากับ  $1/T$  แต่มีความกว้างพัลส์ที่ไม่คงตัว เราเรียก รูปคลื่น ที่วัดจากการเป็นฟังก์ชันของเวลาว่า รูปคลื่นสัญญาณ PWM ค่าเฉลี่ยเฉพาะที่ของ รูปคลื่น PWM หรือ  $\bar{V}_d$  จะเป็นฟังก์ชันของเวลา ถ้าเราทำการกรอง  $V_d$  ด้วยวงจรกรองความถี่ต่ำ ผ่านที่ประกอบไปด้วย อุปกรณ์  $L$  และ  $R$  โดยมีพารามิเตอร์เป็นไปตามเงื่อนไขสมการที่ 2.7 ดังนั้นค่าความถี่การสวิตช์จะถูก กรองออกไปแต่ความถี่  $\omega_a$  ไม่ถูกลดthon





ภาพที่ 2.7 การใช้เทคนิค PWM กับวงจรตอนระดับ [13]

ในภาพที่ 2.7 (ก)  $V_o$  คือค่าเฉลี่ยเฉพาะที่ของรูปคลื่น PWM เนื่องจาก  $d(t)$  เป็นฟังก์ชันไซนุซอยด์ ค่าเฉลี่ยเฉพาะที่ของรูปคลื่น PWM จึงเป็นรูปไซนุซอยด์ด้วย แต่  $d(t)$  อาจเป็นฟังก์ชันของเวลาใดๆ (ที่เป็นไปตามเงื่อนไขสมการที่ 2.7)  $V_o(t)$  ก็จะเป็นฟังก์ชันที่เหมือนกับ  $d(t)$

อย่างไรก็ตี แรงดันเอาท์พุท  $V_o$  ของวงจรตอนระดับสัญญาณขั้นมือคงค์ประกอบไฟ ตรงผลมอยู่ (เป็นไปตามสมการที่ 2.6 และภาพที่ 2.7 (ข)) ดังนั้นการคำนวณคงค์ประกอบไฟตรงสามารถทำ

ได้โดยการต่อวงจรตอนระดับ 2 วงจร โดยที่สัญญาณมอคคูเลตของวงจรทั้งสองมีเฟสต่างกัน  $180^\circ$  (ดังแสดงในภาพที่ 2.7 (ก)) เมื่อนำสัญญาณด้านเอาท์พุทมาลบกัน จะส่งผลให้แรงดันไฟตรงก็จะหักล้างกันไปเหลือแต่แรงดันไฟสลับ อย่างไรก็ตี เมื่อจากกระแสด้านออก  $i_o$  เป็นกระแสสลับวงจรตอนระดับที่ใช้จะต้องเป็นชนิดที่กำลังงานไฟได้ 2 ทิศทาง กล่าวคือ แต่ละวงจรใช้สวิตช์ที่กระแสไฟได้ 2 ทางจำนวน 2 ตัวถ้าให้สัญญาณมอคคูเลตเป็นฟังก์ชันใดๆ แต่องค์ประกอบความถี่สูงสุดยังเป็นไปตามเงื่อนไขสมการที่ 2.7 แรงดันด้านออกจะเป็นฟังก์ชันเดียวกับสัญญาณมอคคูเลตเพียงแต่จ่ายกำลังได้มากขึ้น ในกรณีวงจรทำหน้าที่เป็นวงจรขยายกำลังแบบวิธีสวิตช์ (Switch Mode Power Amplifier)

$$m_f = \frac{f}{f_a} \quad (2.8)$$

$m_f$  = อัตราการมอคคูเลตความถี่

$f$  = ความถี่ของการสวิตช์

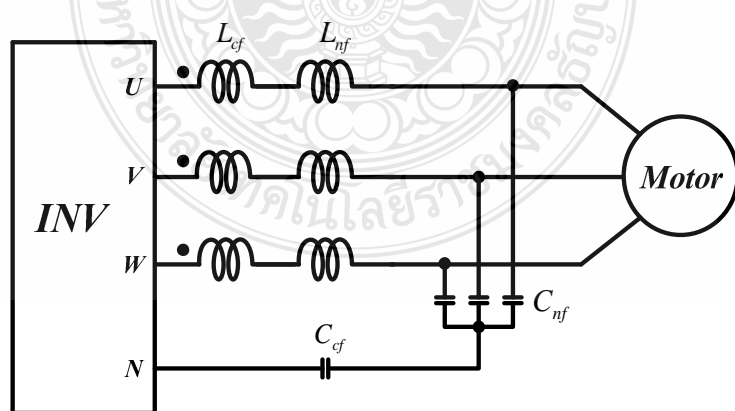
$$f_a = \text{ความถี่การมอตอร์}$$

#### 2.4.4 วงจรกรองความถี่และแรงดัน

##### 1) วงจรกรองพาสซีฟ

การนำเสนองานพาสซีฟรูปแบบต่างๆ เพื่อลดทอนแรงดันโหนดร่วม ใช้ตัวเหนี่ยวนำแบบโหนดร่วมและใช้วงจรกรองพาสซีฟแบบ LC เพื่อลด  $dv/dt$  หลักการของ วงจรกรองทั้ง 2 แบบนี้ จะทำหน้าที่กรององค์ประกอบของแรงดันโหนดร่วมที่ความถี่สูงกว่า ความถี่สวิตช์ ซึ่งทำให้วงจรกรองมีขนาดเล็ก วงจรกรองชนิดนี้มีคุณสมบัติการกรองที่ดีเฉพาะ ในย่านความถี่สูงมากๆ ( $>10$  เท่า ของความถี่การสวิตช์) เมื่อออกจากต้องออกแบบให้ความถี่ตัดขั้มของวงจรกรอง (Cut-off Frequency) อยู่ห่างจากความถี่การสวิตช์มากๆ เพื่อหลีกเลี่ยง การถูกกระตุ้นจากเร โซแนนซ์ ทำให้สามารถแก้ไขผลผลกระทบจากแรงดันโหนดร่วมเฉพาะ ในประเด็นที่เกี่ยวกับปัญหา EMI และความล้มเหลวของตัวซึ่งออกแบบความติดพรว่องลงดินเท่านั้น แต่จะไม่สามารถแก้ปัญหาอื่นๆ ได้เนื่องจากองค์ประกอบที่ความถี่การสวิตช์ของแรงดัน โหนดร่วม ซึ่งไม่ได้ถูกกรองออกไปยังสามารถกระตุ้นให้เกิดปัญหาที่เหลือได้

วงจรกรองพาสซีฟแบบ LC ที่ทำหน้าที่กรองแรงดันโหนดร่วม ทั้งองค์ประกอบความถี่สูงและองค์ประกอบความถี่ การสวิตช์สามารถทำได้โดยออกแบบให้วงจรกรองมีความถี่ตัดขั้มต่ำกว่าความถี่การสวิตช์ของวงจรกรองชนิดนี้เป็นที่รู้จักกันดีและใช้กันมานานตั้งแต่อดีต เพราะมีโครงสร้างที่ง่ายดังแสดงในภาพที่ 2.8 และเนื่องจากองค์ประกอบทั้งหมดของ วงจรเป็นองค์ประกอบเดียวกัน วงจรกรองจึงมีแบบดั้วลดที่ทึ่กว่างครอบคลุมความถี่การสวิตช์ จนถึงย่านความถี่การแทรกสอดทางแม่เหล็กไฟฟ้าโดยการนำ



ภาพที่ 2.8 โครงสร้างของวงจรกรองแบบพาสซีฟที่มีความถี่ตัดขั้มต่ำกว่าความถี่การสวิตช์

ถึงแม้ว่างจกรองชนิดนี้จะสามารถลดทอนแรงดันโหมคร่วมได้เป็นอย่างดี และสามารถแก้ปัญหาผลกระทบจากแรงดันโหมคร่วมได้ครอบคลุมทุกประเดิม แต่ข้อด้อย คือ การออกแบบวงจรกรองจะทำได้ค่อนข้างยาก เนื่องจากในด้านหนึ่งผู้ออกแบบจะต้องออกแบบวงจรกรอง เพื่อลดทอนองค์ประกอบที่ความถี่การสวิตซ์ของแรงดันโหมคร่วม กล่าวคือ จะวางแผนความถี่ตัดขั้นให้ต่ำที่สุดเท่าที่เป็นไปได้ แต่ในขณะเดียวกันจะต้องหลีกเลี่ยงไม่ให้งจกรองลูกกระตุ้นจากแรงดันลำดับคูณย์ที่ความถี่  $3n$  เท่าที่ของความถี่ด้านออกแบบของ อินเวอร์เตอร์ที่เกิดจากวิธีการมอคุเลตแบบสเปชเวกเตอร์ ซึ่งหมายถึงว่า จะต้องวางแผนความถี่ ตัดขั้นให้สูงกว่าความถี่ harmonic อนิกของความถี่ด้านออกแบบของอินเวอร์ดตอร์ ความต้องการ ที่ขัดแย้งกันนี้ อาจทำให้ไม่สามารถออกแบบวงจรกรองที่มีสมรรถนะที่ต้องการได้ ปัญหาดังกล่าว อาจหลีกเลี่ยงได้ หากจำกัดวิธีการมอคุเลตเป็นแบบคลื่นรูปไซน์ (Sinusoidal PWM) เพราะจะไม่มี การนឹតแรงดันลำดับคูณย์ แต่จะทำให้สมรรถนะการสร้างแรงดันออกแบบของอินเวอร์เตอร์ ด้อยลง ซึ่งเป็นปัญหาในการใช้งานที่ยอมรับได้ยากเช่นกัน นอกจากนี้ โครงสร้างของวงจรกรองที่มีตัวเก็บประจุต่อบนนาทีด้านออกแบบอินเวอร์เตอร์  $C_{nf}$  จะส่งผลให้เกิดกระแสโหมดผลต่าง ค่าสูงได้ ดังนั้นวงจรกรองชนิดนี้ต้องใช้ร่วมกับตัวหนีบหัวนำโหมดผลต่าง (Differential-Mode Choke)  $L_{nf}$  เสมอ เพื่อจำกัดกระแสโหมดผลต่าง ไม่ว่าจะมีความจำเป็นที่ต้องลดทอนแรงดันโหมด ผลต่าง (Differential-Mode Voltage) หรือไม่ก็ตาม ยังผลทำให้งจกรองมีราคาแพงและ มีขนาดโดยรวมใหญ่มาก

## 2) วงจรกรองแยกทีฟ

การใช้วงจรกรองแบบพาสซีฟชนิดต่างๆ มีข้อจำกัดที่สำคัญจากปัญหาระโซแนนซ์ การแก้ปัญหาดังกล่าวด้วยการใช้วงจรกรองแยกทีฟจึงได้รับความสนใจอย่าง กว้างขวาง วงจรกรอง EMI ชนิดแยกทีฟแบบบานานาที่นำเสนอโดย Takahashi [14] เป็นวงจรกรองขนาดเล็กที่สามารถแก้ปัญหา EMI และความล้มเหลวของตัวชี้บอกรความผิดพร่องลงดินได้เป็นอย่างดี แต่เนื่องจากวงจรกรองชนิดนี้ไม่ได้ทำหน้าที่กรองแรงดันโหมคร่วม เป็นพียงแค่ การเบี่ยงทางให้ของกระแสโหมดร่วมไม่ให้ลงกราวเท่านั้น ดังนั้นจึงไม่สามารถนำไปใช้เพื่อแก้ปัญหาที่เป็นผลกระทบจากแรงดันโหมคร่วมในประเดิมอื่นๆ ได้ นอกจากนี้ยังมี ข้อจำกัด คือ สามารถนำไปใช้งานได้เฉพาะกับอินเวอร์เตอร์ที่มีระดับแรงดันต่ำๆ และมี กระแสโหมดร่วมขนาดเล็ก ทั้งนี้เนื่องจากขีดจำกัดทางพิกัดแรงดันและกระแสของทรานซิสเตอร์ ในวงจรขยายแบบพุชพูล

วงจรกรองแยกทีฟแบบอนุกรมสำหรับชดเชยแรงดันโหมคร่วม เป็นวงจรกรองที่สามารถกำจัดแรงดันโหมคร่วมได้เป็นอย่างดี แต่มีข้อจำกัดทางด้านพิกัดแรงดันและ กระแสของทรานซิสเตอร์ในวงจรขยายแบบพุชพูลที่ใช้สร้างแรงดันชดเชย เมื่อนำไปประยุกต์ เพื่อใช้งานจริงใน

ระบบที่มีแรงดันบัสไฟตรงสูงเกินกว่า 500 V Xing เสนอ Active Common-Mode=Voltage compensator (ACCom) ที่จะชดเชยแรงดันโภมคร่วมด้วยอินเวอร์เตอร์ 4 ระดับ 1 ขา (Single-leg 4-Level Inverter) ซึ่งเป็นโครงสร้างที่เหมาะสมกับการใช้งานกับระบบขั้นเคลื่อน แรงดันสูง อย่างไรก็ตามแนวทางที่ Xing นำเสนอจะให้วงจรกรองชดเชยของคู่ประกอบ ของแรงดันโภมคร่วมในทุกย่านความถี่ตั้งแต่ที่ความถี่ต่ำ ทำให้มอแปลงเชื่อมร่วม (Coupling Transformer) มีขนาดใหญ่ไม่เหมาะสมต่อการนำไปใช้งานจริงได้ทั้งๆ ที่องค์ประกอบ ของแรงดันโภมคร่วมที่ความถี่สูงเท่านั้นที่เป็นต้นเหตุของปัญหาต่างๆ ดังที่กล่าวข้างต้น นอกจากนี้ยังเป็นเพียงการยืนยันแนวคิดด้วยการจำลองการทำงานของระบบ โดยยังขาดรายละเอียดการออกแบบสำหรับการสร้างวงจรกรองอินเวอร์เตอร์ 4 ระดับ 1 ขา เพื่อนำไปใช้งานในทางปฏิบัติได้จริง

โดยสรุปแล้วจะเห็นได้ว่าวงจรกรองแยกที่ฟ์แบบอนุกรมมีข้อดีหลายอย่าง เมื่อเทียบกับวงจรกรองแบบพาสทีฟ โดยเฉพาะในเรื่องปัญหารโซแนนซ์ที่ทำให้เกิดข้อจำกัด ในการใช้งาน ดังนั้น การใช้วงจรกรองแยกที่ฟ์เพื่อลดthonแรงดันโภมคร่วมจึงเป็นแนวทาง ที่เหมาะสมต่อการนำมาใช้งานจริง แต่มีปัญหางานประการที่ต้องการแก้ไขหรือพัฒนาเพื่อนำไปสู่เป้าหมายการนำไปใช้จริง ในทางปฏิบัติดังนี้ คือ

1) จากการศึกษาวงจรกรองแบบแยกที่ฟ์ที่นำเสนอ พบว่าถึงแม้วงจรกรองแยกที่ฟ์ จะมีขนาดเล็กเมื่อเทียบกับวงจรกรองแบบพาสทีฟ แต่การชดเชยแรงดันโภมคร่วมตลอดย่าน ความถี่ รวมทั้งความถี่าร์มอนิกของความถี่ด้านออกด้วย ทกให้มอแปลงเชื่อมร่วมมี ขนาดใหญ่เกินความจำเป็น และเนื่องจากมอแปลงเป็นองค์ประกอบหลักที่กำหนดขนาด ของวงจรกรองแยกที่ฟ์จึงจำเป็นที่จะต้องหาวิธีการลดขนาดของมอแปลงที่ใช้ในวงจรกรองแยกที่ฟ์

2) ปัญหาข้อจำกัดของอุปกรณ์สวิตช์กำลังที่ใช้สร้างแรงดันชดเชย ทำให้โครงสร้างของวงจรภาคกำลังแบบพุชพูลไม่เหมาะสมที่จะนำมาใช้ และวงจรอินเวอร์เตอร์ 4 ระดับที่ทำงาน ในลักษณะสวิตช์มีความเหมาะสมมากกว่า แต่ก็ยังต้องพิจารณาปัญหาข้อจำกัดในเรื่องเวลาหน่วง (Delay Time) ในส่วนการสร้างแรงดันโภมคร่วมในลักษณะการสวิตช์ที่ทำให้มีข้อจำกัดในการชดเชยในย่าน ความถี่สูง ซึ่งเป็นประเด็นที่เกี่ยวข้องกับวิธีการตรวจสอบแรงดันโภมคร่วม

#### 2.4.5 สรุป

การศึกษาวงจรและรูปคลื่นสัญญาณ การควบคุมอินเวอร์เตอร์แบบ PWM และวงจรกรอง ความถี่และแรงดัน ซึ่งเป็นหลักการทำงานสำคัญของอินเวอร์เตอร์ เพื่อนำไปใช้ในการแก้ปัญหาที่เป็นผลกระทบข้างเคียงของเปลี่ยนความถี่ที่ใช้ในการขั้นตอนเตอร์ด้วยวิธีการขั้นตอนเตอร์ แบบพีดับบลิวเอ็ม

(Pulse-Width Modulation, PWM) โดยจะนำไปใช้ในการศึกษาปัญหาและสร้างอาร์ดแวร์ที่ใช้ทดสอบการแก้ปัญหา

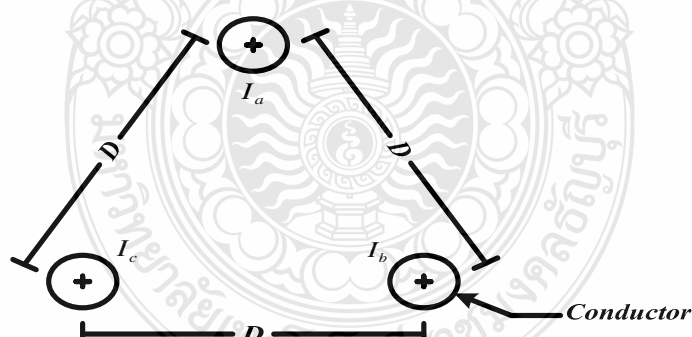
## 2.5 การประมาณค่าพารามิเตอร์ของสายไฟฟ้า

### 2.5.1 บทนำ

วิทยานิพนธ์นี้จะทำการศึกษาและวิเคราะห์ปัญหาการเกิดแรงดันเกินในมอเตอร์เหนี่ยวนำที่ขับด้วยอินเควอร์เตอร์แบบพีดับบลิวเอ็ม ที่มีความยาวของสายตัวนำที่ไกล เพื่อนำผลจากการวิเคราะห์องค์ประกอบที่ทำให้เกิดปัญหาดังกล่าวมาออกแบบการป้องกัน เพื่อลดthonแรงดันเกินในขี้ของมอเตอร์ที่จะมีผลให้ลดลงของมอเตอร์เกิดการเสียหาย โดยใช้วิธีพาสซีฟฟิลเตอร์ (Passive Filter) การหาค่าพารามิเตอร์ต่างๆ ที่เกี่ยวข้องกับสายไฟฟ้าจะต้องทำความเข้าใจเน้นนำไปใช้วิเคราะห์และแก้ปัญหาตามลำดับ

### 2.5.2 อินดักแตนซ์ของเคเบิล 3 แกนที่wangตัวเป็นรูปสามเหลี่ยมด้านเท่า (Three-phase Inductance-Dalta Spacing)

ระบบไฟฟ้า 3 เฟส ซึ่งประกอบด้วยสายตัวนำ 3 เส้นแต่ละเส้นมีรัศมีเท่ากับ  $r$  และwangตัวเป็นรูปสามเหลี่ยมด้านเท่า มีระยะห่างเป็น  $D$  ดังภาพ 2.9 เราเรียกว่างตัวของสายตัวนำหรือสายส่งเหล่านี้ว่า การwangตัวเป็นรูปสามเหลี่ยมด้านเท่า



ภาพที่ 2.9 อินดักแตนซ์ของเคเบิล 3 แกนที่wangตัวเป็นรูปสามเหลี่ยมด้านเท่า

ถ้ากระแสไฟฟ้าที่ไหลในสายตัวนำทั้ง 3 เฟส อยู่ในสภาพสมดุล ( $I_1 + I_2 + I_3 = 0$ ) จะหาค่าอินดักแตนซ์ในสายตัวนำแต่ละเส้น หรือค่าอินดักแตนซ์ต่อเฟส โดยพิจารณาได้ดังนี้

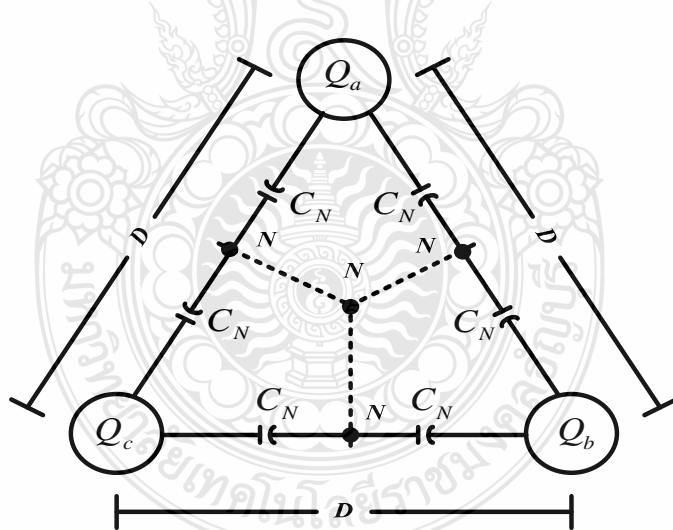
$$L = \frac{1}{2} \times 10^{-7} + 2 \times 10^{-7} \ln(D/r) \quad (2.9)$$

ทำให้ได้ค่าอินดักแทนซ์ต่อเฟสของสายส่งในภาพ 2-15 ดังนี้คือ

$$L = 2 \times 10^{-7} \ln \frac{D}{GMR} \quad (2.10)$$

### 2.5.3 แรงดันไฟฟ้าและค่าปานิชณ์ของเคเบิล 3 แกนที่วางตัวเป็นรูปสามเหลี่ยมด้านเท่า

การหาค่าแรงดันไฟฟ้าหรือความต่างศักย์ของสายส่ง 3 เฟสที่มีรัศมีเท่ากับ  $r$  และวางตัวเป็นรูปสามเหลี่ยมด้านเท่าดังภาพที่ 2.10 ทำได้โดยหาค่าแรงดันไฟฟ้าที่เกิดจากประจุไฟฟ้าของสายตัวนำที่ลักษณะเด่น โดยมีเงื่อนไขว่าประจุไฟฟ้าของสายตัวนำทั้ง 3 สายมีสภาพสมดุล นั่นคือ  $Q_a = Q_b = Q_c = 0$  และกำหนดระยะพิจารณาใหม่ คือ  $S$  ซึ่งเป็นระยะที่ความต่างศักย์หรือแรงดันไฟฟ้าที่เกิดจากตัวนำทั้งสามมีค่าเป็นศูนย์ จากนั้นใช้หลักการวงซ้อนมาร่วมพิจารณา จะทำให้ได้แรงดันไฟฟ้าสายถึงนิวทรัล



**ภาพที่ 2.10** แรงดันไฟฟ้าและค่าปานิชณ์ของเคเบิล 3 แกนที่วางตัวเป็นรูปสามเหลี่ยมด้านเท่า

การหาค่าแรงดันไฟฟ้าสายถึงนิวทรัลของสายตัวนำ (กำหนดให้เป็น  $V_{an}$ ) ทำได้ดังนี้

$$V_{an} = \frac{Q_a}{2\pi \epsilon_0} \ln(S/r) + \frac{Q_b}{2\pi \epsilon_0} \ln(S/D) + \frac{Q_c}{2\pi \epsilon_0} \ln(S/D) \quad (2.11)$$

เมื่อ

$$Q_b + Q_c = -Q_a \quad (2.12)$$

$$V_{an} = \frac{1}{2\pi \epsilon_0} [Q_a \ln(S/r) - Q_a \ln(S/D)] \quad (2.13)$$

$$V_{an} = \frac{Q_a}{2\pi \epsilon_0} \ln(D/r) \quad (2.14)$$

แทนสมการที่ 2.14 ลงในสมการที่ 2.15

$$C = \frac{Q}{V} \quad (2.15)$$

จะได้

$$C_{an} = \frac{2\pi \epsilon_0}{\ln(D/r)} \text{ (F/m)} \quad (2.16)$$

หรือ

$$C_{an} = \frac{0.0388}{\log(D/r)} ; (\mu F / mile) \quad (2.17)$$

$$C_{an} = \frac{0.0241}{\log(D/r)} ; (\mu F / mile) \quad (2.18)$$

ข้อสังเกต คือ ค่าปานิชณ์ที่ได้จากสมการที่ 2.16 ถึงสมการที่ 2.18 เป็นค่าต่อเฟส และ

$$C_{an} = C_{bn} = C_{cn} = C_n$$

#### 2.5.4 สรุป

จากการศึกษาการหาค่าพารามิเตอร์ต่างๆ ที่เกี่ยวข้องกับสายไฟฟ้า เพื่อนำไปเป็น ส่วนช่วง วิเคราะห์ปัญหาการเกิดแรงดันเกินในมอเตอร์หนี่ยวน่า ที่ขับด้วยอินเเวอร์เตอร์ แบบพีดับบลิวเอ็ม ที่มี ความยาวของสายตัวนำที่ไกลนั้น การศึกษาอินดักแตนซ์ของเคเบิล 3 แกน ที่ทางตัวเป็นรูปสามเหลี่ยม ด้านเท่า (Three-Phase Inductance-Delta Spacing) แรงดันไฟฟ้า และค่าปานิชณ์ของเคเบิล 3 แกนที่

วางแผนเป็นรูปสามเหลี่ยมด้านเท่า จะถูกนำไปใช้หาอิมพีเดนซ์รวมของสาย ซึ่งเป็นสาเหตุหลักที่ทำให้เกิดปัญหาแรงดันเกินที่ขั้วมอเตอร์

## 2.6 สรุปผลฤทธิ์และงานวิจัยที่เกี่ยวข้อง

การศึกษาฤทธิ์และวรรณกรรมเกี่ยวข้องจากปัญหาการเกิดแรงดันเกินใน มอเตอร์ เนื่องจากน้ำที่ขับด้วยอินเวอร์เตอร์แบบพีดับบลิวเอ็ม ที่มีความขาวของสายตัวนำที่ไกล เพื่อนำผลจากการวิเคราะห์องค์ประกอบที่ทำให้เกิดปัญหาดังกล่าว มาออกแบบการป้องกัน เพื่อลดthonแรงดันเกิน ในขั้วของมอเตอร์ที่จะมีผลให้จำนวนของมอเตอร์เกิดการเสียหาย จึงต้องมี การทำความเข้าใจ โครงสร้าง และหลักการของมอเตอร์เนื่องจากน้ำ 3 เฟส การขับด้วยอินเวอร์เตอร์ แบบพีดับบลิวเอ็ม สายไฟฟ้าและวิธีพัสซีฟฟิลเตอร์ (Passive Filter) ตามลำดับ โดยแก้ปัญหาจะใช้โปรแกรมทางคอมพิวเตอร์ MATLAB/Simulink เป็นเครื่องมือในการวิเคราะห์แบบจำลอง โดยใช้วิธีพัสซีฟฟิลเตอร์ (Passive Filter) และทำการสร้างฮาร์ดแวร์เพื่อจำลองปัญหา และทดสอบการแก้ไขปัญหา ซึ่งจะนำเสนอในบทต่อไป



## บทที่ 3

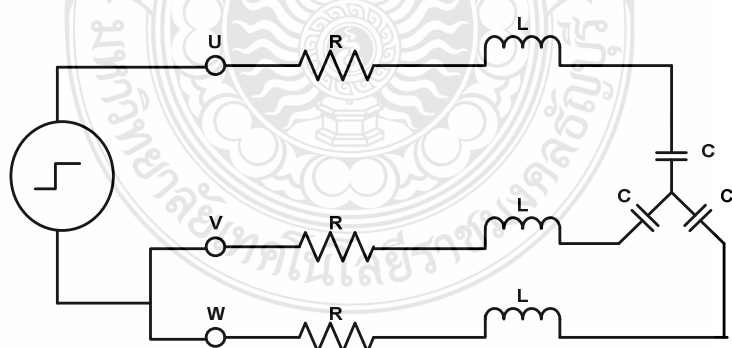
### ขั้นตอนและวิธีการดำเนินงานวิจัย

ในวิทยานิพนธ์นี้ใช้โปรแกรม MATLAB/SIMULINK ในการสร้างแบบจำลอง การเกิด  
แรงดันไฟฟ้าเกินที่ขั้วของมอเตอร์ที่ถูกขับโดยยอนเรอร์เตอร์แบบ PWM ที่มีสายตัวนำยาว และนำผลที่  
ได้มารอกแบบวงจรลดทอนแรงดันไฟเกินโดยในวิทยานิพนธ์นี้ ใช้หลักการ LC Passive Filter เป็นตัว  
กรองแรงดันไฟที่ยอมให้ความถี่ในย่านต่ำสามารถผ่านไปได้ มาเป็นตัวช่วยในการลดทอนแรงดันและ  
กระแสที่เกิดขึ้น เพื่อป้องกันการเกิดความเสียหายทั้งยอนเรอร์เตอร์ และมอเตอร์

### 3.1 ขั้นตอนการดำเนินงานวิจัย

### 3.1.1 แบบจำลองของสายเคเบิล

การจำลองการทำงานของมอเตอร์ที่ถูกขับด้วยอินเวอร์เตอร์ ที่มีสายเคเบิลยาวตัวแปร์สำคัญที่ทำให้เกิดปัญหาแรงดันไฟฟ้าเกินที่ข้าวของมอเตอร์ คือค่าอิมพีเดนซ์ของสายเคเบิล ที่มีระยะทางที่ยาวซึ่งในสายเคเบิลจะประกอบไปด้วยค่า รีซิสแตนซ์ อินดักแตนซ์ ซึ่งในระยะสาย ที่มีระยะทางที่ยาวจำเป็นต้องพิจารณา ค่าค่าปัชตันซ์ มาเป็นองค์ประกอบในการพิจารณาด้วย โดยปกติแล้วในการหาค่าอิมพีเดนซ์ของสายเคเบิล จะมีตัวแปรทางด้านความถี่มาคำนวณด้วยซึ่งในสายเคเบิลที่ถูกขับโดยอินเวอร์เตอร์แบบ PWM จะได้รับความถี่สูงตามความถี่สวิตช์ของ IGBT



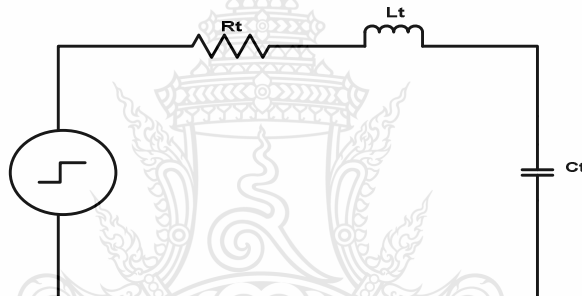
ภาพที่ 3.1 แบบจำลองสายเคเบิลที่ความถี่สูงค้วยวงจรสมมูลรวมกัน

- โดยที่  $R$  คือ ความต้านทานภายในสายเคเบิล  
 $L$  คือ อินดักซ์แม่เหล็กภายในสายเคเบิล  
 $C$  คือ ค่าปานิชณ์ระหว่างสายเคเบิล

จากภาพที่ 3.1 เป็นการจำลองสายเคเบิลที่เมื่อสายยาวจะประกอบไปด้วย อิมพีเดนซ์ RLC ซึ่งค่าอิมพีเดนซ์ดังกล่าวจะมีค่ามากหรือน้อยขึ้นอยู่กับระยะทางของสายเคเบิล เมื่อได้ทำ การยุบรวมค่าอิมพีเดนซ์ดังสมการที่ 3.1

$$Z_{vw} = Z_v // Z_w \quad (3.1)$$

$$Z_{th} = Z_u // Z_{vw} \quad (3.2)$$



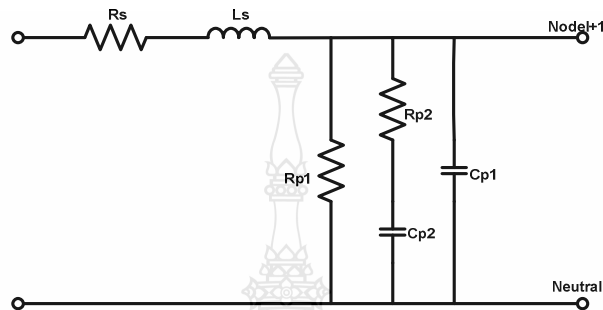
ภาพที่ 3.2 แบบจำลองสายเคเบิลที่ความถี่สูงค่าวงจรเทวินิ

ในการหาค่าพารามิเตอร์ในสายเคเบิลซึ่งประกอบไปด้วย RLC โดยที่ค่าของสายเคเบิล ตามมาตรฐาน โดยทั่วไปจะระบุค่าความต้านทานของสายเคเบิลต่อหน่วยความยาว ซึ่งค่าที่จะต้องประมาณการได้แก่ค่า  $L$  และ  $C$  ของสาย จากสมการที่ 3.3 และสมการที่ 3.4 ซึ่งการใช้สมการดังกล่าวพิจารณาจากการใช้สายเคเบิลที่อยู่ในสภาพแวดล้อม

$$L = 2 \times 10^{-7} \ln \frac{D}{GMR} \quad \text{H/m} \quad (3.3)$$

$$C_n = \frac{2\pi\epsilon_0}{\ln(D/r)} \quad \text{F/m} \quad (3.4)$$

โดยทั่วไปแล้วค่า  $L_s$  และค่า  $C$  ของสายเคเบิลจะเปลี่ยนตามความถี่ที่  $50 \text{ Hz}$  ตามระบบไฟฟ้าแต่เนื่องจากสายเคเบิลนี้ได้ใช้ร่วมกับอุปกรณ์อินเวอร์เตอร์แบบ PWM ซึ่งมีย่านความถี่สูงกว่าปกติซึ่งในการจำลองนี้ใช้ความถี่สูงชิงของอินเวอร์เตอร์  $2 \text{ KHz}$  ถึง  $10 \text{ KHz}$  จำเป็นต้องใช้วงจรสมมูลแบบความถี่สูงของสายเคเบิล



ภาพที่ 3.3 แบบจำลองสายเคเบิลที่ความถี่สูงที่ใช้ในการจำลอง

จากแบบจำลองดังภาพที่ 3.3

$$Z_o = \sqrt{(Z_{oc} Z_{sc})} \quad (3.5)$$

$$R_S = \frac{2}{3} \operatorname{Real} \{Z_{sc}\}_{f_{low}} \quad (3.6)$$

$$L_s = \frac{2}{3} \frac{1}{2\pi f_{high}} \operatorname{Imag} \{Z_{sc}\}_{f_{high}} \quad (3.7)$$

$$R_{p1} = 2 \left( \operatorname{Real} \{Z_{sc}\}_{f_{low}} \right) \left[ \left( \frac{\operatorname{Imag} \{Z_{oc}\}_{f_{low}}}{\operatorname{Real} \{Z_{oc}\}_{f_{low}}} \right)^2 + 1 \right] \quad (3.8)$$

$$R_{p2} = 2 \left( \operatorname{Real} \{Z_{sc}\}_{f_{high}} \right) \left[ \left( \frac{\operatorname{Imag} \{Z_{oc}\}_{f_{high}}}{\operatorname{Real} \{Z_{oc}\}_{f_{high}}} \right)^2 + 1 \right] \quad (3.9)$$

$$C_{p2} = \left[ (2\pi f_{high}) \left( \frac{Real\{Z_{oc}\}_{f_{high}}}{Imag\{Z_{oc}\}_{f_{high}}} \right) R_{p2} \right]^{-1} \quad (3.10)$$

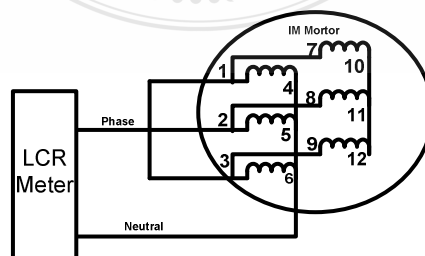
$$C_{p1} = \left[ (2\pi f_{low}) \left( \frac{Real\{Z_{oc}\}_{f_{low}}}{Imag\{Z_{oc}\}_{f_{low}}} \right) R_{p2} \right]^{-1} - C_{p2} \quad (3.11)$$

- เมื่อ  $Z_o = \sqrt{(Z_{oc} Z_{sc})}$  กือ ค่าอิมพิเดนซ์ของสายเคเบิล  
 $Z_{oc}$  กือ ค่าอิมพิเดนซ์เปิดวงจรของสายเคเบิล  
 $Z_{sc}$  กือ ค่าอิมพิเดนซ์ลัดวงจรของสายเคเบิล  
 $R_s, L_s$  กือ ค่ารีซิสแตนซ์และอินดักเตนซ์ขณะลัดวงจรของสายเคเบิล  
 $R_{p1}, R_{p2}$  กือ ค่ารีซิสแตนซ์ขณะเปิดวงจรของสายเคเบิล  
 $C_{p1}, C_{p2}$  กือ ค่าคาปิซิตาตันซ์ขณะเปิดวงจรของสายเคเบิล

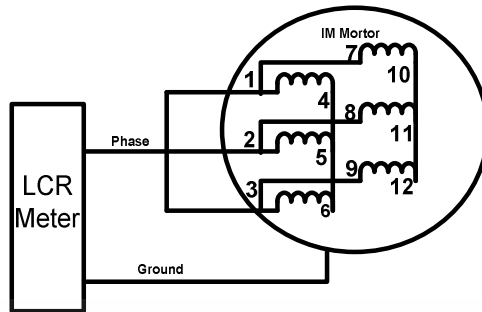
ความถี่ที่ใช้ในการหาค่าอิมพิเดนซ์ในย่านความถี่ต่ำกือ 100 Hz และในย่านความถี่สูงกือ 2 MHz ในการคำนวณ

### 3.2 แบบจำลองมอเตอร์เห็นี่ยวน้ำความถี่สูงด้วยวงจรสมมูล

การจำลองผลของแรงดันไฟฟ้าเกินที่ขึ้นของมอเตอร์จำเป็นต้องใช้วงจรสมมูลของมอเตอร์ที่ได้รับแรงดันในย่านความถี่สูงเนื่องจากอินเวอร์เตอร์มีการขับเคลื่อนมอเตอร์เห็นี่ยวน้ำด้วยความถี่สูงเนื่องมาจากความถี่พาหะในการสวิทช์ของไอจีบีที่มีค่าความถี่ในอุตสาหกรรมโดยทั่วไปจะมีค่า 2 KHz ถึง 20 KHz ซึ่งในการหาค่าอิมพิเดนซ์ของมอเตอร์เพื่อใช้ในแบบจำลองจะประกอบด้วยการหาค่าอิมพิเดนซ์เทียบกับกราวด์และเทียบกับนิวทรัล

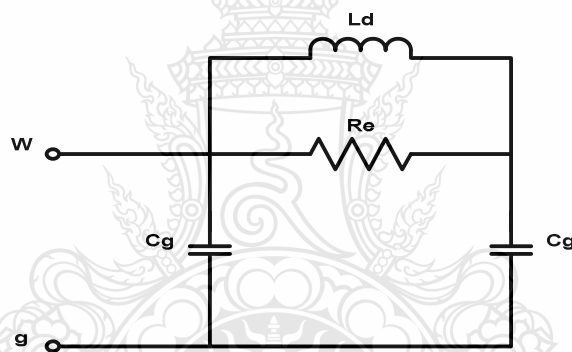


ภาพที่ 3.4 การวัดหาค่าอิมพิเดนซ์ของมอเตอร์เห็นี่ยวน้ำเทียบกับนิวทรัล



ภาพที่ 3.5 การวัดหาค่าอิมพีเดนซ์ของมอเตอร์เห็นี่ยวน้ำเทียบกับกราวด์

จากภาพที่ 3.4 และ 3.5 เมื่อเราทำการวัดได้ค่าอิมพีเดนซ์ตามแน่นง่ายๆ ดังภาพเราจะสามารถนำมารวบรวมเพื่อหาค่าอิมพีเดนซ์ในวงจรสามมูลความถี่สูงของมอเตอร์เห็นี่ยวน้ำ



ภาพที่ 3.6 แบบจำลองของมอเตอร์เห็นี่ยวน้ำความถี่สูงที่ใช้ในการจำลอง

จากแบบจำลองดังภาพที่ 3.6 เราสามารถหาค่าพารามิเตอร์ได้ดังสมการต่อไปนี้

$$C_g = \frac{1}{6(2\pi f Z_{wg})} \quad (3.11)$$

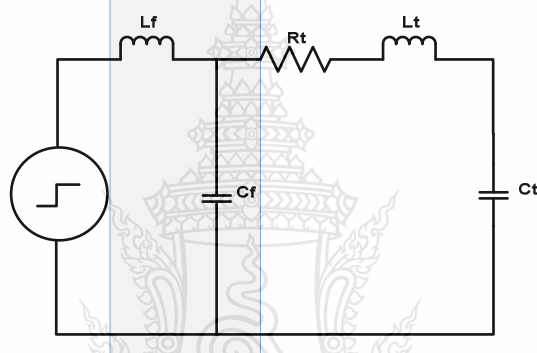
$$Re = 3Z_{wg} \quad (3.12)$$

$$L_{d(hf)} = \frac{1}{(2\pi f Z_{wg})^2 C_g} \quad (3.13)$$

เมื่อ	$C_g$	คือ ค่าปารามิเตอร์ที่บวกกับกราวด์
	$R_e$	คือ ความต้านทานกระแสอิเดคต์ในชุดลวดสนามแม่เหล็กและเฟรม
	$L_d$	คือ ค่าอินดักซ์ตันซ์รั่วไวโอล

### 3.3 การออกแบบวงจรกรองพาสซีฟชนิด LC

เนื่องจากแรงดันด้านอุบัติของวงจรอินเวอร์เตอร์มีการเปลี่ยนแปลงแรงดันด้วยความถี่สูงชี้ง แรงดันไฟฟ้าเกินที่เกิดขึ้น สามารถใช้หลักการวงจรกรองความถี่ต่ำผ่านชนิด LC เข้ามาช่วยลดตอน ปัญหาโดยวงจรกรองจะมีข้อมูลให้แรงดันที่มีปัญหาตั้งแต่ยังความถี่ที่กำหนด



ภาพที่ 3.7 วงจรสมมูลของวงจรกรองที่ใช้ในการออกแบบ

การออกแบบวงจรกรองแบบ Low Pass Filter เพื่อจ่ายต่อการออกแบบใช้การจำลอง วงจรเทวินิเข้ามาช่วยโดยการออกแบบวงจรกรองจะมีขั้นตอนดังนี้

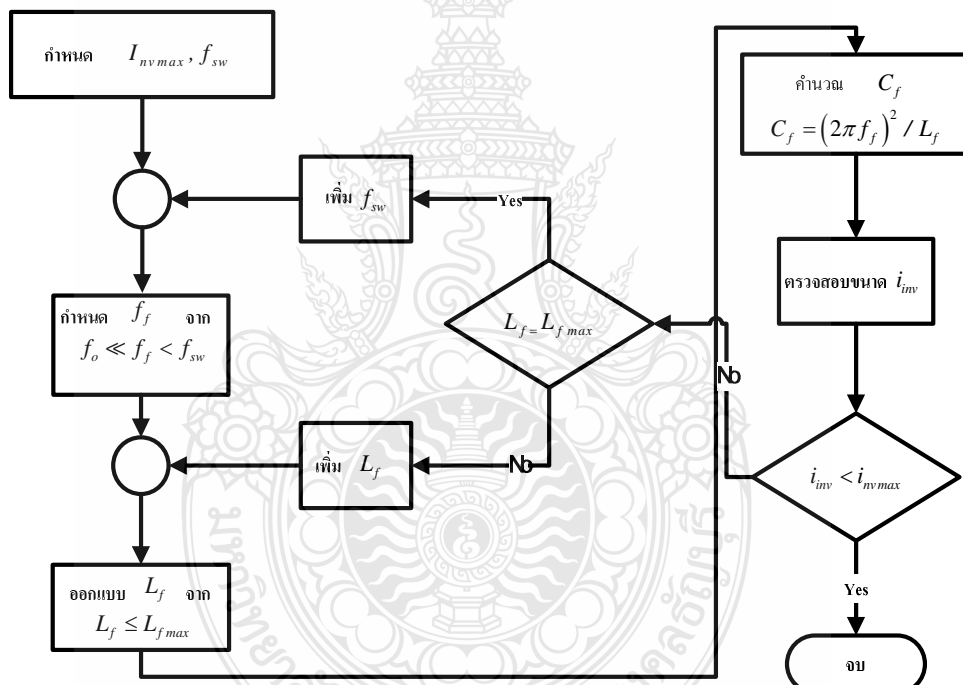
1) กำหนดตัวหนี่ยวนำ  $L_f$  ของวงจรกรอง โดยพิจารณาจากแรงดันต่ำที่ต้องการ ความถี่หลักมูลโดยแรงดันที่ต้องการร่วมตัวหนี่ยวนำจะมีค่าไม่เกินร้อยละ 5 ของแรงดันปกติแสดงได้จากสมการที่ 3.14

$$L_f \leq \frac{0.05V_{rate}}{2\pi f_{inv(rate)}} \quad (3.14)$$

2) กำหนดความถี่เรโซนансของวงจรกรอง  $f_f$  เพื่อกรองความถี่สูงที่สุดของแรงดันอินเวอร์เตอร์ โดยจะเลือกที่ความถี่เรโซนансที่ต้องมีค่ามากกว่าความถี่หลักมูล และจะต้องมีค่าน้อยกว่าความถี่สูงที่สุดของอินเวอร์เตอร์โดยสามารถสรุปได้ดังนี้

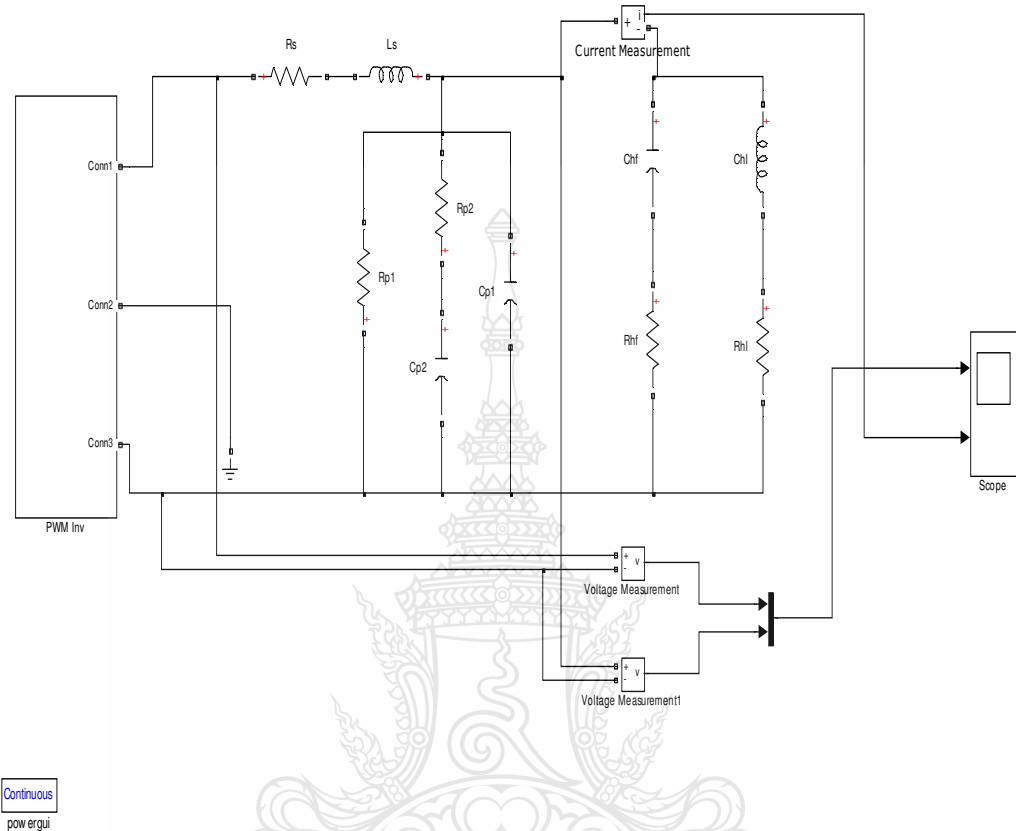
$$f_o < f_f = \left( \frac{1}{2\pi\sqrt{L_f C_f}} \right) < f_{sw} \quad (3.15)$$

3) กำหนดขนาดของค่าปั๊มน้ำด้วยสมการที่ 3.15 ซึ่งขึ้นตอนในการออกแบบวงจรด้วยสำหรับคุณสมบัติที่ต้องได้จากแผนภูมิการออกแบบแบบดังภาพที่ 3.8



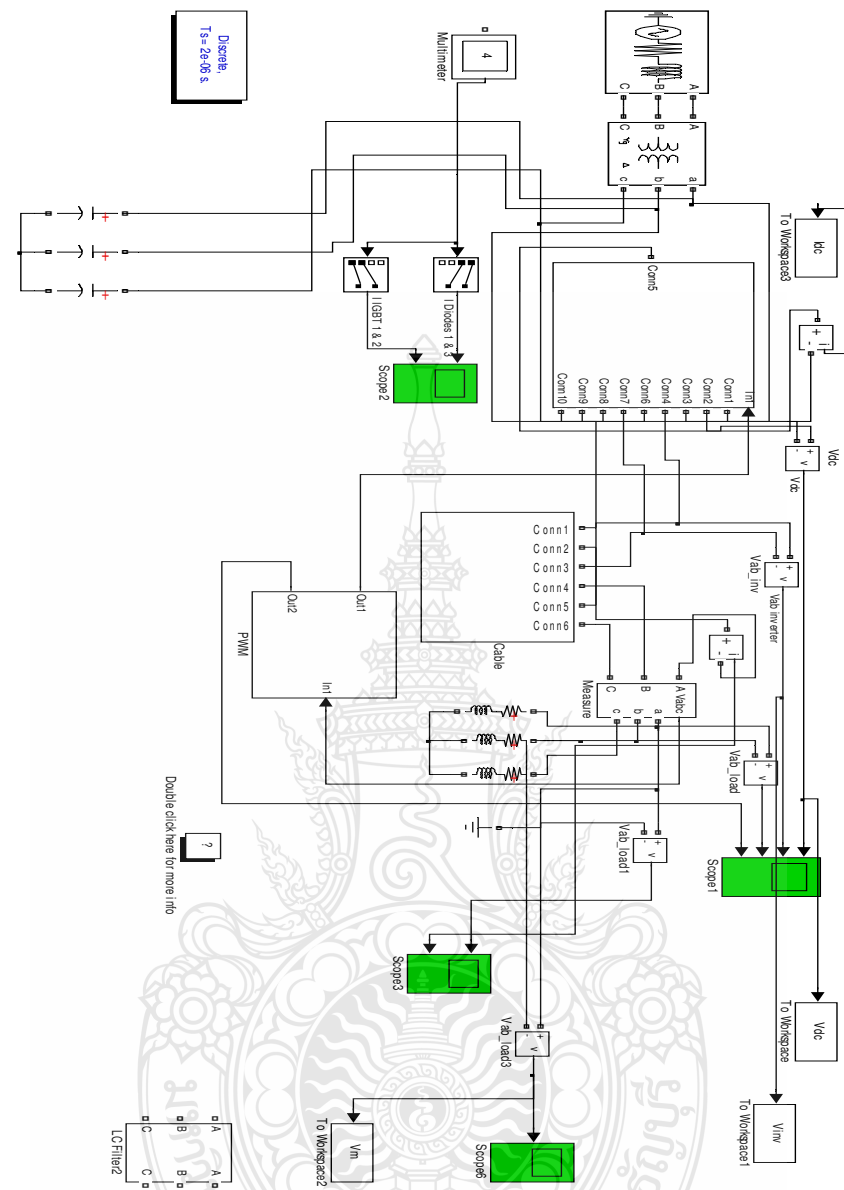
ภาพที่ 3.8 แผนภูมิการออกแบบวงจรกรองพาลซีบแบบ LC

### 3.4 การทดลองทางโปรแกรม



ภาพที่ 3.9 วงจรการจำลองด้วยวงจรสมมูลความถี่สูง

จากภาพที่ 3.9 แสดงการจำลองวงจรสมมูลของปั๊มห้า โดยการจำลองประกอบด้วยโมเดลของสายเคเบิล และมอเตอร์เห็นว่าความถี่สูงที่ได้จากการวัดหาค่าอิมพีเดนซ์แล้วมาคำนวณลงในสมการเพื่อหาค่าพารามิเตอร์ลงในวงจรสมมูล โดยการจำลองทำการจำลองทั้งในแบบติดตั้งฟิลเตอร์และขณะไม่ได้ติดตั้งฟิลเตอร์เพื่อลดทอนปั๊มห้า เพื่อนำผลการจำลองมาเปรียบเทียบลักษณะแรงดันไฟฟ้าชั่วขณะที่เกิดขึ้นที่ข้างของมอเตอร์เห็นว่า



### ภาพที่ 3.10 แบบจำลองเมื่อใช้เป็นระบบสามเฟส

### 3.5 การจำลองผลทางอาร์ดแวร์

ในวิทยานิพนธ์นี้ได้มีการจำลองผลทางด้านอาร์คแวร์ด้วยเพื่อทำการเปรียบเทียบผลการจำลองจากงานการจำลอง และนำผลที่ได้มาออกแบบบรรตอนแรงดันไฟฟ้าเกินที่ขั้วมอเตอร์โดยในการจำลองจะใช้ มอเตอร์หนี่ยวน้ำขนาด 400 วัตต์ 3 เฟส 200 โวลต์ ใช้สายเคเบิล ขนาด 2.5 มิลลิเมตร และอินเวอร์เตอร์อุตสาหกรรมขนาด 400 วัตต์ 3 เฟส 200 โวลต์ โดยการจำลองจะแบ่งเป็น

การจำลองผลบันทึกไม่มีฟิลเตอร์และมีฟิลเตอร์ โดยแบ่งความยาวของสายเคเบิลออกเป็นสามระยะ ได้แก่ 5 เมตร 10 เมตร และ 15 เมตร



ภาพที่ 3.11 อุปกรณ์การจำลองผลทางชาร์ดแวร์



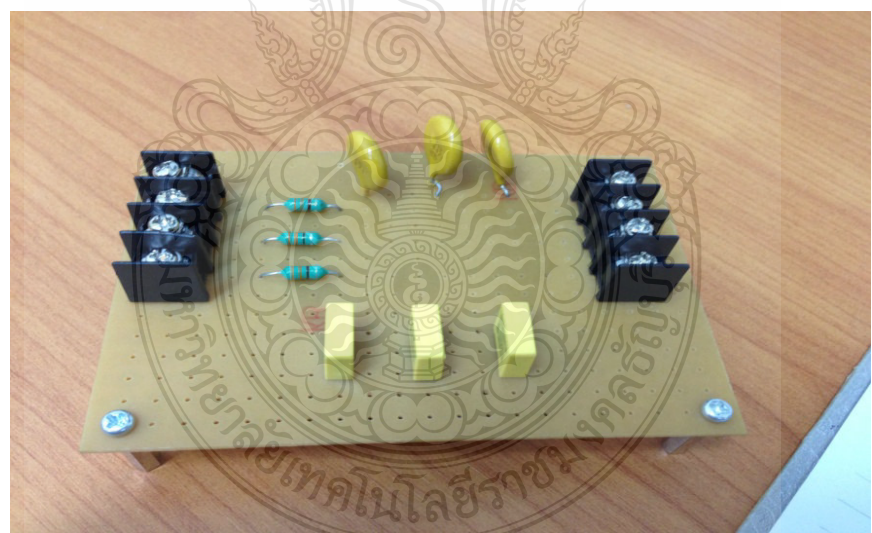
ภาพที่ 3.12 การวัดค่าอิมพีเดนซ์ของมอเตอร์

จากภาพที่ 3.12 แสดงการวัดค่าอิมพีเดนซ์มอเตอร์หนี่ยาน้ำโดยใช้ LCR มิเตอร์รุ่น 8101G ในการวัด และใช้มอเตอร์หนี่ยาน้ำรุ่น SF-JR ขนาด 400 วัตต์ โดยจะวัดอิมพีเดนซ์ที่ยึบกับกราว์ด และที่ยึบกับนิวทรัล เพื่อนำไปแทนลงสมการหาค่าพารามิเตอร์ในการจำลองของตัวมอเตอร์



ภาพที่ 3.13 การใช้อินเวอร์เตอร์ควบคุมมอเตอร์เหนี่ยวนำ

จากภาพที่ 3.13 แสดงการจำลองใช้อินเวอร์เตอร์อุตสาหกรรม รุ่น F720P4 ขนาด 400 วัตต์ 200 โวลต์ ขับมอเตอร์เหนี่ยวนำ โดยการทดลองจะใช้ความถี่ที่ 50 Hz ที่ความถี่สวิตชิ่ง 2 KHz



ภาพที่ 3.14 วงจรพาสซีฟฟิลเตอร์



**ภาพที่ 3.15** การใช้อินเวอร์เตอร์ควบคุมมอเตอร์ในการจำลองและวัดผล

จากภาพที่ 3.14 และ 3.15 แสดงฮาร์ดแวร์ของวงจรพาสซีฟฟิลเตอร์ที่ได้จากการคำนวณดัง สมการข้างต้นและการทดลอง โดยการต่อวงจรพาสซีฟฟิลเตอร์ทางด้านแรงดันด้านออกของ อินเวอร์เตอร์ ที่จะเข้ามอเตอร์เห็นยาน้ำเพื่อลดทอนแรงดันไฟฟ้าเกินช่วงแนะนำที่เกิดขึ้น

### 3.6 สรุปขั้นตอนการดำเนินงาน

ขั้นตอนการวิจัยในวิทยานิพนธ์นี้จะประกอบด้วยวงจรของเคเบิลความถี่สูง และมอเตอร์เห็นยาน้ำที่ถูกขับด้วยอินเวอร์เตอร์ที่ทำการจำลองลงในโปรแกรม MATLAB จำลองผล ซึ่งสามารถ แบ่งการจำลองเป็นการจำลองการเกิดปัญหานะที่ไม่ได้ติดตั้งวงจรฟิลเตอร์ และ หลังการติดตั้งวงจร ฟิลเตอร์เพื่อลดทอนแรงดันเกิน โดยแบ่งตามความยาวของสายเคเบิลเป็น 5 10 และ 15 เมตร โดยจะนำ ผลการจำลองจากโปรแกรมมาเปรียบเทียบกับผลการจำลองจากฮาร์ดแวร์จริงซึ่งมีเงื่อนไขในการ จำลองแบบเดียวกับการจำลองในโปรแกรมคอมพิวเตอร์

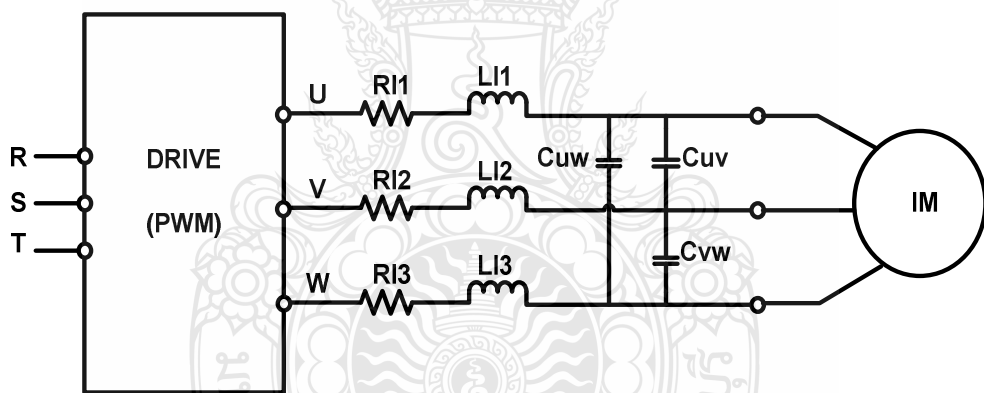
## บทที่ 4

### การจำลองระบบและผลการวิเคราะห์ข้อมูล

ในบทนี้จะกล่าวจะกล่าวถึงผลการจำลองระบบขั้นเคลื่อนมอเตอร์เหนี่ยวนำ ที่มีสายเคเบิลยาว จะแสดงให้เห็นถึงผลของแรงดันที่มีค่าสูงขึ้น เนื่องจากอิมพีเดนซ์ของสาย และผลการจำลองการออกแบบวงจรร่องแบบพาสซีฟในการแก้ปัญหา เพื่อเป็นแนวทางในการแก้ปัญหาต่อไป

#### 4.1 โครงสร้างระบบ

เนื่องจากปัญหาด้านการออกแบบระบบไฟฟ้าในภาคอุตสาหกรรม และเนื่องมาจากการแพร่ระบาดของเชื้อไวรัสโคโรนา จึงทำให้ระบบขั้นเคลื่อนมอเตอร์เหนี่ยวนำในเครื่องจักรจำเป็นต้องมีการควบคุมระยะไกลจึงเป็นเหตุให้เกิดปัญหาแรงดันเกินขึ้น

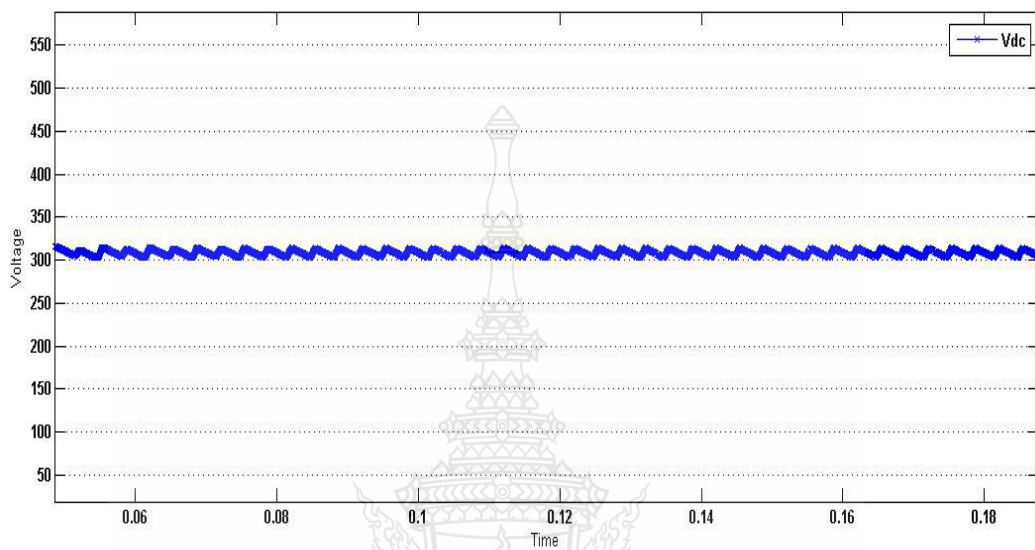


ภาพที่ 4.1 แบบจำลองของระบบขั้นเคลื่อนมอเตอร์เหนี่ยวนำที่มีสายเคเบิลยาว

จากแบบจำลองดังภาพที่ 4.1 ปัจจัยสำคัญที่ทำให้เกิดปัญหาแรงดันเกินที่ข้าวของมอเตอร์ คือ ค่าอิมพีเดนซ์ของสายเคเบิลเนื่องจากการเกิดสภาพวาวェร์โลงดัน โใหมครั่ม และดิฟเฟอเรนเชียล โใหมค์ โดยแรงดันที่เกิดขึ้นที่ข้าวของมอเตอร์จะมีค่าแรงดันอ้างอิงจากแรงดันที่ DC Link ในอินเวอร์เตอร์แบบ PWM ในการขับมอเตอร์

#### 4.2 ผลการจำลองแรงดันที่อินเวอร์เตอร์

จากโครงสร้างของระบบเมื่อนำมาจำลองระบบด้วยโปรแกรม แล้วจะได้ค่าของแรงดันเกินที่ขั่วมอเตอร์ดังแสดงได้ดังผลการจำลองดังนี้



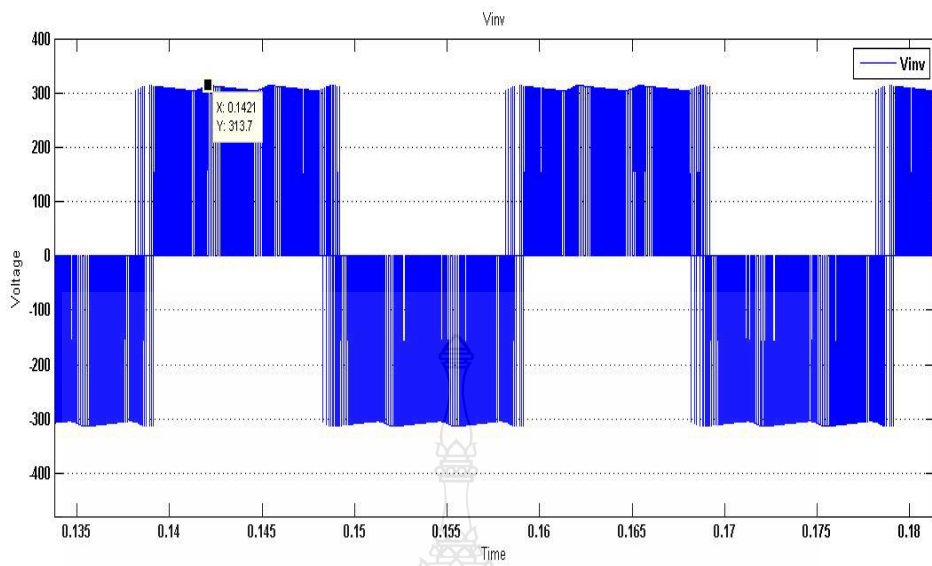
ภาพที่ 4.2 แรงดันไฟฟ้าที่ DC Link ของอินเวอร์เตอร์ในแบบจำลอง

จากภาพที่ 4.2 แสดงถึงแรงดันไฟฟ้าที่ DC Link ของอินเวอร์เตอร์ซึ่งค่าที่ได้เป็นไปตามสมการที่ 4.1 โดยประมาณ 310 โวลต์

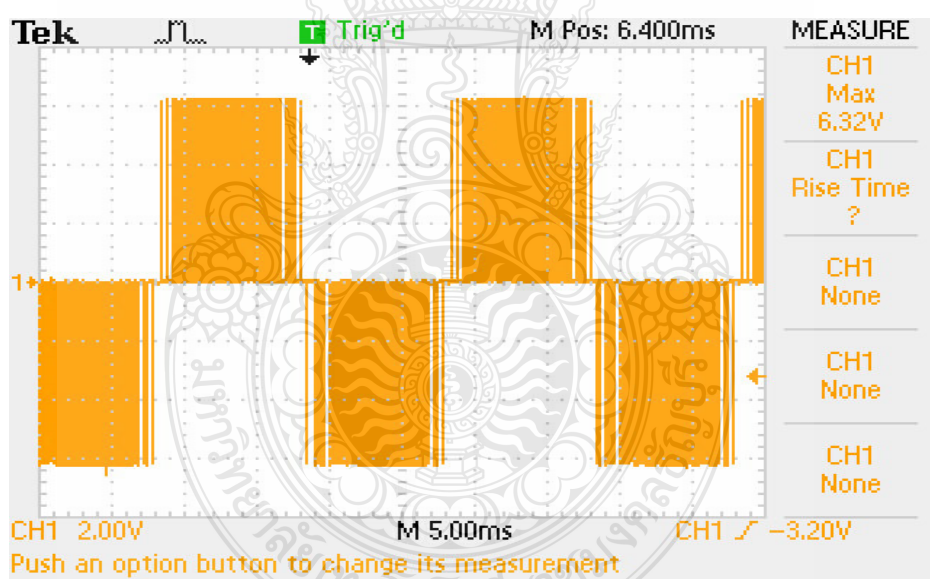
$$V_{dc} = \sqrt{2} \times V_s \quad (4.1)$$

$$V_{dc} = \sqrt{2} \times 220 \quad (4.2)$$

$$V_{dc} = 311 \text{ โวลต์} \quad (4.3)$$



ภาพที่ 4.3 แรงดันไฟฟ้าด้านออกของอินเวอร์เตอร์จากโปรแกรม



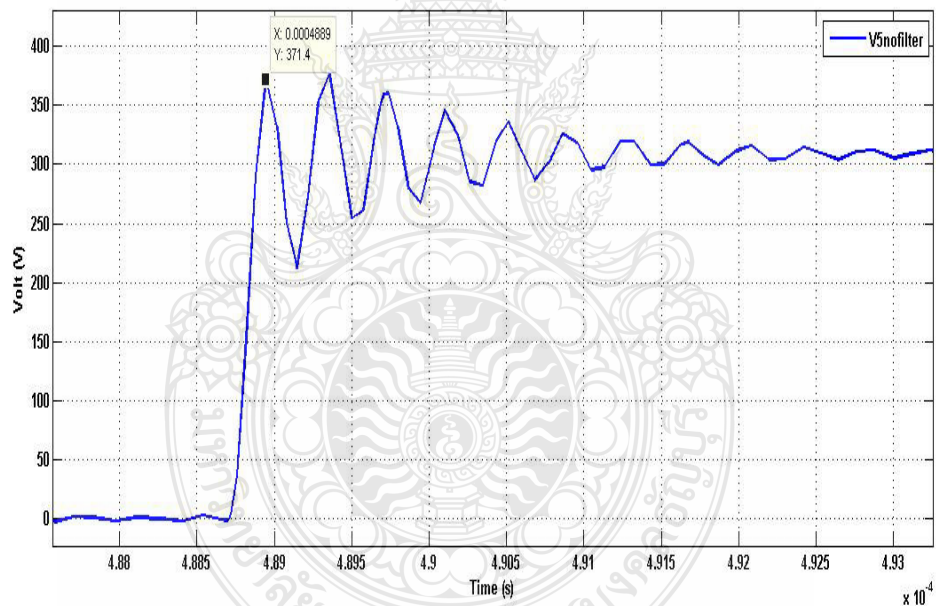
ภาพที่ 4.4 แรงดันไฟฟ้าด้านออกของอินเวอร์เตอร์จากชาร์ดแวร์

จากภาพที่ 4.3 เป็นแรงดันด้านออกของอินเวอร์เตอร์ที่ทำงานแบบ PWM ซึ่งมีแรงดันโดยประมาณ 315 V เทียบกับแรงดันไฟฟ้าที่บัสไฟตรงโดยใช้โปรแกรม MATLAB ในการจำลอง จากภาพที่ 4.4 เป็นแรงดันไฟฟ้าที่ขั้วของอินเวอร์เตอร์ซึ่งเป็นอุปกรณ์ชาร์ดแวร์จริง โดยสามารถอ่านค่าได้จากออสซิลโลสโคปโดยประมาณ 316 V (โดยตั้งค่าออสซิลโลสโคปเท่ากับ 2 V/Div และดิฟเฟอเรน-

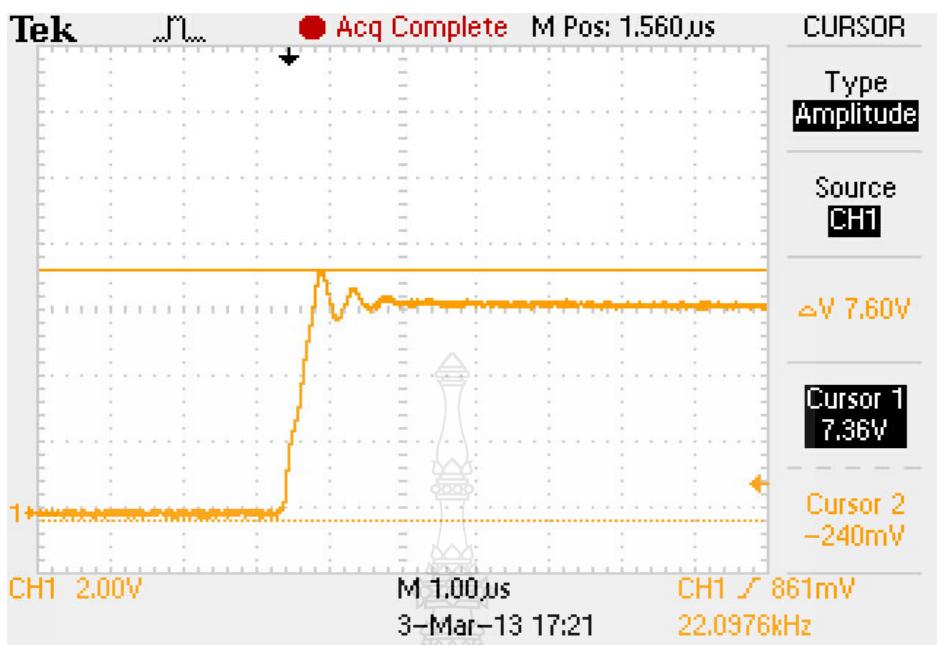
เชี่ยวล โพรบมีตัวคุณแฟคเตอร์เท่ากับ 25) ซึ่งจะมีค่าแรงดันไกล์เคียงกับแรงดันที่บัสไฟตรงของ อินเวอร์เตอร์

#### 4.3 ผลการจำลองแรงดันไฟฟ้าที่ขั้วมองอเตอร์ก่อนติดตั้งวงจรฟิลเตอร์

ในวิทยานิพนธ์เล่มนี้ได้นำเสนอถึงผลการจำลองแรงดันไฟฟ้าเกินช่วงขณะที่เกิดขึ้นที่ขั้ว มองอเตอร์เหนี่ยวนำแบบสามเฟสที่ใช้ในอุตสาหกรรมที่มีสายเคเบิลยาว โดยสามารถแบ่งออกเป็นผล การจำลองในช่วงที่ไม่มีวงจรฟิลเตอร์และมีวงจรฟิลเตอร์เพื่อลดตอนปัญหาที่เกิดขึ้น ซึ่งจะใช้สาย เคเบิลในการจำลองมีความยาวที่ 5 10 และ 15 เมตร จะจำลองลงในโปรแกรม MATLAB เพื่อยืนยัน กับการใช้อุปกรณ์ทางด้านฮาร์ดแวร์วิเคราะห์และศึกษาปัญหาเพื่อนำไปออกแบบวงจรลดตอนแรงดัน ที่ใช้ในการจำลอง

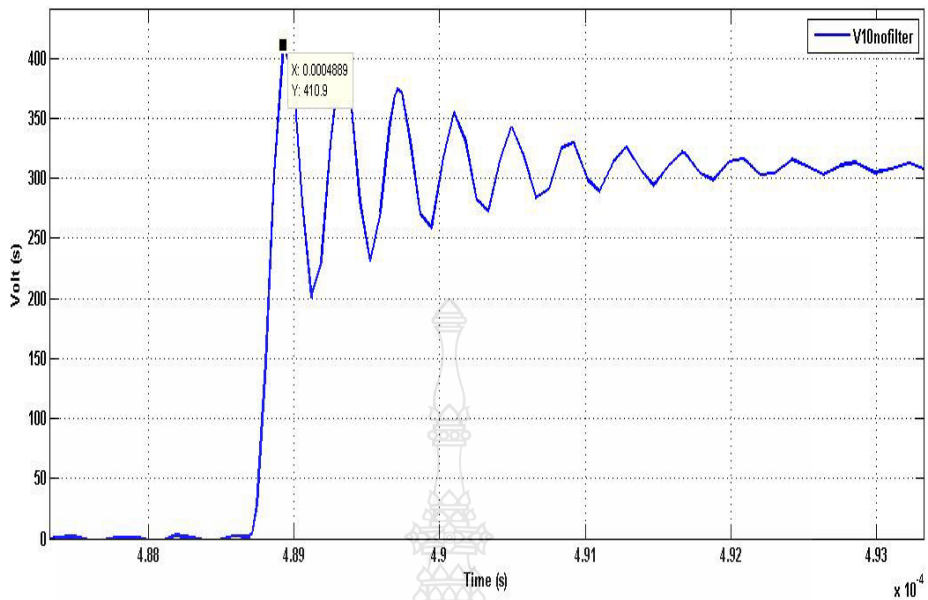


ภาพที่ 4.5 แรงดันที่ขั้วมองอเตอร์ที่มีระยะสายเคเบิล 5 เมตรจากโปรแกรม MATLAB

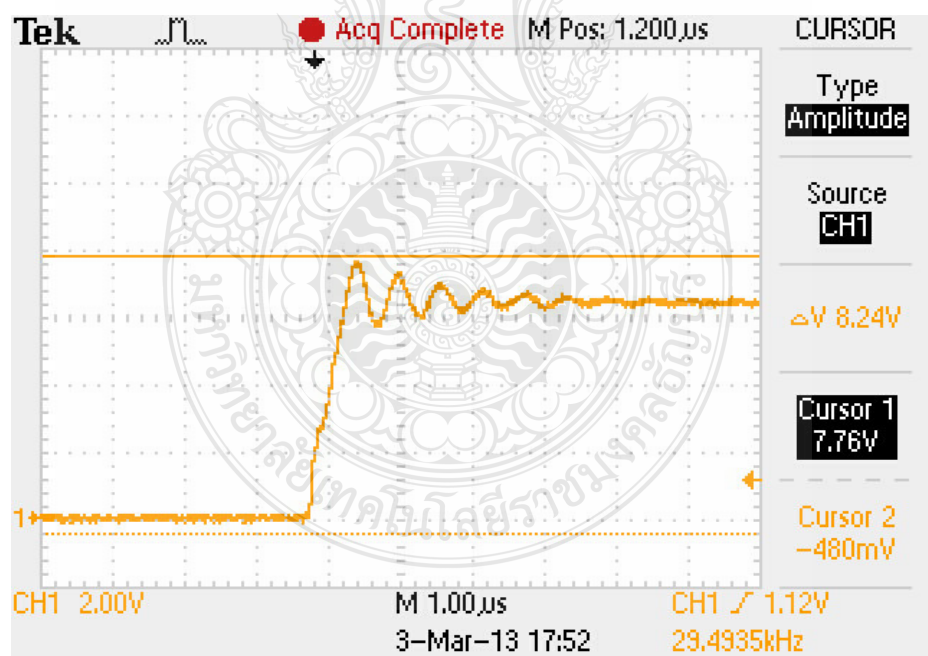


ภาพที่ 4.6 แรงดันที่ขั้วของมอเตอร์ที่มีระยะสายเคเบิล 5 เมตรจากชาร์ดแวร์

ภาพที่ 4.5 และ ภาพที่ 4.6 แสดงลักษณะแรงดันที่ขั้วของมอเตอร์เมื่อสายเคเบิลมีความยาว 5 เมตร ซึ่งค่าแรงดันจากการจำลองด้วยโปรแกรม MATLAB สามารถอ่านค่าได้เท่ากับ 370 V และจากการจำลองทางด้านชาร์ดแวร์สามารถอ่านค่าได้เท่ากับ 380 V โดยตั้งย่านการวัดของ ออสซิลโลสโคปไว้ที่ 2 V/Div และดิฟเฟอเรนเชียลโพรบมีตัวคูณอยู่ที่ 25 จากการเปรียบเทียบพบว่า แรงดันไฟฟ้ากินสูงสุดที่ขั้วมอเตอร์มีค่าของแรงดันใกล้เคียงกัน ซึ่งการจำลองในวิทยานิพนธ์นี้จะมีลักษณะการจำลองมอเตอร์เหมือนกันในสภาวะไม่มีโหลดทั้งในตัวโปรแกรม MATLAB และการจำลองทางชาร์ดแวร์

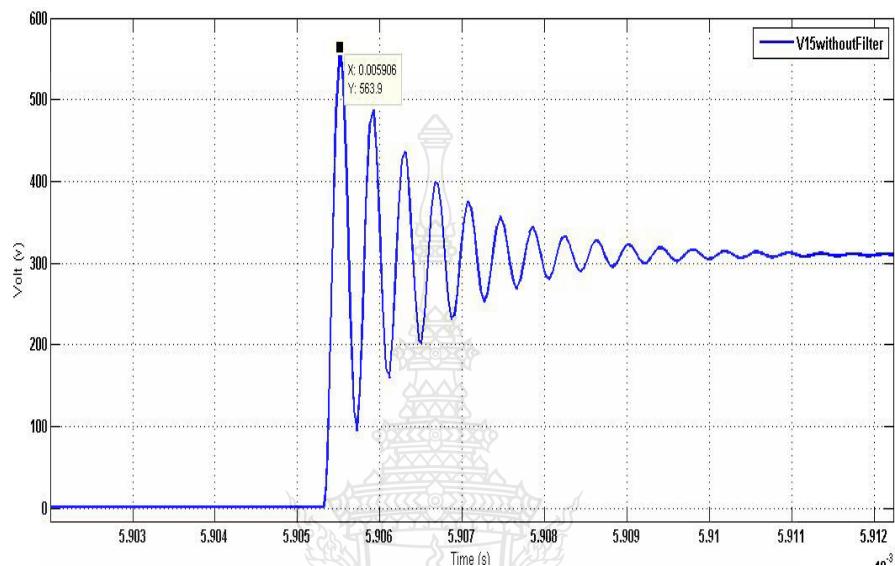


ภาพที่ 4.7 แรงดันที่ข้าวของมอเตอร์ที่มีระยะสายเคเบิล 10 เมตรจากโปรแกรม MATLAB

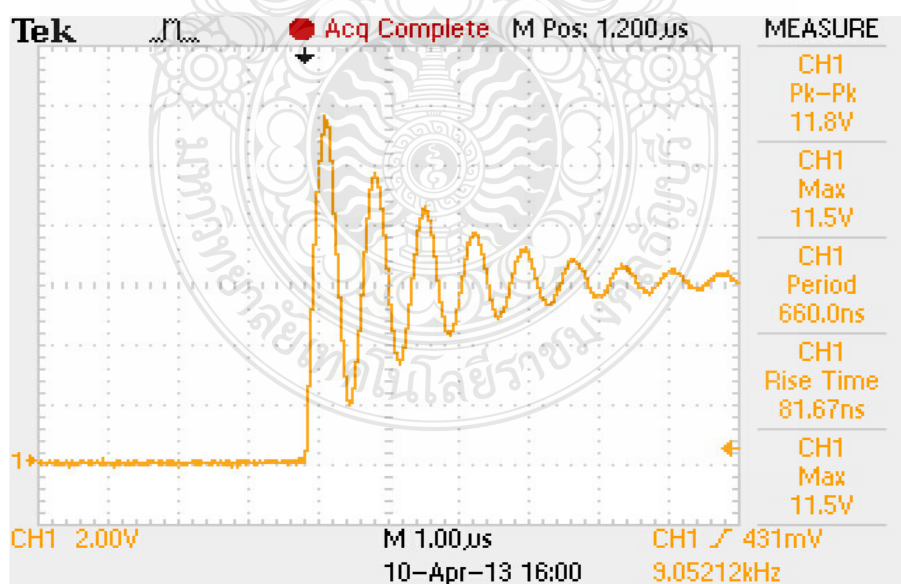


ภาพที่ 4.8 แรงดันที่ข้าวของมอเตอร์ที่มีระยะสายเคเบิล 10 เมตรจากชาร์ดแวร์

จากภาพที่ 4.7 และ 4.8 แสดงแรงดันที่ข้อของมอเตอร์ที่มีระยะของสายเคเบิลยาวเท่ากับ 10 เมตร โดยผลของการจำลองด้วยโปรแกรม MATLAB สามารถอ่านค่าแรงดันได้ 410 V และจากผลการจำลองทางด้านชาร์ดแวร์สามารถอ่านค่าได้ 388 V



ภาพที่ 4.9 แรงดันที่ข้อของมอเตอร์ที่มีระยะสายเคเบิล 15 เมตรจากโปรแกรม MATLAB



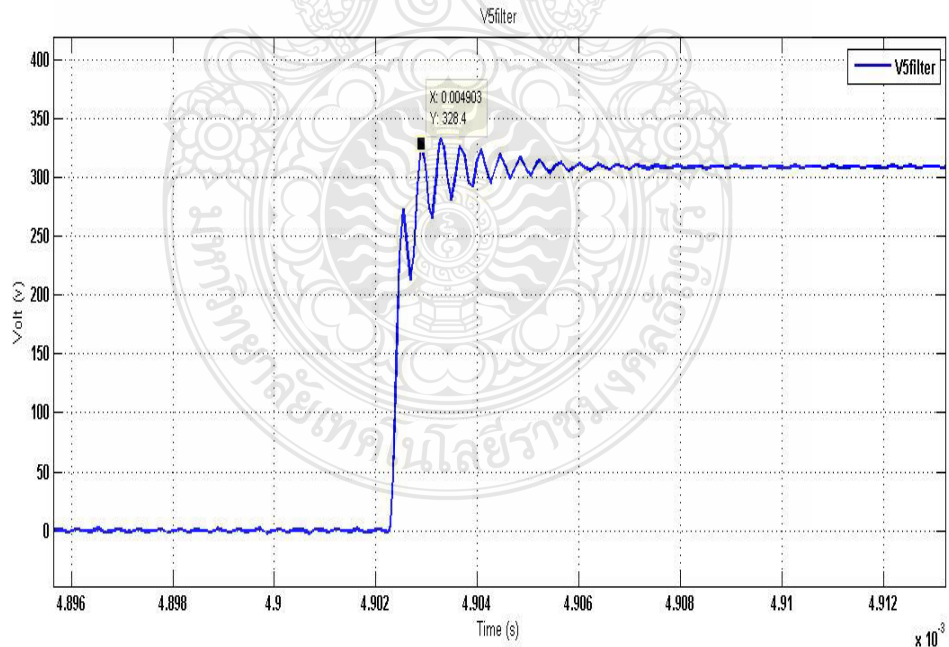
ภาพที่ 4.10 แรงดันที่ข้อของมอเตอร์ที่มีระยะสายเคเบิล 15 เมตรจากชาร์ดแวร์

จากภาพที่ 4.10 และภาพที่ 4.11 เป็นค่าแรงดันไฟฟ้าที่ขั้วของมอเตอร์ที่มีระยะสายเคเบิล 15 เมตร โดยจากการจำลองด้วยโปรแกรม MATLAB สามารถอ่านค่าแรงดันไฟฟ้าที่ขั้วของมอเตอร์ได้ 564 V และจากการจำลองผลด้วยชาร์คแวร์สามารถอ่านค่าแรงดันไฟฟ้าที่ขั้วของมอเตอร์ได้เท่ากับ 575 V

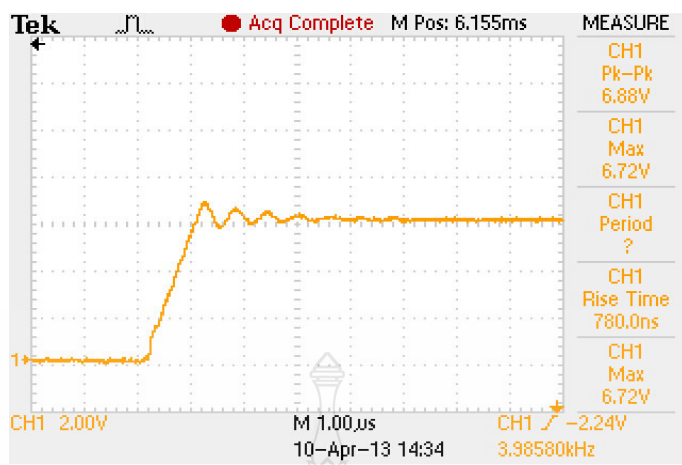
จากการจำลองผลของแรงดันเกินขั้วจะมีที่ขั้วของมอเตอร์ขณะยังไม่ได้ติดตั้งวงจรฟิลเตอร์ พบว่าแรงดันไฟฟ้าจะมีค่าสูงขึ้นตามความยาวของสายเคเบิล และจากการเปรียบเทียบแรงดันระหว่างการจำลองด้วยโปรแกรม MATLAB และด้วยชาร์คแวร์จะพบว่าแรงดันมีลักษณะใกล้เคียงกันเพื่อเป็นการยืนยันความแม่นยำของพารามิเตอร์ที่ใช้ในการจำลอง

#### 4.4 ผลการจำลองแรงดันไฟฟ้าที่ขั้วมอเตอร์หลังติดตั้งวงจรฟิลเตอร์

ในการลดตอนปัญหาแรงดันไฟฟ้าเกินในวิทยานิพนธ์นี้ได้ใช้วงจรฟิลเตอร์ชนิดพาสซีฟเข้ามาช่วยลดตอนปัญหาโดยจะประกอบด้วย Inductor และ Capacitor เป็นอุปกรณ์หลักในวงจรโดยอาศัยหลักการคัดอฟแรงดันซึ่งความถี่ที่เกิดปัญหាអอกไปดังสมการที่ 3.14 ในหัวข้อนี้จะทำการเปรียบเทียบแรงดันระหว่างโปรแกรม MATLAB และอุปกรณ์ทางด้านชาร์คแวร์

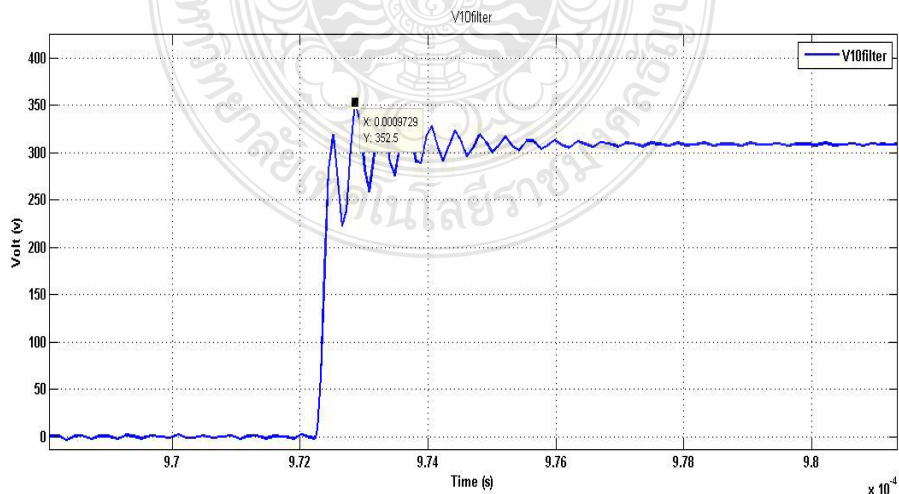


ภาพที่ 4.11 แรงดันที่ขั้วของมอเตอร์ที่มีระยะสายเคเบิล 5 เมตรจากโปรแกรม MATLAB

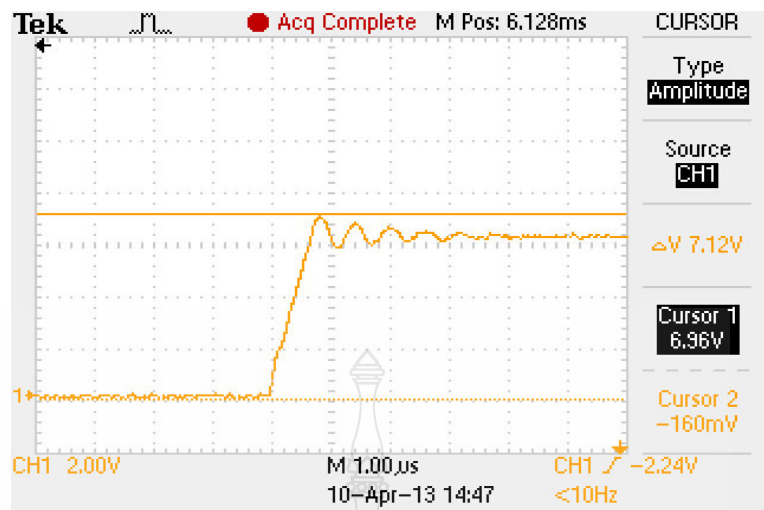


ภาพที่ 4.12 แรงดันที่ข้าวของมอเตอร์ที่มีระยะสายเคเบิล 5 เมตรจากชาร์ดแวร์

จากภาพที่ 4.12 และ 4.13 แสดงแรงดันไฟฟ้าที่ข้าวของมอเตอร์หนึ่งยานำหลังจากการติดตั้งจราฟพาสซีฟฟิลเตอร์ในการลดกอนปัญหาแรงดันเกินช่วงแนะนำที่ความยาวของสายเคเบิลมีความยาว 5 เมตร ซึ่งจากการจำลองผลโดยโปรแกรม MATLAB สามารถอ่านค่าแรงดันได้ 329 V และจากการจำลองทางด้านชาร์ดแวร์หลังติดตั้งจราฟพาสซีฟฟิลเตอร์สามารถอ่านค่าได้ 335 V โดยมีการปรับตั้งค่าออสซิลโลสโคปไปริ 2 V/Div และตัวคุณของดิฟเฟอเรนเชียลโพรบมีค่าเท่ากับ 25 จากการเปรียบเทียบพบว่าแรงดันไฟฟ้าเกินสูงสุดที่ข้าวของมอเตอร์มีค่าของแรงดันใกล้เคียงกัน ซึ่งการจำลองในวิทยานิพนธ์นี้จะมีลักษณะการจำลองมอเตอร์หนึ่งยานำในสภาพไม่มีโหลดทั้งในตัวโปรแกรม MATLAB และการจำลองทางชาร์ดแวร์

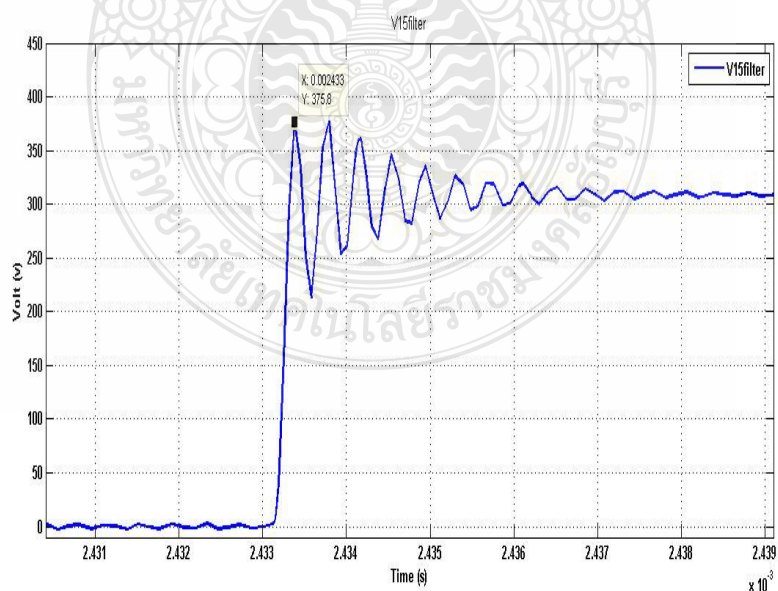


ภาพที่ 4.13 แรงดันที่ข้าวของมอเตอร์ที่มีระยะสายเคเบิล 10 เมตรจากโปรแกรม MATLAB

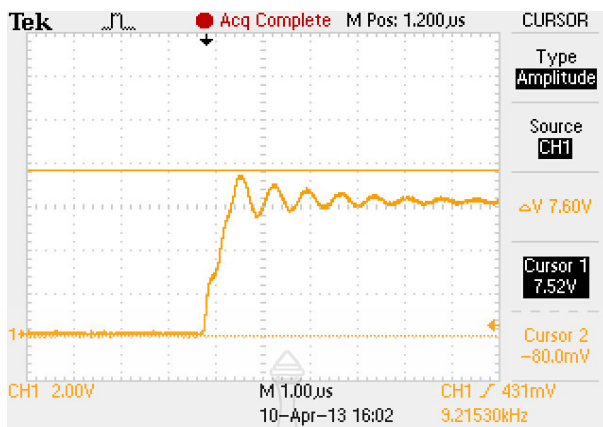


ภาพที่ 4.14 แรงดันที่ข้าวของมอเตอร์ที่มีระยะสายเคเบิล 10 เมตรจากชาร์ดแวร์

จากภาพที่ 4.13 และ 4.14 แสดงแรงดันไฟฟ้าที่ข้าวของมอเตอร์เห็นยานำหลังจากการติดตั้งวงจรพาสซีฟฟิลเตอร์ในการลดตอนปัญหาแรงดันเกินข้าวณฑ์ที่ความยาวของสายเคเบิลมีความยาว 10 เมตร ซึ่งจากการจำลองผลโดยโปรแกรม MATLAB สามารถอ่านค่าแรงดันได้ 350 V และจากการจำลองทางด้านชาร์ดแวร์หลังติดตั้งวงจรพาสซีฟฟิลเตอร์สามารถอ่านค่าได้ 356 V โดยมีการปรับตั้งค่าออสซิลโลสโคปไว้ 2 V/Div และตัวคุณของคิฟเฟอเรนเซียลไพรบมีค่าเท่ากับ 25



ภาพที่ 4.15 แรงดันที่ข้าวของมอเตอร์ที่มีระยะสายเคเบิล 15 เมตรจากโปรแกรม MATLAB



ภาพที่ 4.16 แรงดันที่ขั้วของมอเตอร์ที่มีระยะสายเคเบิล 15 เมตรจากชาร์ดแวร์

จากการที่ 4.15 และ 4.16 แสดงแรงดันไฟฟ้าที่ขั้วของมอเตอร์เห็นยาน้ำหลังจากการติดตั้งจราถซีฟฟิลเตอร์ในการลดทอนปัญหาแรงดันเกินขั้วนะที่ความยาวของสายเคเบิลมีความยาว 10 เมตร ซึ่งจากการจำลองผลโดยโปรแกรม MATLAB สามารถอ่านค่าแรงดันได้ 372 V และจากการจำลองทางด้านชาร์ดแวร์หลังติดตั้งจราถซีฟฟิลเตอร์สามารถอ่านค่าได้ 376 V โดยมีการปรับตั้งค่าออสซิลโลสโคปไว้ 2 V/Div และตัวคุณของดิฟเฟอเรนเชียลโพรบมีค่าเท่ากับ 25

#### 4.5 สรุปผลการจำลอง

จากการจำลองในข้างต้นจะพบว่าค่าแรงดันเกินที่ขั้วของมอเตอร์มีค่าสูงขึ้นตามระยะของสายเคเบิล ซึ่งเป็นองค์ประกอบของการเปลี่ยนแปลงแรงดันต่อเวลาตามความถี่สวิตซ์ซึ่งของอินเวอร์เตอร์ โดยมีค่าอิมพีเดนซ์เป็นตัวส่งผลโดยตรงต่อปัญหาดังกล่าว ในวิทยานิพนธ์ฉบับนี้ได้แสดงถึงการเกิดปัญหาโดยใช้การจำลองทางโปรแกรม MATLAB ซึ่งแบ่งการจำลองเป็นการจำลองในเงื่อนไขที่ยังไม่มีการติดตั้งอุปกรณ์จราถซีฟฟิลเตอร์ในการลดทอนปัญหา จะแบ่งสายเคเบิลออกเป็น 3 ระยะคือ 5 10 และ 15 เมตร เมื่อทราบค่าแรงดันในสภาวะยังไม่ได้ป้องกันแล้วได้ทำการติดตั้งจราถซีฟฟิลเตอร์เพื่อใช้ในการลดทอน โดยเก็บผลการจำลองตามระยะสายเคเบิลตามข้างต้นเมื่อทำการจำลองทางโปรแกรมเรียบร้อย จะทำการเปรียบเทียบผลของการจำลองปัญหา และการแก้ไขกับอุปกรณ์ทางด้านชาร์ดแวร์ ในวิทยานิพนธ์นี้ได้ใช้ชาร์ดแวร์ที่เป็นอุปกรณ์ที่ใช้ในอุตสาหกรรมโดยทำการจำลองปัญหาทั้งก่อนติดตั้งและหลังติดตั้งจราถซีฟฟิลเตอร์เพื่อนำผลที่ได้มาเทียบกับผลของโปรแกรม MATLAB

## บทที่ 5

### สรุปผลการวิจัย การอภิปรายผล และข้อเสนอแนะ

วิทยานิพนธ์นี้ได้นำเสนอการวิเคราะห์ และออกแบบการลดตอนปัญหาการเกิดแรงดันไฟฟ้าเกิน ที่ข้อมูลของมอเตอร์เนี่ยวนำซึ่งส่งผลให้เกิดความเสียหายต่อมอเตอร์ เพราะเกิดแรงดันเกินกว่าที่จำนวนของมอเตอร์รับได้ เมื่อนานเข้าจะทำให้จำนวนของมอเตอร์มีความเสียหาย และเนื่องจากสภาพการเกิดแรงดันเกินยังส่งผลทำให้เกิดกระแสหาร์ตประจุไฟฟ้า เนื่องจากอิมพีเดนซ์ของสายส่งผลให้อุณหภูมิภายในอินเวอร์เตอร์มีค่าสูง และอาจก่อให้เกิดความเสียหายต่ออินเวอร์เตอร์ได้

การจำลองในโปรแกรม MATLAB จะทำการเปรียบเทียบแบบจำลองที่มีสายเคเบิลยาวซึ่งในแบบการจำลองจะใช้อินเวอร์เตอร์และมอเตอร์ขนาด 400 W 200 V 3 เฟส 2 A ใช้สายเคเบิลขนาด 2.5 mm. ยาว 5 เมตร 10 เมตร และ 15 เมตร ตามลำดับ โดยใช้ LCR Meter ในการเข้ามาช่วยในการหาค่าพารามิเตอร์ของอุปกรณ์ในการจำลองซึ่งจะมีรูปแบบของการจำลองแบ่งเป็นก่อนติดตั้งวงจรฟิลเตอร์และหลังติดตั้งวงจรฟิลเตอร์ นำค่าที่ได้มาเปรียบเทียบการจำลองด้วยอาร์ดแวร์จริงที่ใช้ในอุตสาหกรรม โดยมีเงื่อนไขในการจำลองลักษณะเดียวกันกับการจำลองทาง โปรแกรมคอมพิวเตอร์

#### 5.1 สรุปผลการวิจัย

จากการจำลองผลของแรงดันไฟฟ้าเกินที่ข้อมูลมอเตอร์พบว่าแรงดันไฟฟ้าที่เกิดขึ้นที่ข้อมูลมอเตอร์มีลักษณะเป็นชิ้ร์จแรงดันขึ้นอาจมีค่าถึงสองเท่าของแรงดันไฟฟ้าที่ DC Link และปริมาณแรงดันที่เกิดขึ้นมีนัยสำคัญกับค่าอิมพีเดนซ์ของสายเคเบิลเนื่องจาก โดยปกติอุปกรณ์ทางด้านอินเวอร์เตอร์และสายเคเบิลพร้อมมอเตอร์มีการเกิดแรงดันคอมมอนโหนดโดยเฉพาะถ้าสายเคเบิลมีระยะทางที่ยาวจะมีอิมพีเดนซ์สายประจุสร้างแรงดันเกินขึ้นมาดังแสดงได้จากการจำลองในข้างต้นในการออกแบบการทดลองนี้ยังพบว่าความถี่ที่เป็นปัจจัยสำคัญเช่นกัน

ผลการจำลองในวิทยานิพนธ์ฉบับนี้ในสภาวะก่อนการติดตั้งวงจรพาสซีฟฟิลเตอร์ในการลดตอนปัญหา โดยทำการเปรียบเทียบแรงดันที่เกิดขึ้นที่ข้อมูลมอเตอร์ระหว่างการใช้โปรแกรมคอมพิวเตอร์และการวัดค่าจริงจากอุปกรณ์อาร์ดแวร์ที่ใช้ในอุตสาหกรรม ซึ่งค่าแรงดันไฟฟ้าที่ได้จากการจำลองในระยะสายเคเบิลยาว 5 เมตร ด้วยโปรแกรมมีค่าเท่ากับ 370 V จากอาร์ดแวร์มีค่าเท่ากับ 380 V ในระยะสายเคเบิลยาว 10 เมตร การจำลองทางด้านโปรแกรมมีค่าเท่ากับ 410 V จากอาร์ดแวร์มีค่าเท่ากับ 388 V และการจำลองในระยะสายเคเบิลมีความยาว 15 เมตร ด้วยโปรแกรมมีค่าเท่ากับ

564 V และจากการจำลองด้วยอุปกรณ์ทางด้านฮาร์ดแวร์มีค่าเท่ากับ 575 V จากผลการจำลองดังกล่าว จะเห็นได้ว่าค่าแรงดันระหว่างโปรแกรมและฮาร์ดแวร์มีค่าใกล้เคียงกัน โดยมีอัตราแรงดันต่างกันไม่เกินร้อยละ 10 ของแรงดันทั้งสอง

ผลการจำลองในวิทยานิพนธ์ฉบับนี้ในสภาวะหลังการติดตั้งวงจรพาสซีฟฟิลเตอร์ในการลดthonปัญหา เมื่อได้ค่าแรงดันจากกรณีการจำลองบนก่อนติดตั้งวงจรพาสซีฟฟิลเตอร์ได้มีการนำค่าที่ได้มาวิเคราะห์หาค่าพารามิตอร์ของวงจรพาสซีฟฟิลเตอร์ที่ยอมให้ความถี่ต่ำกว่าความถี่คัดอฟผ่านไปได้ โดยจะประกอบด้วยค่าของตัวเหนี่ยวนำที่มีค่าเท่ากับ  $0.056 \text{ mH}$  และค่าของตัวเก็บประจุ  $4.7 \text{ nF}$  และนำมาติดตั้งทางด้านแรงดันด้านนอกของอินเวอร์เตอร์ในระยะที่สายเคเบิลมีความยาวเท่ากับ 5 เมตรจากโปรแกรมสามารถอ่านค่าได้ 329 V จากการจำลองด้วยอุปกรณ์ทางด้านฮาร์ดแวร์ อ่านค่าได้ 335 V ที่ความยาวของสายเคเบิลเท่ากับ 10 เมตร จากการจำลองทางโปรแกรมสามารถวัดค่าได้ 350 V จากการจำลองด้วยอุปกรณ์ทางด้านฮาร์ดแวร์สามารถอ่านค่าได้ 356 V และที่ความยาวสายเคเบิลมีค่าเท่ากับ 15 เมตร จากการจำลองด้วยโปรแกรมสามารถวัดค่าได้ 372 V และจากการจำลองผลด้วยฮาร์ดแวร์สามารถวัดค่าได้ 376 V ค่าความคลาดเคลื่อนของแรงดันไฟฟ้าทั้งสองการจำลองมีค่าไม่เกินร้อยละ 10 จะเห็นได้ว่าจากการจำลองเมื่อติดตั้งวงจรกรองแบบพาสซีฟฟิลเตอร์จะทำให้แรงดันไฟฟ้าเกินช่วงแนะนำที่ข้างบนของเตอร์มีค่าลดลงสูงสุดถึงร้อยละ 65

เพื่อเป็นแนวทางในการพัฒนาการแก้ปัญหาต่อไปควรมีการศึกษาวงจรกรองชนิดอื่น ๆ และเก็บข้อมูลจากหน้างานจริง เพราะสภาวะงานจริงจะมีค่าตัวแปรอื่นเข้ามาร่วม เช่น ระบบกราวด์ เป็นต้น หรืออาจทำการวิเคราะห์เชิงเปรียบเทียบวิธีการแก้ปัญการะหว่างการแก้ด้วยวงจรกรองหรือ การแก้ด้วยเทคนิคควบคุมการทำงานของอินเวอร์เตอร์ว่าอย่างไหนเหมาะสมกับการใช้งานกว่ากันทั้งทางด้านทางเศรษฐศาสตร์ และผลลัพธ์ที่ยอมรับได้

## 5.2 ข้อเสนอแนะ

5.2.1 ส่วนของการจำลองการทำงานโดยใช้โปรแกรม MATLAB จำเป็นต้องใช้พารามิตอร์ที่ได้จากการวัดฮาร์ดแวร์ที่มีค่าค่อนข้างแม่นยำเพื่อเวลาจำลองเปรียบเทียบกันจะได้มีค่าความผิดเพี้ยนต่ำที่สุด

5.2.2 ส่วนของฮาร์ดแวร์เครื่องมือวัดจำเป็นต้องใช้เครื่องมือวัดที่ทนแรงดันได้สูงเนื่องจากสภาวะช่วงแนะนำของแรงดันมีค่าสูง

5.2.3 การค้นคว้าหาข้อมูลในการทำวิจัยส่วนใหญ่จะมีแต่บทความจากต่างประเทศซึ่งจำเป็นต้องวิเคราะห์ข้อมูลให้ละเอียดและเช็คอุปกรณ์ในประเทศของเราว่าแตกต่างกันอย่างไร

5.2.4 การพัฒนาต่อยอดควรหาอุปกรณ์และเชื้ตอุปกรณ์ว่าใช้ขนาดใดเนื่องจากยกตัวอย่าง เช่น สายไฟถ้ามีการเปรียบเทียบควรจะวัดค่าต่างๆ ที่ความยาวนั้นให้ครบก่อน ไม่เช่นนั้นอาจต้องหาใหม่และจะสิ้นเปลืองงบประมาณ

5.2.5 ในปัจจุบันได้มีการกำหนดมาตรฐานของแรงดันไฟฟ้าเกินของแต่ละอุปกรณ์ไฟฟ้า ขึ้นมาควรจะนำข้อมูลทางด้านนี้มาประกอบการวิจัยด้วย

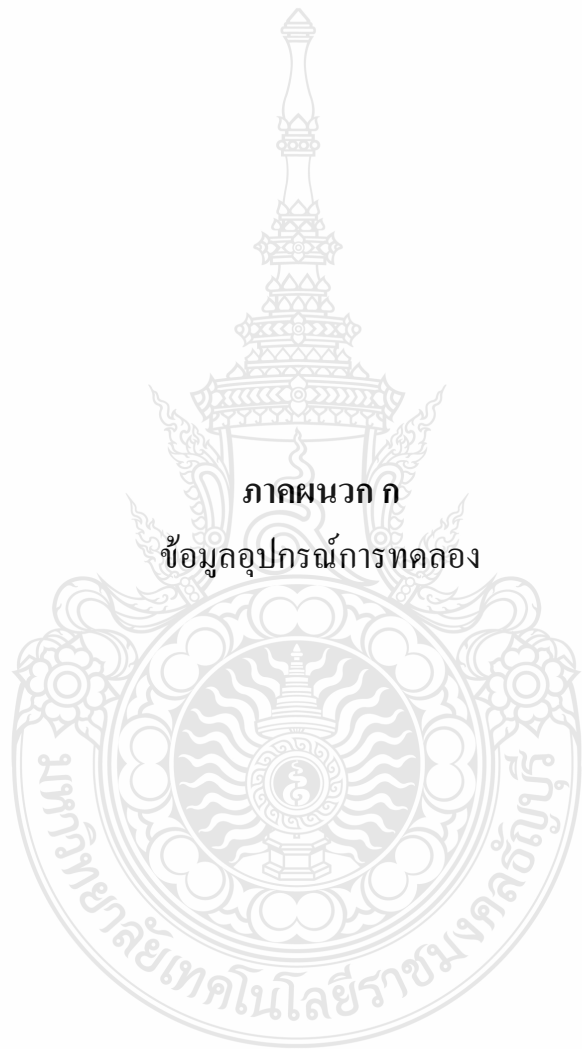


## รายการอ้างอิง

- [1] วีระเชษฐ์ ขันเงิน และวุฒิพล ชาราชีรศรമ្ព័, อីឡើកទរនិកសំកាន់, ក្រែងទី 2, ក្រុងពេទ: ខេក. វ.ខ. ព្រឹនគិត, 2547. หน៊ា 9, 327.
- [2] S. Amarir, and K. Al-Haddad, “A Modeling Technique to Analyze the Impact of Inverter Supply Voltage and Cable Length on Industrial Motor-Drives”, IEEE Transactions on Power Electronics, Vol. 23, No. 2, March 2008, pp. 753-762.
- [3] M. Saito, T. Shimizu, and M. Nakamura, “A Novel Motor Surge Voltage Suppression Method with Surge Energy Regeneration”, IEEE Energy Conversion Congress and Exposition, Sep 2009, pp. 1309-1316.
- [4] វិរាយធម្ម័ណ្ឌ ប៉ានេង និងកណ្តាប, អីឡើកទរនិកសំកាន់, ខេក. វ.ខ. ព្រឹនគិត, 2547. លេខ 424-455.
- [5] T. Shimizu, M. Saito, and M. Nakamura, “Calculation of Motor Surge Voltage under the use of a Surge Suppression Cable”, 13<sup>th</sup> European Conference on Power Electronics and Application, Sep 2009, pp. 1-10.
- [6] N. Aoki, K. Satoh, and A. Nabae, “Damping Circuit of Suppress Motor Terminal Overvoltage and Ringing in PWM Inverter-Fed AC Motor Drive Systems with Long Motor Leads”, IEEE Transaction on Industry Applications, Vol. 35, No. 5, September/October 1999, pp. 1014-1020.
- [7] B. Basavaraja, and D.V.S.S.Siva Sarma, “Application problem of PWM AC drives due to long cable length and high dv/dt”, International Conference on Power Electronics, Drives and Energy Systems, Dec 2006, pp. 1-6.
- [8] A.V. Jouanne, D. A. Rendusara, P. N. Enjeti, and J.W. Gray, “Filtering Techniques to Minimize the Effect of Long Motor Leads on PWM Inverter-Fed AC Motor Drive Systems”, IEEE Transaction on Industry Applications, Vol. 32, No. 4, July/August 1996, pp. 919-926.
- [9] K. Obata, and R. Takeuchi, “Methods to Decrease Turn-to-Turn Voltage of Motors Fed by Inverter Drives”, IEEE Power Engineering Society General Meeting, June 2007, pp. 1-4.

- [10] B. Basavaraja, and D.V.S.S.Siva Sarma, “Modeling, Simulation and Experimental Analysis of Transient Terminal Over voltage in PWM-Inverter fed Induction Motors”, IEEE Power Engineering Society General Meeting, June 2007, pp. 1-8.
- [11] J. Liu, P. Pillay, and H. Douglas, “Wavelet Modeling of Motor Drives Applied to the Calculation of Motor Terminal Overvoltages”, IEEE Transactions on Industry Electronics, Vol. 51, No. 1, Feb 2004, pp. 61-66.
- [12] เพ็ญนภา ไพรожน์อมรชัย, “วิจารณ์องค์ความรู้ด้านออกแบบไสบอร์ดชนิดใหม่สำหรับลดทอนผลกระทบจากแรงดันไฟฟ้าร่วมความถี่สูงในระบบขับเคลื่อนมอเตอร์ด้วยอินเวอร์เตอร์แบบพีดับเบิลยูเอ็ม”, วิทยานิพนธ์ปริญญาโท สาขาวิชาวิศวกรรมไฟฟ้า คณะวิศวกรรม จุฬาลงกรณ์มหาวิทยาลัย, 2552
- [13] ประสูติ เดชสุวรรณ, “การควบคุมอินดักชั่นด้วยเทคนิคเวลาเตอร์มอดดูเลชั่น โดยใช้ FPGA”, วิทยานิพนธ์ปริญญาโท สาขาวิชาวิศวกรรมอิเล็กทรอนิกส์ สถาบันเทคโนโลยีพระจอมเกล้าเจ้าคุณทหารลาดกระบัง, 2549

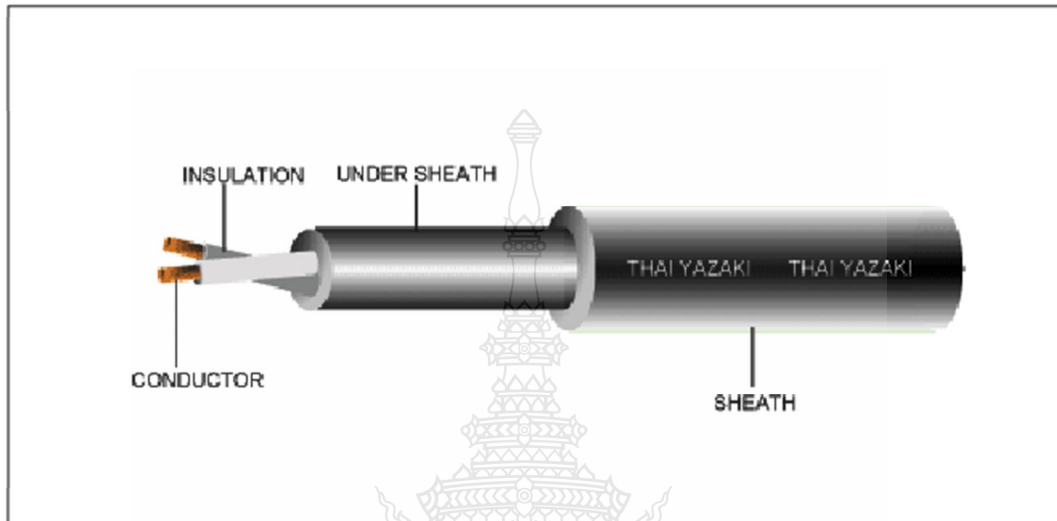




## 6.1 Thai-Yazaki NYY, MEA TYPE C

### NYY, MEA TYPE C

750 V 70 °C PVC INSULATED AND DOUBLE SHEATHED ROUND TYPE



### CABLE STRUCTURE

<b>NUMBER OF CORE</b>	: Up to 4 cores
<b>CONDUCTOR</b>	: Solid and stranded annealed copper, sizes 1 mm <sup>2</sup> up to 500 mm <sup>2</sup>
<b>INSULATION</b>	: Multi core 1 mm <sup>2</sup> up 300 mm <sup>2</sup> : PVC Color: Single core – Black 2 cores – Light gray and Black 3 cores – Light gray, Black and Red 4 cores – Light gray, Black, Red and Blue
<b>SHEATH</b>	: PVC Color: Black
<b>CLASSIFICATION</b>	: Maximum conductor temperature 70 °C Circuit voltage not exceeding 750 volts
<b>TESTING VOLTAGE</b>	: 2,500 volts
<b>REFERENCE</b>	: TIS 11 Table 6 (Single core) TIS 11 -2531, Table 7 (Multi core)

## NYY, MEA TYPE C (SINGLE CORE)

TIS 11-2531  
TABLE 6

Nominal Cross Sectional area (mm <sup>2</sup> )	Number and diameter of wire (No./mm)	Insulation thickness (mm)	Sheath thickness (mm)	Max. Overall diameter (mm)	Minimum insulation resistance at 70 °C (MΩ-Km)	Maximum continuous current rating in free air (Ampere)		Cable weight (approx.) (Kg/Km)	Standard length (m)
						Free air	Under air		
1	1 / 1.13	1.5	1.8	8.6	0.0207	17	22	80	100/C
1	7 / 0.43	1.5	1.8	8.8	0.0200	17	22	80	100/C
1.5	1 / 1.38	1.5	1.8	9.0	0.0184	21	27	85	100/C
1.5	7 / 0.53	1.5	1.8	9.2	0.0175	21	27	90	100/C
2.5	1 / 1.78	1.5	1.8	9.4	0.0157	28	36	100	100/C
2.5	7 / 0.67	1.5	1.8	9.8	0.0146	28	36	110	100/C
4	1 / 2.25	1.5	1.8	10.0	0.0135	38	47	120	100/C
4	7 / 0.85	1.5	1.8	10.5	0.0124	38	47	130	100/C
6	7 / 1.04	1.5	1.8	11.0	0.0107	49	60	160	100/C
10	7 / 1.35	1.5	1.8	12.0	0.0088	67	81	210	500/D
16	7 / 1.70	1.5	1.8	13.0	0.0074	89	105	280	500/D
25	7 / 2.14	1.5	1.8	14.5	0.0061	118	136	390	500/D
35	19 / 1.53	1.5	1.8	16.0	0.0053	146	165	490	500/D
50	19 / 1.78	1.5	1.8	17.0	0.0046	177	196	600	500/D
70	19 / 2.14	1.5	1.8	19.0	0.0039	222	241	850	500/D
95	19 / 2.52	1.7	1.8	21.5	0.0038	274	289	1,100	500/D
120	37 / 2.03	1.7	1.8	23.0	0.0034	318	330	1,400	500/D
150	37 / 2.25	1.9	2.0	26.0	0.0034	362	370	1,700	500/D
185	37 / 2.52	2.1	2.0	28.0	0.0034	416	419	2,100	500/D
240	61 / 2.25	2.3	2.2	31.5	0.0033	492	486	2,700	500/D
300	61 / 2.52	2.5	2.2	35.0	0.0032	565	551	3,400	500/D
400	61 / 2.85	2.7	2.2	38.5	0.0030	655	629	4,300	500/D
500	61 / 3.20	3.1	2.4	43.0	0.0031	757	717	5,400	500/D

TISI Permitted to increase the maximum overall diameter by 5 %

C: Packing in coil.

D: Packing in drum.

## NYY, MEA TYPE C

TIS 11-2531  
TABLE 7

Number of core	Nominal Cross Section area (mm <sup>2</sup> )	Number and diameter of wire (No./mm)	Insulation thickness (mm)	Under sheath thickness (mm)	Sheath thickness (mm)	Max. overall diameter (mm)	Minimum insulation resistance at 70 °C (MΩ-Km)	Maximum continuous current rating in free air (Ampere)		Cable weight (approx.) (Kg/Km)	Standard length (m)
								Free air	Under ground		
2	1	1 / 1.13	0.8	0.8	1.8	12.0	0.0141	15	21	160	100/C
	1	7 / 0.43	0.8	0.8	1.8	12.5	0.0135	15	21	160	100/C
	1.5	1 / 1.38	0.8	0.8	1.8	12.5	0.0123	19	27	170	100/C
	1.5	7 / 0.53	0.8	0.8	1.8	13.0	0.0116	19	27	190	100/C
	2.5	1 / 1.78	0.8	0.8	1.8	13.5	0.0102	25	35	210	100/C
	2.5	7 / 0.67	0.8	0.8	1.8	14.0	0.0093	25	35	230	100/C
	4	1 / 2.25	0.9	0.8	1.8	15.0	0.0094	33	47	270	100/C
	4	7 / 0.85	0.9	0.8	1.8	15.5	0.0085	33	47	290	100/C
	6	7 / 1.04	0.9	0.8	1.8	17.0	0.0073	43	60	360	100/C
	10	7 / 1.35	1.1	0.8	1.8	19.5	0.0069	60	81	550	500/D
	16	7 / 1.70	1.1	0.8	2.0	22.5	0.0057	80	105	700	500/D
	25	7 / 2.14	1.3	1.2	2.0	27.0	0.0054	106	136	1,100	500/D
	35	19 / 1.53	1.3	1.2	2.0	29.5	0.0047	130	165	1,400	500/D
	50	19 / 1.78	1.5	1.2	2.2	33.5	0.0046	157	196	1,800	500/D
	70	19 / 2.14	1.5	1.5	2.2	38.0	0.0039	195	240	2,400	500/D
	95	19 / 2.52	1.7	1.5	2.2	42.5	0.0038	239	290	3,200	500/D
	120	37 / 2.03	1.7	1.5	2.4	46.5	0.0034	280	332	3,900	500/D
	150	37 / 2.25	1.9	1.8	2.6	52.0	0.0034	320	370	4,800	500/D
	185	37 / 2.52	2.1	1.8	2.8	57.0	0.0034	370	419	6,000	500/D
	240	61 / 2.25	2.3	2.0	3.0	64.0	0.0033	440	484	7,500	500/D
	300	61 / 2.52	2.5	2.0	3.2	70.5	0.0032	507	547	9,500	500/D
3	1	1 / 1.13	0.8	0.8	1.8	12.5	0.0141	12	18	180	100/C
	1	7 / 0.43	0.8	0.8	1.8	13.0	0.0135	12	18	180	100/C
	1.5	1 / 1.38	0.8	0.8	1.8	13.0	0.0123	16	22	200	100/C
	1.5	7 / 0.53	0.8	0.8	1.8	13.5	0.0116	16	22	210	100/C
	2.5	1 / 1.78	0.8	0.8	1.8	14.0	0.0102	21	30	240	100/C
	2.5	7 / 0.67	0.8	0.8	1.8	15.0	0.0093	21	30	260	100/C
	4	1 / 2.25	0.9	0.8	1.8	15.5	0.0094	28	39	320	100/C
	4	7 / 0.85	0.9	0.8	1.8	16.5	0.0085	28	39	350	100/C
	6	7 / 1.04	0.9	0.8	1.8	18.0	0.0073	37	50	440	100/C
	10	7 / 1.35	1.1	0.8	1.8	20.5	0.0069	50	68	650	500/D
	16	7 / 1.70	1.1	1.2	2.0	24.5	0.0057	67	87	950	500/D
	25	7 / 2.14	1.3	1.2	2.0	28.5	0.0054	89	113	1,400	500/D
	35	19 / 1.53	1.3	1.2	2.0	31.5	0.0047	109	137	1,700	500/D
	50	19 / 1.78	1.5	1.5	2.2	36.0	0.0046	131	162	2,300	500/D
	70	19 / 2.14	1.5	1.5	2.2	40.5	0.0039	163	200	3,100	500/D
	95	19 / 2.52	1.7	1.5	2.4	46.0	0.0038	202	240	4,200	500/D
	120	37 / 2.03	1.7	1.8	2.6	50.5	0.0034	235	273	5,000	500/D
	150	37 / 2.25	1.9	1.8	2.8	56.0	0.0034	269	306	6,500	500/D
	185	37 / 2.52	2.1	2.0	3.0	61.5	0.0034	311	346	8,000	500/D
	240	61 / 2.25	2.3	2.0	3.2	69.0	0.0033	371	402	10,000	500/D
	300	61 / 2.52	2.5	2.2	3.4	76.0	0.0032	427	453	12,500	500/D

**NYY, MEA TYPE C**

**TIS 11-2531**  
**TABLE 7**

Number of core	Nominal Cross Sectional area (mm <sup>2</sup> )	Number and diameter of wire (No./mm)	Insula- tion thickness (mm)	Under sheath thickness (mm)	Sheath thickness (mm)	Max. overall diameter (mm)	Minimum insulation resistance at 70 °C (MΩ-Km)	Maximum continuous current rating in free air (Ampere)		Cable weight (approx.) (Kg/Km)	Standard length (m)
								Free air	Under ground		
4	1	1 / 1.13	0.8	0.8	1.8	13.5	0.0141	11	16	200	100/C
	1	7 / 0.43	0.8	0.8	1.8	14.0	0.0135	11	16	210	100/C
	1.5	1 / 1.38	0.8	0.8	1.8	14.0	0.0123	14	20	230	100/C
	1.5	7 / 0.53	0.8	0.8	1.8	14.5	0.0116	14	20	240	100/C
	2.5	1 / 1.78	0.8	0.8	1.8	15.0	0.0102	19	27	290	100/C
	2.5	7 / 0.67	0.8	0.8	1.8	16.0	0.0093	19	27	310	100/C
	4	1 / 2.25	0.9	0.8	1.8	17.0	0.0094	25	35	390	100/C
	4	7 / 0.85	0.9	0.8	1.8	17.5	0.0085	25	35	410	100/C
	6	7 / 1.04	0.9	0.8	1.8	19.0	0.0073	33	45	550	500/D
	10	7 / 1.35	1.1	0.8	2.0	23.0	0.0069	45	60	800	500/D
	16	7 / 1.70	1.1	1.2	2.0	26.5	0.0057	60	77	1,100	500/D
	25	7 / 2.14	1.3	1.2	2.0	31.0	0.0054	79	100	1,700	500/D
	35	19 / 1.53	1.3	1.5	2.2	35.0	0.0047	97	120	2,200	500/D
	50	19 / 1.78	1.5	1.5	2.2	39.5	0.0046	117	144	2,900	500/D
	70	19 / 2.14	1.5	1.5	2.4	44.5	0.0039	147	176	4,000	500/D
	95	19 / 2.52	1.7	1.8	2.6	57.5	0.0038	182	211	5,500	500/D
	120	37 / 2.03	1.7	1.8	2.8	56.0	0.0034	213	241	6,500	500/D
	150	37 / 2.25	1.9	2.0	3.0	62.0	0.0034	243	270	8,000	500/D
	185	37 / 2.52	2.1	2.0	3.2	68.0	0.0034	282	306	10,000	500/D
	240	61 / 2.25	2.3	2.2	3.4	76.5	0.0033	335	354	13,000	500/D
	300	61 / 2.52	2.5	2.2	3.8	85.0	0.0032	385	399	16,000	500/D

TISI Permitted to increase the maximum overall diameter by 5 %

\* REMARK : Special protection can be produced,

C: Packing in coil.

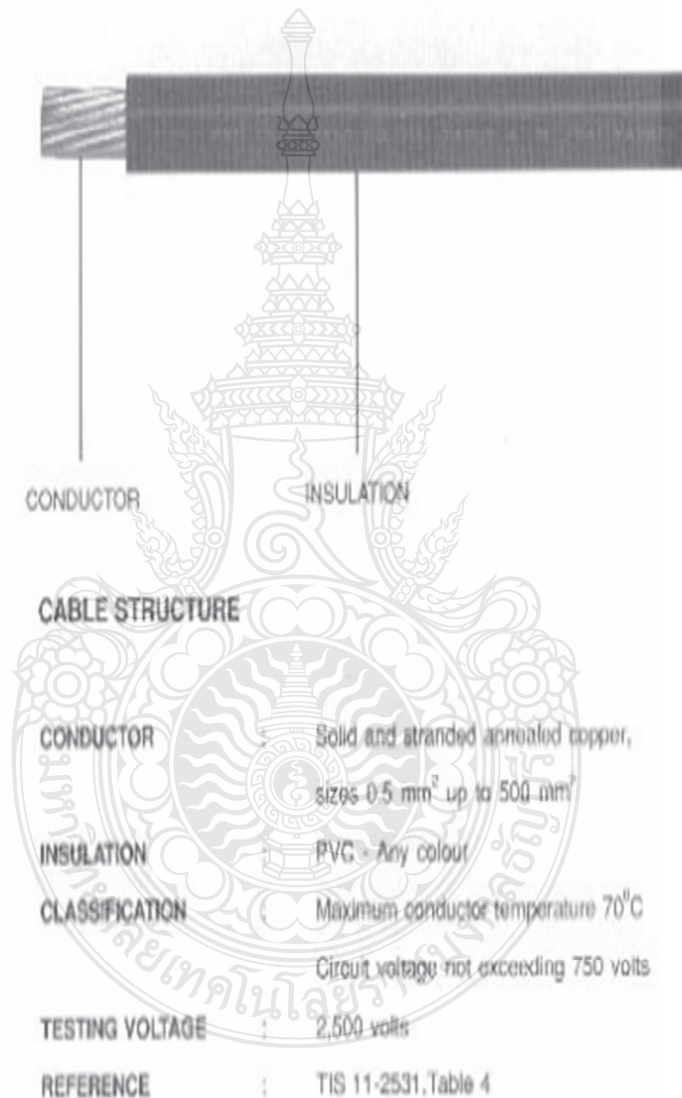
D: Packing in drum.

---

**THW, MEA TYPE A**TIS 11-2531  
Table 4

---

750 V 70°C PVC INSULATED, SINGLE CORE



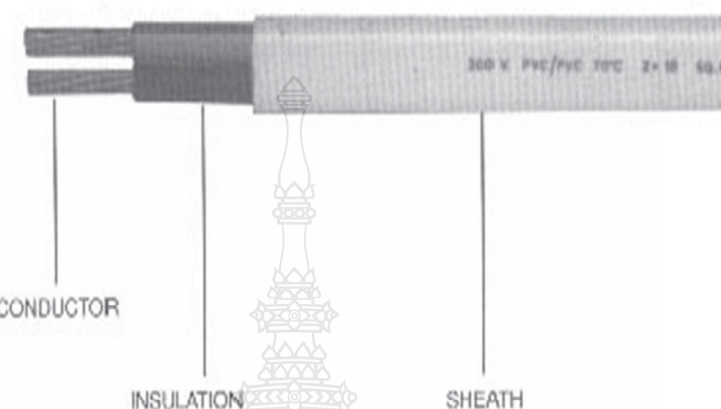
Nominal cross sectional area (mm <sup>2</sup> )	Number and diameter of wire (No/mm)	Insulation thickness (mm)	Overall diameter (mm)	Minimum insulation resistance at 70°C (MΩ -Km)	Maximum continuous current rating in free air (Ampere)	Cable weight (approx.) (Kg/Km)	Standard length (m)
0.5	1/0.80	0.8	3.0	0.0175	9	11	100/C
1	1/1.13	0.8	3.3	0.0141	13	17	100/C
1	7/0.40	0.8	3.5	0.0135	13	17	100/C
1.5	1/1.38	0.8	3.6	0.0123	17	22	100/C
1.5	7/0.50	0.8	3.8	0.0116	17	22	100/C
2.5	1/1.78	0.8	4.0	0.0102	23	31	100/C
2.5	7/0.67	0.8	4.3	0.0093	23	31	100/C
4	1/2.25	0.9	4.8	0.0094	32	50	100/C
4	7/0.85	0.9	5.2	0.0085	32	50	100/C
6	7/1.04	0.9	5.6	0.0073	43	75	100/C
10	7/1.35	1.1	7.2	0.0069	60	120	100/C
16	7/1.70	1.1	8.4	0.0057	83	180	100/C
25	7/2.14	1.3	10.5	0.0054	114	290	100/C
35	19/1.63	1.3	11.5	0.0047	141	380	100/C
50	19/1.78	1.5	13.5	0.0048	175	540	500/D
70	19/2.14	1.5	15.5	0.0039	221	720	500/D
95	19/2.52	1.7	18.0	0.0038	275	1,000	500/D
120	37/2.03	1.7	19.5	0.0034	321	1,240	500/D
150	37/2.25	1.9	21.5	0.0034	367	1,520	500/D
185	37/2.52	2.1	24.0	0.0034	424	1,900	500/D
240	61/2.25	2.3	27.0	0.0033	505	2,480	500/D
300	61/2.52	2.5	30.0	0.0032	581	3,100	500/D
400	61/2.85	2.7	33.5	0.0030	675	3,950	500/D
500	61/3.20	3.1	36.0	0.0031	781	5,150	500/D

C : Packing in coil.

D : Packing in drum.

**VAF**TIS 11-2531  
Table

300 V 70°C PVC INSULATED AND SHEATHED FLAT TYPE

**CABLE STRUCTURE**

NUMBER OF CORE	: 2-3 cores
CONDUCTOR	: Solid and stranded annealed copper sizes 0.5 mm <sup>2</sup> up to 35 mm <sup>2</sup> for 2-core and up to 16 mm <sup>2</sup> for 3 cores
INSULATION	: PVC Colour : 2 core-Light grey, Black 3 core-Light grey, Black, Red
SHEATH	: PVC Colour : White
CLASSIFICATION	: Maximum conductor temperature 70°C Circuit voltage not exceeding 300 volts
TESTING VOLTAGE	: 2,000 volts
REFERENCE	: TIS 11-2531, Table 2

Number of core	Nominal cross sectional area (mm <sup>2</sup> )	Number and diameter of wire (No/mm)	Insulation thickness (mm)	Sheath thickness (mm)	Overall diameter (mm)		Minimum insulation resistance at 70°C (MΩ · Km)	Maximum continuous current rating in free air (Ampere)	Cable weight (approx.) (Kg/Km)	Standard length (m)
					Lower Limit	Upper Limit				
2	0.5	1/0.80	0.6	0.9	3.6 x 5.6	4.4 x 6.8	0.0146	7	37	100/C
	1	1/1.13	0.6	0.9	4.0 x 6.2	4.8 x 7.4	0.0115	11	50	100/C
	1	7/0.40	0.6	0.9	4.6 x 6.4	5.0 x 7.8	0.0110	11	50	100/C
	1.5	1/1.38	0.6	1.2	4.8 x 7.2	5.6 x 8.6	0.0100	15	70	100/C
	1.5	7/0.50	0.6	1.2	4.9 x 7.4	6.0 x 9.2	0.0094	15	70	100/C
	2.5	1/1.78	0.7	1.2	5.4 x 8.4	8.4 x 10.0	0.0092	20	100	100/C
	2.5	7/0.67	0.7	1.2	5.6 x 8.8	8.8 x 10.5	0.0084	20	100	100/C
	4	1/2.25	0.8	1.2	6.0 x 9.8	7.2 x 11.5	0.0086	27	140	100/C
	4	7/0.85	0.8	1.2	6.2 x 10.0	7.8 x 12.0	0.0078	27	140	100/C
	6	7/1.04	0.8	1.2	6.8 x 11.0	8.2 x 13.5	0.0066	35	200	100/C
	10	7/1.35	0.9	1.2	8.0 x 13.5	9.4 x 16.0	0.0059	49	300	100/C
	16	7/1.70	1.0	1.2	9.2 x 16.0	11.0 x 18.5	0.0053	65	440	100/C
	25	7/2.14	1.2	1.4	11.0 x 19.5	13.0 x 22.5	0.0051	88	690	500/D
	35	19/1.53	1.2	1.4	12.0 x 22.0	14.5 x 25.0	0.0043	109	900	500/D
3	0.5	1/0.80	0.6	0.9	3.6 x 7.4	4.4 x 9.0	0.0146	6	50	100/C
	1	1/1.13	0.6	0.9	4.0 x 8.4	4.8 x 10.0	0.0115	9	70	100/C
	1	7/0.40	0.6	0.9	4.6 x 8.8	5.0 x 10.5	0.0110	9	70	100/C
	1.5	1/1.38	0.6	1.2	4.8 x 9.8	5.8 x 11.5	0.0100	12	100	100/C
	1.5	7/0.50	0.6	1.2	4.9 x 10.0	6.0 x 12.5	0.0094	12	100	100/C
	2.5	1/1.78	0.7	1.2	5.4 x 11.5	6.4 x 13.5	0.0092	16	150	100/C
	2.5	7/0.67	0.7	1.2	5.6 x 12.0	6.8 x 14.5	0.0084	16	150	100/C
	4	1/2.25	0.8	1.2	6.0 x 13.5	7.2 x 16.0	0.0085	22	210	100/C
	4	7/0.85	0.8	1.2	6.2 x 14.0	7.6 x 16.5	0.0078	22	210	100/C
	6	7/1.04	0.8	1.2	6.8 x 16.0	8.2 x 18.5	0.0066	29	300	100/C
	10	7/1.35	0.9	1.2	8.0 x 19.0	9.4 x 22.0	0.0059	40	450	500/D
	16	7/1.70	1.0	1.4	9.6 x 23.0	11.5 x 26.5	0.0053	53	680	500/D

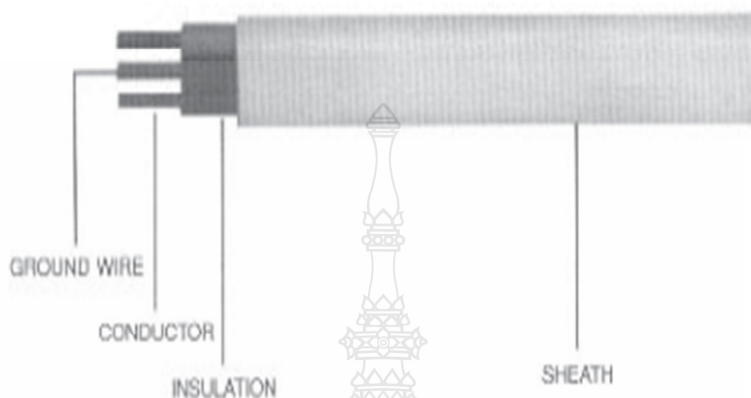
TISI permitted to increase the maximum overall diameter by 5%

C : Packing in coil.

D : Packing in drum.

**VAF-GRD**TIS 11-2531  
Table 11

300 V 70°C PVC INSULATED AND SHEATHED FLAT TYPE, WITH GROUND

**CABLE STRUCTURE**

NUMBER OF CORE	: 2-3 cores with safety-ground
CONDUCTOR	: Solid and stranded annealed copper, sizes 1 mm <sup>2</sup> up to 35 mm <sup>2</sup>
GROUND WIRE	: Ground conductor sizes 1mm <sup>2</sup> up to 10 mm <sup>2</sup>
INSULATION	: PVC
	Colour : 2 core-Light grey, Black
	3 core-Light grey, Black, Red
SHEATH	: PVC
	Colour : White
CLASSIFICATION	: Maximum conductor temperature 70°C Circuit voltage not exceeding 300 volts
TESTING VOLTAGE	: 2,000 volts
REFERENCE	: TIS 11-2531, Table 11

Number of core	Nominal cross sectional area (mm <sup>2</sup> )	Number and diameter of wire (No/mm)	Insulation thickness (mm)	Nominal cross sectional area of ground conductor (mm <sup>2</sup> )	Ground insulation thickness (mm)	Sheath thickness (mm)	Overall diameter (mm)		Minimum insulation resistance at 70°C (M Ω-Km)	Maximum continuous current rating in free air (Ampere)	Cable weight (approx.) (Kg/Km)	Standard length (m)
							Lower Limit	Upper Limit				
2	1	1/1.13	0.6	1	0.6	0.9	4.0 x 8.4	4.8 x 10.0	0.0115	11	70	500/D
	1	7/0.40	0.6	1	0.6	0.9	4.0 x 8.6	5.0 x 10.5	0.0110	11	70	500/D
	1.5	1/1.38	0.6	1	0.6	1.2	4.8 x 9.4	5.8 x 11.5	0.0100	15	95	500/D
	1.5	7/0.5	0.6	1	0.6	1.2	4.8 x 9.8	6.0 x 12.0	0.0094	15	95	500/D
	2.5	1/1.78	0.7	1.5	0.6	1.2	5.4 x 10.5	6.4 x 13.0	0.0092	20	130	500/D
	2.5	7/0.87	0.7	1.5	0.6	1.2	5.8 x 11.5	6.8 x 14.0	0.0084	20	130	500/D
	4	1/2.25	0.8	2.5	0.6	1.2	8.0 x 12.5	7.2 x 15.0	0.0086	27	190	600/D
	4	7/0.85	0.8	2.5	0.6	1.2	6.2 x 13.0	7.6 x 16.0	0.0078	27	190	500/D
	6	7/1.04	0.8	4	0.6	1.2	6.8 x 15.0	8.2 x 17.5	0.0066	35	270	500/D
	10	7/1.35	0.9	4	0.6	1.2	8.0 x 17.0	9.4 x 20.0	0.0059	48	380	500/D
	16	7/1.70	1.0	6	0.6	1.2	9.2 x 20.0	11.0 x 23.0	0.0053	65	550	500/D
	25	7/2.14	1.2	6	0.6	1.4	11.0 x 24.0	13.0 x 27.0	0.0051	88	810	500/D
3	35	19/1.53	1.2	10	0.6	1.4	12.0 x 27.0	14.5 x 31.0	0.0043	109	1,070	500/D
	1	1/1.13	0.6	1	0.6	0.9	4.0 x 10.5	4.8 x 12.5	0.0115	9	95	500/D
	1	7/0.40	0.6	1	0.6	0.9	4.0 x 11.0	5.0 x 13.5	0.0110	9	95	500/D
	1.5	1/1.38	0.6	1	0.6	1.2	4.8 x 12.0	5.8 x 14.0	0.0100	12	130	500/D
	1.5	7/0.50	0.6	1	0.6	1.2	4.8 x 12.5	6.0 x 15.0	0.0094	12	130	500/D
	2.5	1/1.78	0.7	1.5	0.6	1.2	5.4 x 14.0	6.4 x 16.5	0.0092	16	180	500/D
	2.5	7/0.87	0.7	1.5	0.6	1.2	5.8 x 14.5	6.8 x 17.5	0.0084	18	180	500/D
	4	1/2.25	0.8	2.5	0.6	1.2	8.0 x 18.0	7.2 x 19.0	0.0086	22	260	500/D
	4	7/0.85	0.8	2.5	0.6	1.2	6.2 x 17.5	7.6 x 20.5	0.0078	22	260	500/D
	6	7/1.04	0.8	4	0.6	1.2	6.8 x 19.5	8.2 x 22.5	0.0066	29	370	500/D
	10	7/1.35	0.9	4	0.6	1.2	8.0 x 22.5	9.4 x 26.0	0.0059	40	520	500/D
	16	7/1.70	1.0	6	0.6	1.4	9.8 x 27.5	11.0 x 31.5	0.0053	53	860	500/D

TISI permitted to increase the maximum overall diameter by 5%

C : Packing in coil.

D : Packing in drum.

ก.2 ข้อมูลอินดักชั่นมอเตอร์



MITSUBISHI ELECTRIC AUTOMATION (THAILAND) CO., LTD.

## Feature and Benefits

### Compact Size and Light Weight

Size and weight reductions have been achieved by the use of steel plate frame and aluminum brackets in the small-capacity motors.

### Highly Reliable Insulation Systems

Class B and F insulation systems are characterized by superior resistance to heat, humidity and chemicals for top-notch reliability.

### PFC Lineup

We have produced variety types of motors ranging from 1/4 HP to 125 HP, thus providing a full lineup of motors used for any application.

### Superior Characteristics and High Reliability

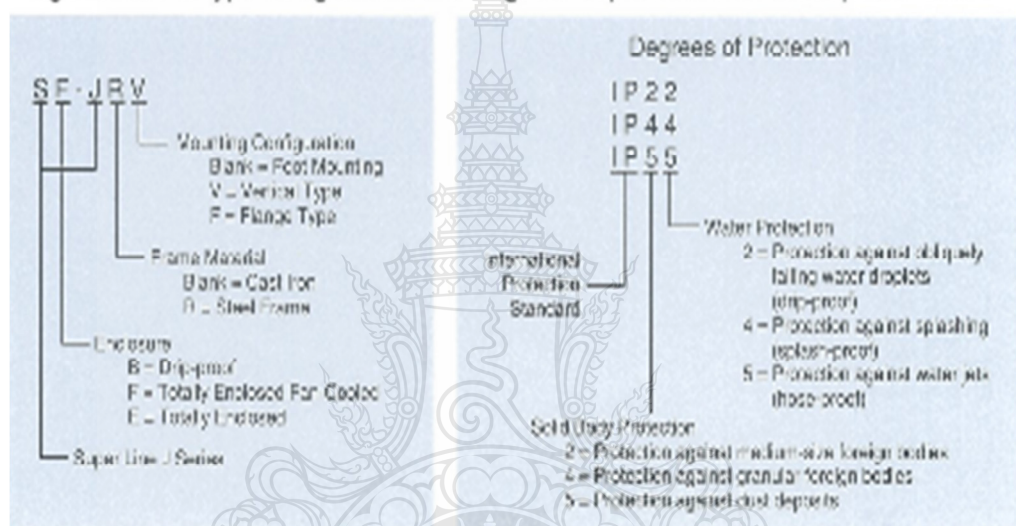
Based on experience and technology accumulated over many years, along with an existing quality-control system, each motor is assumed to exhibit only the finest characteristics.

**Safety:** All the rotating parts and the "live" areas are made sure that it cannot be accidentally touched directly.

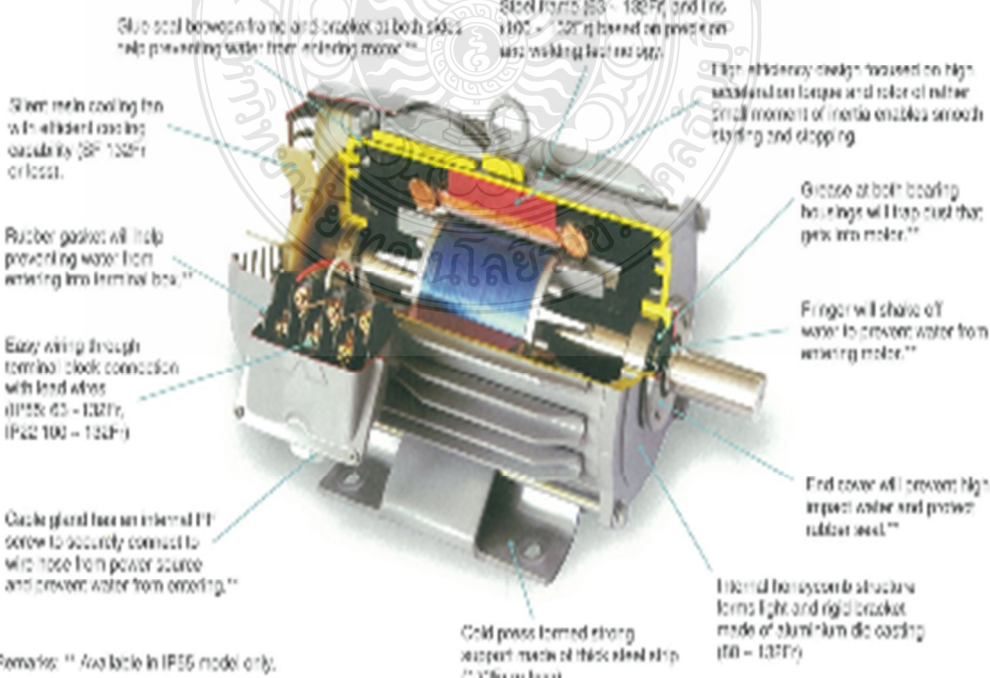
**Smooth Acceleration:** The low moment of inertia of the rotor combined with the motor's high horsepower torque, contributes to smooth starting and stopping.

**Low Noise and Vibration Levels:** This feature has been achieved due to our highly individualized electric design, the ample rigidity and the precise machining of the motor frames and brackets, and the exact balancing of the rotor.

## Significance of type designations and degrees of protection for three phase motor



## Motor Section



## Standard Specifications

Item	Specifications								
Voltage and Frequency	LT: 10HP and below = 220/380-415V 50Hz, 220/440V 60Hz HT: 5HP and above = 380-415V 50Hz, 380-440V 60Hz(Suitable for Y-△ starting)								
Enclosure Construction and Degrees of Protection	Degrees of Protection	Enclosure Construction	Model Name			Frame No.			
	IP55	Totally Enclosed Fan-Cooled Type	SF-JR	SF-JV	SF-JRF SF-JE	63M ~ 132M 100M ~ 180L 200L ~ 250M			
	IP44	Totally Enclosed Fan-Cooled Type	SF-JR	-	-	63M ~ 90L			
	IP22	Drip-proof	SF-JR	SF-JRV	-	80M ~ 132M			
* Standard vertical-type motor can be used for indoor flange type.									
Frame Material	63M ~ 132M	:	Steel Plate						
	180M ~ 250M	:	Cast Iron						
Power Transmission System	Direct-coupled and belt driven, for up to 10HP 2-pole motor and all model 4-pole & 6-pole motor. Direct-coupled, for 2-pole motor with 15HP and above.								
Direction of Rotation	Counter-Clockwise (CCW) viewed from shaft end side.								
Thermal Class	IP22 and IP44	: 90L and below 100L and above	Class B						
	IP55	: All models	Class F						
Circumstance Condition	Ambient Temperature	-20 ~ +40°C							
	Ambient Humidity	85% RH or less (for Drip-proof Structure) 95% RH or less (for Totally Enclosed Structure)							
	Altitude	Less than 1,000m above sea level							
	Environment	No bursting / explosive gas or vapor							
Connection Type	Degrees of Protection	Frame No.	No. of leads	Connection Type					
	IP55	63M ~ 132M	6	Terminal Block					
	IP44	100M ~ 250M	6	Lead Wire (also suitable for Y-△ starting)					
		63M ~ 90L	6	Lead Wire					
	IP22	80M ~ 90L	6	Lead Wire					
		100L ~ 132M	6	Terminal Block					
Coating Colour	Munsell N6.5 (Gray)								
Conformed Standard	IEC 60034-1 & IEC 6420 (for Horizontal Type), IEC 2137-2000 (for Vertical Type)								

### Three Phase Motor Characteristics

LT (220/ 380–415V 50Hz, 220/ 440V 60Hz)

SF-JR IP44 63M-90L 4P (Thermal Class B)

SF-JR(V) IP55 63M-132M (Thermal Class F)

Pole	Class		Frame No.	Full Load Current(A)/ Full Load Revolution(r/min)				
	HP	kW		220/50Hz	380/50Hz	415/50Hz	220/60Hz	440/60Hz
2	14	0.2	63M	0.97/2810	0.58/2610	0.56/2640	0.94/3320	0.58/3320
	10	0.4	71M	1.73/2830	1.0/2830	1.0/2830	1.85/3420	0.67/3420
	1	0.75	80M	3.1/2850	1.8/2850	1.8/2850	2.9/3400	1.1/3400
	2	1.5	90L	5.5/2860	3.2/2860	3.1/2870	5.2/3440	2.1/3460
	3	2.2	90L	7.8/2850	4.5/2850	4.3/2870	7.5/3430	4.0/3460
	5	3.7	112M	12.0/2890	7.4/2890	7.2/2910	12.8/3400	8.5/3460
	7.5	5.5	132S	20.1/2900	11.8/2910	11.8/2910	18.9/3400	10.1/3500
	10	7.5	132S	25/2910	14.5/2910	14.1/2920	24.5/3400	12.4/3570
4	14	0.2	63M	1.11/1400	0.54/1400	0.53/1440	0.97/1730	0.61/1730
	10	0.4	71M	2.07/1410	1.15/1410	1.2/1430	1.87/1720	1.27/1730
	1	0.75	80M	3.3/1420	1.8/1420	1.8/1410	3.2/1720	1.7/1730
	2	1.5	90L	5.9/1430	3.4/1430	3.4/1440	5.5/1710	3.1/1730
	3	2.2	102L	8.7/1420	5.0/1420	4.9/1430	8.5/1710	4.5/1730
	5	3.7	112M	13.7/1420	7.9/1420	7.7/1430	13.5/1710	7.2/1730
	7.5	5.5	132S	20.7/1430	11.8/1430	11.7/1440	19.9/1720	10.3/1740
	10	7.5	132M	27/1430	15.4/1430	14.6/1440	26/1720	13.5/1740
8	14	0.2	71M	1.21/920	0.7/920	0.7/930	1.12/1100	0.65/1120
	10	0.4	80N	2.25/920	1.3/920	1.3/930	2.7/1100	1.2/1120
	1	0.75	90L	3.6/940	2.1/940	2.2/930	3.5/1130	2.0/1150
	2	1.5	100	7.0/930	4.0/930	4.0/940	6.6/1110	3.6/1120
	3	2.2	112M	9.5/940	5.5/940	5.4/950	9.0/1120	5.1/1140
	5	3.7	132S	15.9/940	8.3/940	8.4/950	14.2/1130	7.8/1150
	7.5	5.5	132M	22/960	12.8/960	13/980	21/1140	11.5/1160

SB-JR(V) IP22 80M-90L (Thermal Class B), 100L-132M (Thermal Class F)

Pole	Output	Frame No.	Full Load Current(A)/ Full Load Revolution(r/min)					
			220/50Hz	380/50Hz	415/50Hz	440V 60Hz		
4	1	0.75	80M	8.5/1400	5.0/1400	2.37/1410	12.9/1700	1.7/1720
	2	1.5	91L	6.2/1460	3.8/1460	4.2/1460	6.5/1720	3.2/1740
	3	2.2	100	8.7/1420	5.0/1420	4.3/1430	8.5/1710	4.6/1730
	5	3.7	112M	15.2/1420	7.3/1420	6.4/1430	13.3/1710	7.2/1730
	7.5	5.5	132S	20.4/1450	11.0/1450	11.0/1462	19.4/1720	11.2/1730
	10	7.5	132M	26.4/1460	16.2/1460	15.2/1460	25.4/1730	13.7/1740

### Three Phase Motor Characteristics

HT (380~415V 50Hz, 380~440V 60Hz)

SF-JR(V) IP55 112M-132M (Thermal Class F), SF-J(V) 160M-250M (Thermal Class F)

Pole	Output HP kW	Frame No.	Full Load Current(A)/Full Load Frequency(Hz)				
			380V 50Hz	415V 50Hz	380V 60Hz	440V 60Hz	
2	5	37	112M	7.5/2800	7.3/2310	7.3/3400	6.6/3450
	7.5	55	132S	11.6/2900	11.6/2900	10.9/3400	10.7/3500
	10	7.5	132S	14.4/2900	14.0/2800	14.2/3400	12.4/3510
	15	11	160M	21.5/2900	20.5/2900	21.7/3400	18.5/3510
	20	15	160M	28.7/2910	27.7/2920	27.7/3400	24.9/3510
	25	18.5	180L	34.7/2910	33.7/2930	33.7/3400	29.7/3510
	30	22	180S	42.7/2910	39.7/2930	41.7/3400	36.7/3610
	40	30	180L	65.7/2920	62.7/2940	56.7/3400	47.7/3620
	50	37	200L	69.7/2920	67.7/2940	67.7/3610	60.7/3630
	60	45	200L	83.7/2920	80.7/2940	81.7/3610	72.7/3630
4	75	55	225S	103.7/2930	101.7/2940	101.7/3620	89.7/3640
	5	3.7	112M	7.9/1420	7.7/1400	7.7/1710	7.2/1730
	7.5	5.5	132S	11.8/1430	11.5/1420	11.5/1720	10.3/1740
	10	7.5	132M	15.5/1430	14.5/1440	16.0/1720	15.4/1740
	15	11	160M	22.5/1430	21.5/1440	21.5/1720	19.7/1740
	20	15	160L	30.7/1450	31.7/1460	28.5/1740	25.7/1760
	25	18.5	180M	38.7/1460	35.7/1470	35.7/1750	32.7/1760
	30	22	180M	43.7/1460	42.7/1470	42.7/1750	38.7/1760
	40	30	180L	55.7/1460	55.7/1470	56.7/1750	49.7/1760
	50	37	200L	69.7/1450	65.7/1470	66.7/1750	60.7/1760
6	60	45	200L	83.5/1460	82.7/1480	82.7/1760	72.7/1770
	75	55	225S	104.5/1460	102.7/1480	101.7/1760	90.7/1770
	100	75	250L	110.7/1470	108.7/1470	140.7/1760	123.7/1770
	125	10	250N	129.7/1470	124.7/1480	123.7/1720	135.7/1740
	5	3.7	132S	8.1/840	6.5/850	8.3/1130	7.0/1150
	7.5	5.5	132M	12.8/860	11.9/850	12.1/1140	11.5/1160
	10	7.5	132M	16.5/860	16.5/860	16.7/1130	14.5/1160
	15	11	160L	24.7/860	24.7/870	23.7/1140	21.7/1160
	20	15	160L	32.7/860	32.7/870	31.7/1150	28.7/1170
	25	18.5	180L	39.7/860	37.7/870	38.7/1150	33.7/1170
	30	22	180L	45.7/860	43.7/870	44.7/1155	39.7/1170
	40	30	200L	60.0/860	58.0/870	60.0/1150	51.7/1170
	50	37	200L	74.7/860	70.7/870	72.7/1150	64.7/1170
	60	45	225S	89.7/860	80.7/870	88.7/1160	76.7/1170

SB-JR(V) IP22 112M-132M (Thermal Class F)

Pole	Output HP kW	Frame No.	1st Loss Current(A)/Full Load Frequency(Hz)				
			HP kW	M.A.	380V 50Hz	415V 50Hz	
4	5	3.7	112M	7.9/1420	7.7/1430	7.7/1710	7.2/1730
	7.5	5.5	132S	11.8/1430	11.6/1420	11.2/1720	10.8/1730
	10	7.5	132M	15.4/1440	16.2/1450	14.7/1730	13.6/1750

## SB-JR 80M~132M HORIZONTAL TYPE

Drip-Proof Type, IP 22 Degrees of Protection



SB-JR 1HP 4P 80M

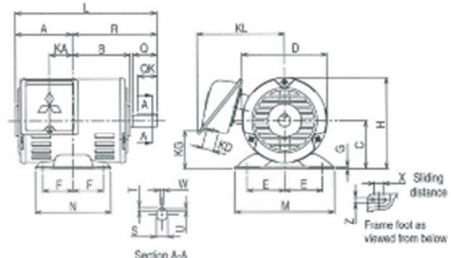


Fig. 1

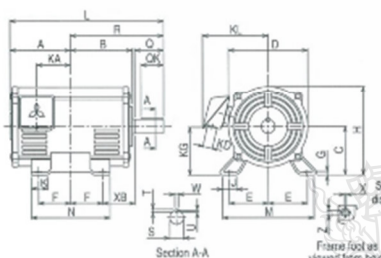


Fig. 2

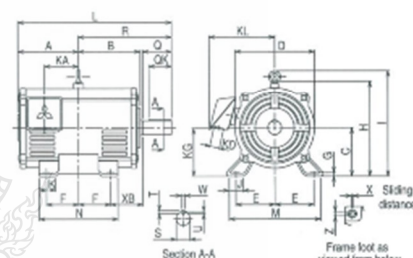


Fig. 3

Dimensions (mm)

Model	Frame No.	Output HP (kW)				Fig.	Motor												Terminal Box								
		2-Pole	4-Pole	6-Pole			A	B	C	D	E	F	G	H	I	J	K	L	M	ML	N	X	XB	Z	KA	KG	KD
SB-JR	80M	1(0.75)	1(0.75)	1/2(0.4)	1	95	95	80	141	62.5	50	3.2	150.5	-	-	-	235	160	-	125	15	50	9	39.5	63	27	144
	90L	2(1.5), 3(2.2)	2(1.5)	1(0.75)	1	112.5	112.5	90	168	70	62.5	4	174	-	-	-	261	175	-	150	15	56	9	53	76	27	157
	100L	-	3(2.2)	2(1.5)	2	130	128	100	168	80	70	6.5	184	-	40	45	323	200	212	180	4	63	12	65	86	27	157
	112M	5(3.7)	5(3.7)	3(2.2)	3	136	135	112	190	95	70	6.5	220	254	40	45	336	230	242	180	4	70	12	69	101	27	168
	132S	7.5(5.5), 10(7.5)	7.5(5.5)	5(3.7)	3	153	152	132	220	108	70	6.5	255	289	40	45	392	256	268	180	4	89	12	75	118	27	185
	132M	-	10(7.5)	7.5(5.5)	1	172	171	132	220	108	89	6.5	255	289	40	45	430	256	268	218	4	89	12	94	118	27	185

\* The perpendicular variation of tolerance for the shaft center is -0.5

Model	Frame No.	Shaft End							Bearing No.	Approximate Weight (kg)			Approximate Packing Dimensions (LxWxH)	Packing Weight (kg)			
		Q	QK	R	S	T	U	W		Drive End	Opposite	2-Pole	4-Pole	6-Pole	2-Pole	4-Pole	6-Pole
SB-JR	80M	40	32	140	19j6	6	3.5	6	6204ZZ	6203ZZ	9	11	11	295 x 270 x 206	10	10.8	12
	90L	50	40	168.5	24j6	7	4	8	6205ZZ	6204ZZ	16, 16	16	16	350 x 280 x 350	17, 16	17	17
	100L	60	45	193	28j6	7	4	8	6206ZZ	6205ZZ	-	22	24	409 x 355 x 300	-	21.2	27
	112M	60	45	200	28j6	7	4	8	6207ZZ	6206ZZ	27	30	31	477 x 399 x 315	31	34	35
	132S	80	63	239	38k6	8	5	10	6308ZZ	6207ZZ	38, 42	40	41	526 x 403 x 347	42, 46	44	45
	132M	80	63	258	38k6	8	5	10	6308ZZ	6207ZZ	-	51	52	526 x 403 x 347	-	55	56

## **SB-JRV 80M~132M VERTICAL TYPE**

Drip-Proof Type, IP 22 Degrees of Protection

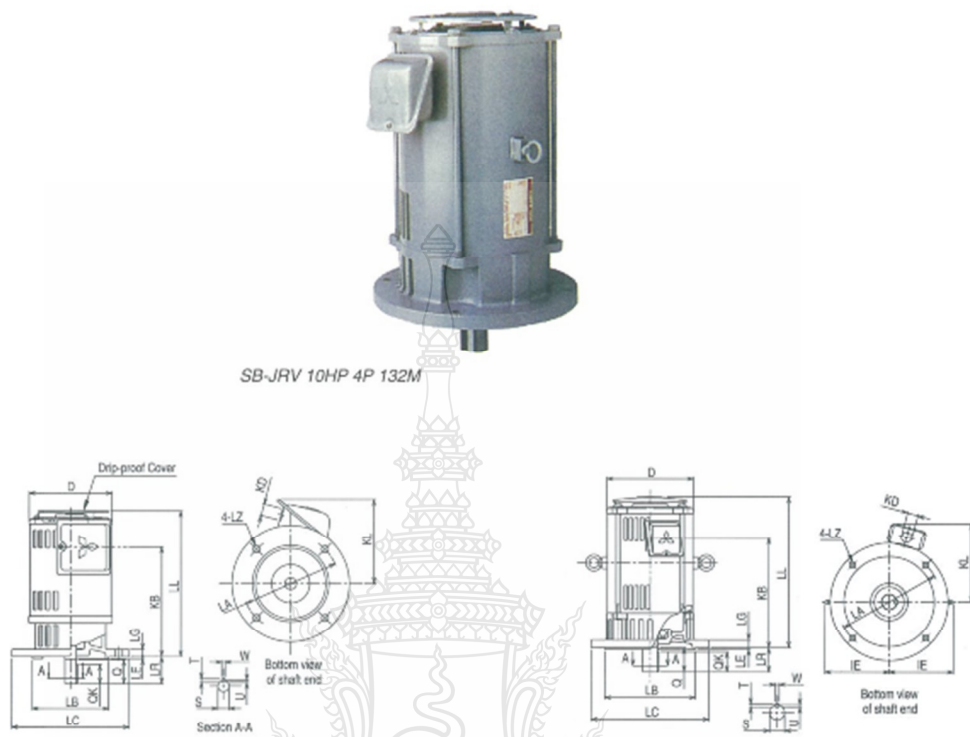


Fig. 4

Fig. 5

Dimensions (mm)

Model	Flange No.	Frame No.	Output HP (kW)			Fig.	Motor							Terminal Box				
			2-Pole	4-Pole	6-Pole		D	IE	LA	LB	LC	LE	LG	LZ	KB	KD	KL	
SB-JRV	FF165	80M	1(0.75)	1(0.75)	1/2(0.4)	4	141	-	185	130 6	200	3.5	12	234(227)	12	171.5	27	145
	FF165	90L	2(1.5), 3(2.2)	2(1.5)	1(0.75)		168	-	185	130 6	200	3.5	12	270(261)	12	201.5	27	158
	FF215	100L	-	3(2.2)	2(1.5)		168	-	215	180 6	250	4	16	320(300)	14.5	237	27	155
	FF215	112M	5(3.7)	5(3.7)	3(2.2)	5	190	141.5	215	180 6	250	4	16	352(329)	14.5	263	27	166
	FF265	132S	7.5(5.5), 10(7.5)	7.5(5.5)	5(3.7)		220	156.5	265	230 6	300	4	20	393(369)	14.5	292	27	181
	FF265	132M	-	10(7.5)	7.5(5.5)		220	156.5	265	230 6	300	4	20	431(407)	14.5	330	27	181

\* ( ) is dimension of vertical type without drip-proof cover.

Model	Flange No.	Frame No.	Shaft End						Bearing No.		Approximate Weight (kg)			Approximate Packing Dimensions (LxWxH)	Packing Weight (kg)			
			LR	Q	QK	S	T	U	W	Drive End	Opposite	2-Pole	4-Pole	6-Pole	2-Pole	4-Pole	6-Pole	
SB-JRV	FF165	80M	40	40	32	19 6	6	3.5	6	6204ZZ	6203ZZ	12	14	14	305 x 260 x 235	14	16	16
	FF165	90L	50	50	40	24 6	7	4	8	6205ZZ	6204ZZ	19, 19	19	19	370 x 280 x 235	21, 21	21	21
	FF215	100L	60	60	45	28 6	7	4	8	6206ZZ	6205ZZ	-	28	30	430 x 340 x 330	-	30	32
	FF215	112M	60	60	45	28 6	7	4	8	6207ZZ	6206ZZ	37	40	41	390 x 387 x 354	41	44	45
	FF265	132S	80	80	63	38 6	8	5	10	6308ZZ	6207ZZ	52, 56	54	55	569 x 427 x 384	59, 63	61	62
	FF265	132M	80	80	63	38 6	8	5	10	6308ZZ	6207ZZ	-	67	68	607 x 427 x 384	-	74	75

## SF-JR 63M~90L HORIZONTAL TYPE

Totally-Enclosed Fan-Cooled Type, IP 44 Degrees of Protection



SF-JR 1HP 4P 80M

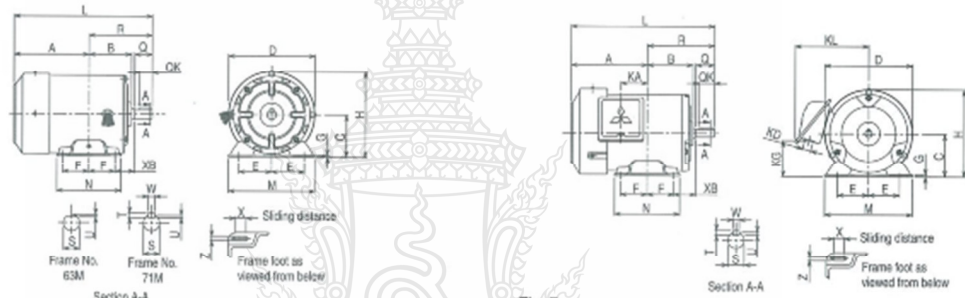
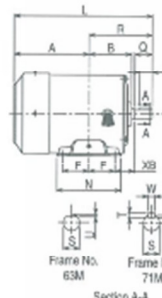


Fig. 6

Fig. 7

Model	Frame No.	Output HP (kW)	Pole	Fig.	Motor														Terminal Box			
					A	B	C*	D	E	F	G	H	L	M	N	X	XB	Z	KA	KG	KD	KL
SF-JR	63M	1/4(0.2)	4	6	113	77	63	127	50	40	23	127	216	135	100	12	40	7	-	-	-	-
	71M	1/2(0.4)			118	87	71	148	56	45	3.2	145	238	148	110	18	45	7	-	-	-	-
	80M	1(0.75)		7	122	95	80	166	62.5	50	3.2	166	262	160	125	15	50	9	39.5	63	27	145
	90L	2(1.5)			143	114	90	186	70	62.5	4	187	311.5	175	150	15	56	9	53	76	27	158

\* The perpendicular variation of tolerance for the shaft center is  $^0_{-0.5}$

Model	Frame No.	Shaft End						Bearing No.		Approximate Weight (kg)	Approximate Packing Dimensions (LxWxH)	Packing Weight (kg)	
		Q	QK	R	S	T	U	W	Drive End	Opposite			
SF-JR	63M	23	-	103	11 h6	-	1	-	6201ZZ	6201ZZ	5.6	245 x 165 x 170	6
	71M	30	25	120	14 j6	5	3	5	6202ZZ	6201ZZ	8.2	270 x 200 x 185	7.5
	80M	40	32	140	19 j6	6	3.5	6	6204ZZ	6203ZZ	11	315 x 270 x 206	11.7
	90L	50	40	168.5	24 j6	7	4	8	6205ZZ	6204ZZ	20	368 x 280 x 226	20

## SF-JR 63M~132M HORIZONTAL TYPE

Totally Enclosed Fan Cooled Type, IP 55 Degrees of Protection



Fig. 8

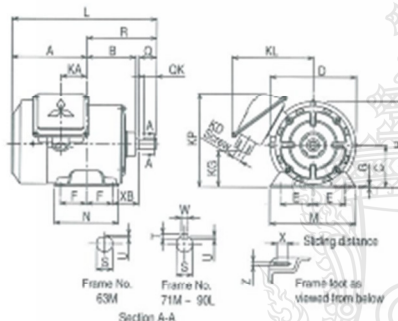
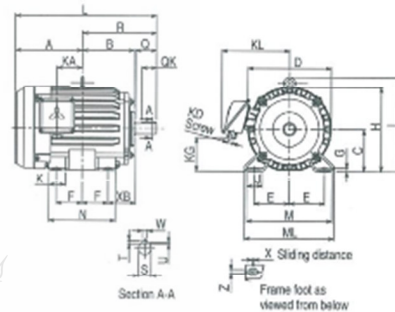


Fig. 9



Dimensions (mm)

Model	Frame No.	Output HP (kW)			Fig.	Motor												Terminal Box										
		2-Pole	4-Pole	5-Pole		A	B	C	D	E	F	G	H	I	J	K	L	M	ML	N	X	XB	Z	KA	KG	KD	KL	KP**
SF-JR	63M	1/4(0.2)	1/4(0.2)	-	8	121.4	73.6	63	130	50	40	2.3	126.3	-	-	-	224.4	135	-	100	12	40	7	38.4	75	PF1/2	130	162
	71M	1/2(0.4)	1/2(0.4)	1/4(0.2)		128.5	83	71	147.6	56	45	3.2	144.8	-	-	-	249.5	148	-	110	18	45	7	44.5	67	PF1/2	140	161
	80M	1(0.75)	1(0.75)	1/2(0.4)		122	98	80	161.6	62.5	50	3.2	165.4	-	-	-	262	160	-	125	15	50	9	39.5	38	PF3/4	145	-
	90L	2(1.5)	3(2.2)	2(1.5)	9	143	117	90	183.6	70	62.5	4	188.3	-	-	-	311.5	175	-	150	15	56	9	53	59	PF3/4	158	-
	100L	-	3(2.2)	2(1.5)		173	131	100	207	80	70	6.5	203.5	230	40	45	366	200	212	180	4	63	12	65	64	PF3/4	170	-
	112M	5(3.7)	5(3.7)	3(2.2)		181	138	112	228	95	70	6.5	226	253	40	45	381	230	242	180	4	70	12	69	87	PF3/4	182	-
	132S	7.5(5.5), 10(7.5)	7.5(5.5)	5(3.7)		211.5	155	132	266	108	70	6.5	265	288	40	45	450.5	256	268	180	4	89	12	75	96	PF1	210	-
	132M	-	10(7.5)	7.5(5.5)		230.5	174	132	266	108	89	6.5	265	288	40	45	488.5	256	268	218	4	89	12	94	96	PF1	210	-

\* The perpendicular variation of tolerance for the shaft center is ±0.5

\*\* This dimension is for model which KP > H only.

Model	Frame No.	Shaft End						Bearing No.		Approximate Weight (kg)			Approximate Packing Dimensions (LxWxH)	Packing Weight (kg)			
		Q	OK	R	S	T	U	W	Drive End	Opposite	2-Pole	4-Pole	6-Pole	2-Pole	4-Pole	6-Pole	
SF-JR	63M	23	-	103	11 h6	-	1	-	6201ZZ	6201ZZ	6.5	6.6	-	245 x 221 x 193	5.7	6	-
	71M	30	25	120	14 j6	5	3	5	6202ZZ	6201ZZ	8.0	9.2	9.0	275 x 256 x 180	7.2	8	8
	80M	40	32	140	19 j6	6	3.5	6	6204ZZ	6203ZZ	10.5	11	11	315 x 270 x 206	10.7	11.7	11.5
	90L	50	40	166.5	24 j6	7	4	8	6205ZZ	6204ZZ	17, 20.5	20	21.5	368 x 280 x 226	17.2, 21	20	19.5
	100L	60	45	193	28 j6	7	4	8	6206ZZ	6205ZZ	-	24	25	430 x 355 x 300	-	28	27
	112M	60	45	200	28 j6	7	4	8	6207ZZ	6206ZZ	33	36	37	477 x 399 x 315	40	42	44
	132S	80	63	239	38 k6	8	5	10	6308ZZ	6207ZZ	47, 55	48	50	579 x 435 x 347	55, 63	56	58
	132M	80	63	258	38 k6	8	5	10	6308ZZ	6207ZZ	-	58	61	579 x 435 x 347	-	66	69

## SF-J 160M~250M HORIZONTAL TYPE

Totally Enclosed Fan Cooled Type, IP 55 Degrees of Protection

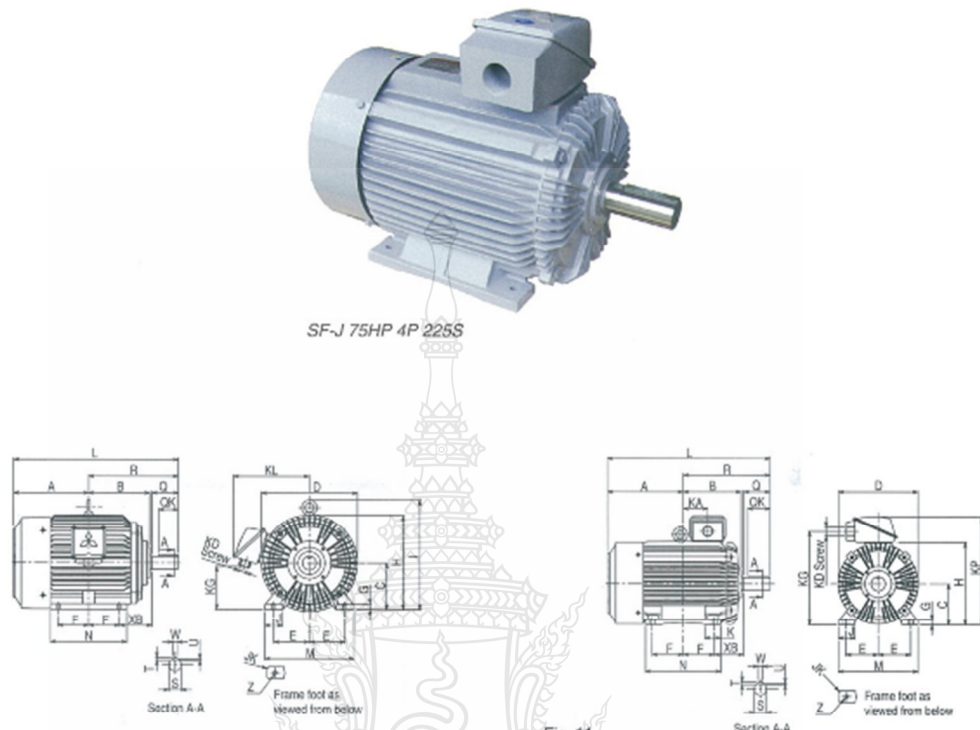


Fig. 10

Fig. 11

Model	Frame No.	Output HP (kW)			Fig	Motor													Dimensions (mm)								
		2-Pole	4-Pole	6-Pole		A	B	C*	D	E	F	G	H	I	J	K	L	M	N	XB	Z	KA	KG	KD	KL	KP	
SF-J	160M	15(11), 20(15)	15(11)	10(7.5)	10	252	207	160	324	127	105	20	322	373	55	R6	-	575	310	260	108	15	-	127	PF1 1/4	271	-
	160L	25(18.5)	20(15)	15(11)		274	229	160	324	127	127	20	322	373	55	R6	-	619	310	304	108	15	-	127	PF1 1/4	271	-
	180M	30(22)	25(18.5), 30(22)	20(15)		294.5	239	180	376	139.5	120.5	22	367	427	70	R6	-	646	350	300	121	15	-	151	PF1 1/2	295	-
	180L	40(30)	40(30)	25(18.5), 30(22)		313.5	258	180	376	139.5	139.5	22	367	427	70	R6	-	684	350	338	121	15	-	151	PF1 1/2	295	-
	200L	50(37), 60(45)	50(37), 60(45)	40(30), 50(37)		370.5	281	200	410	159	152.5	25	405	-	80	R6	78	(766) 796	390	369	133	18.5	120	476	PF2	-	550
	225S	75(55)	75(55)	60(45)		380	287.5	225	459	178	143	28	457	-	80	R8	82	(782) 812	430	350	149	18.5	120	528	PF2	-	602
	250S	-	100(75)	-		417.5	318.7	250	495	203	155.5	30	-	-	80	R8	95	881	486	387	168	24	136.5	560	PF2 1/2	-	643
	250M	-	125(90)	-		436.5	337.7	250	495	203	174.5	30	-	-	80	R8	95	919	486	425	168	24	155.5	560	PF2 1/2	-	643

\* The perpendicular variation of tolerance for the shaft center is -0.5 mm.

Model	Frame No.	Shaft End						Bearing No.		Approximate Weight (kg)			Approximate Packing Dimensions (LxWxH)		Packing Weight (kg)		
		Q	QK	R	S	T	U	W	Drive End	Opposite	2-Pole	4-Pole	6-Pole	2-Pole	4-Pole	6-Pole	
SF-J	160M	110	90	323	42 k6	8	5	12	6309ZZ	6308ZZ	105, 115	107	107	743 x 601 x 494	126, 136	128	128
	160L	110	90	345	42 k6	8	5	12	6309ZZ	6308ZZ	145	135	135	787 x 601 x 494	166	156	156
	180M	110	90	351.5	48 k6	9	5.5	14	6311ZZ	6310ZZ	190	185, 195	195	814 x 651 x 548	214	209, 219	219
	180L	110	90	370.5	55 m6	10	6	16	6312ZZ	6310ZZ	220	230	220, 235	852 x 651 x 548	244	254	244, 259
	200L	(110)	(90)	(395.5)	(55 m6)	(10)	(6)	(16)	(6312ZZC3)	(6311ZZC3)	280, 195	285, 310	295, 340	964 x 542 x 691	307, 222	312, 337	322, 367
	225S	(110)	(90)	(402)	(55 m6)	(10)	(6)	(16)	(6312ZZC3)	(6311ZZC3)	315	345	370	980 x 591 x 774	345	375	400
	250S	140	110	463.5	75 m6	12	7.5	20	6318ZZ	6315ZZ	-	490	-	1087 x 627 x 824	-	505	-
	250M	140	110	482.5	75 m6	12	7.5	20	6318ZZ	6315ZZ	-	557	-	1087 x 627 x 824	-	572	-

( ) is dimension for 2-pole motors.

## SF-JRV 63M~132M & SF-JV 160M~180L VERTICAL TYPE

Totally Enclosed Fan Cooled Type, IP 55 Degrees of Protection



SF-JRV 10HP 4P 132M

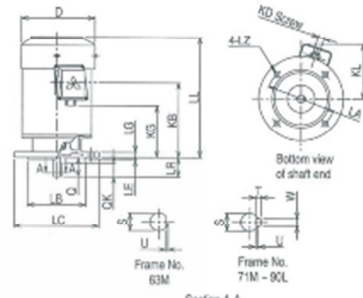


Fig. 12

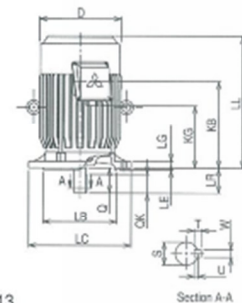
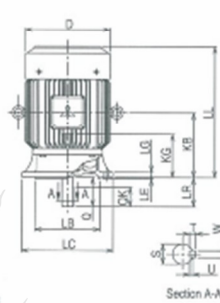


Fig. 13



Fig. 14



Section A-A



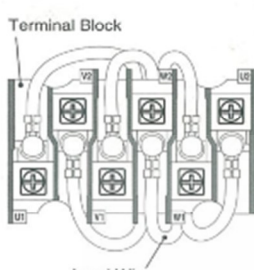
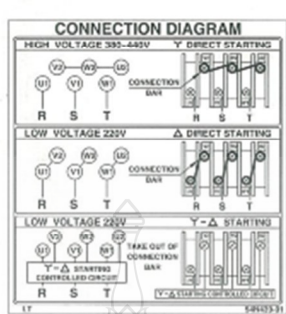
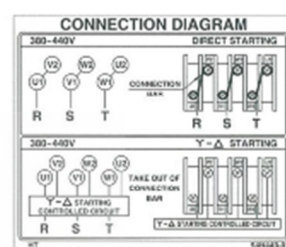
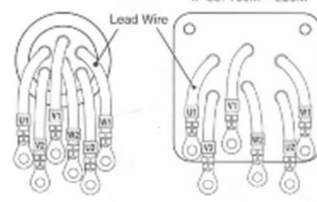
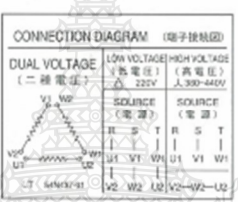
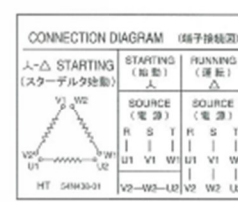
Bottom view of shaft end

Dimensions (mm)

Model	Flange No.	Frame No.	Output HP (kW)			Fig.	Motor									Terminal Box			
			2-Pole	4-Pole	6-Pole		D	I <sub>E</sub>	I <sub>A</sub>	L <sub>B</sub>	L <sub>C</sub>	L <sub>E</sub>	L <sub>G</sub>	L <sub>L</sub>	L <sub>Z</sub>	KD	KG	KL	
SF-JRV	FF130	63M	1/4(0.2)	1/4(0.2)	-	12	127	-	130	110	16	160	3.5	10	208	10	PF1/2	58	125
	FF130	71M	1/2(0.4)	1/2(0.4)	1/4(0.2)		148	-	130	110	16	160	3.5	10	229	10	PF1/2	80	138
	FF165	80M	1(0.75)	1(0.75)	1/2(0.4)		166	-	165	130	16	200	3.5	12	226	12	PF3/4	78	144
	FF165	90L	2(1.5), 3(2.2)	2(1.5)	1(0.75)	13	186.3	-	165	130	16	200	3.5	12	288.5	12	PF3/4	133	156
	FF215	100L	-	3(2.2)	2(1.5)		207	130	215	180	16	250	4	16	321	14.5	PF3/4	148	169
	FF215	112M	5(3.7)	5(3.7)	3(2.2)		230	141	215	180	16	250	4	16	351	14.5	PF3/4	174	180
	FF265	132S	7.5(5.5), 10(7.5)	7.5(5.5)	5(3.7)		266	156	265	230	16	300	4	20	392.5	14.5	PF1	173	213
SF-JV	FF265	132M	-	10(7.5)	7.5(5.5)	14	266	156	265	230	16	300	4	20	430.5	14.5	PF1	211	213
	FF300	160M	15(11), 20(15)	15(11)	10(7.5)		324	213	300	250	16	350	5	20	500	18.5	PF1 1/4	147	259
	FF300	160L	25(18.5)	20(15)	15(11)		324	213	300	250	16	350	5	20	544	18.5	PF1 1/4	169	259
	FF350	180M	30(22)	25(18.5), 30(22)	20(15)		376	247	350	300	16	400	5	20	576	18.5	PF1 1/2	176	284
	FF350	180L	40(30)	40(30)	25(18.5), 30(22)		376	247	350	300	16	400	5	20	614	18.5	PF1 1/2	195	284

Model	Flange No.	Frame No.	Shaft End						Bearing No.	Approximate Weight (kg)	Approximate Packing Dimensions (LxWxH)			Packing Weight (kg)					
			LR	Q	OK	S	T	U			2-Pole	4-Pole	6-Pole	2-Pole	4-Pole	6-Pole			
SF-JRV	FF130	63M	23	23	-	11	h6	-	1	-	6201ZZ	6201ZZ	6.5	6.6	-	318 x 256 x 180	6.8	6.9	-
	FF130	71M	30	30	25	14	j6	5	3	5	6202ZZ	6201ZZ	8.0	9.2	9.0	318 x 256 x 180	9.3	9.8	9.4
	FF165	80M	40	40	32	19	j6	6	3.5	8	6204ZZ	6203ZZ	12	18	13	368 x 280 x 226	13	14.5	13.5
	FF165	90L	50	50	40	24	j6	7	4	8	6205ZZ	6204ZZ	19.5	23	22.5	425 x 280 x 226	19.6	23.8	23
	FF215	100L	60	60	45	28	j6	7	4	8	6206ZZ	6205ZZ	-	28	29	456 x 355 x 300	-	29.5	31.5
	FF215	112M	60	60	45	28	j6	7	4	8	6207ZZ	6206ZZ	37	40	42	507 x 401 x 357	44	47	49
	FF265	132S	80	80	63	38	k6	8	5	10	6308ZZ	6207ZZ	55	63	56	569 x 459 x 386	63	71	66
SF-JV	FF265	132M	80	80	63	38	k6	8	5	10	6308ZZ	6207ZZ	-	66	68	637 x 459 x 386	-	74	76
	FF300	160M	110	110	90	42	k6	8	5	12	6309ZZ	6308ZZ	110	120	110	778 x 602 x 557	134	144	134
	FF300	160L	110	110	90	42	k6	8	5	12	6309ZZ	6308ZZ	150	140	140	822 x 602 x 557	174	164	164
	FF350	180M	110	110	90	48	k6	9	5.5	14	6311ZZ	6310ZZ	195	190	200	854 x 652 x 610	222	217	227
	FF350	180L	110	110	90	55	m6	10	6	16	6312ZZ	6310ZZ	225	235	225, 240	892 x 652 x 610	252	262	252, 267

## Connection

Construction of Lead Wires	Connection Diagram	
	LT	HT *
 <p>Terminal Block Lead Wire</p>	 <p>CONNECTION DIAGRAM HIGH VOLTAGE 380-440V Y-DIRECT STARTING LOW VOLTAGE 220V Δ-DIRECT STARTING LOW VOLTAGE 220V Y-Δ STARTING Y-Δ STARTING CONTROLLED CIRCUIT Y-Δ STARTING CONTROLLED CIRCUIT Y-Δ STARTING CONTROLLED CIRCUIT LT 54H331</p>	 <p>CONNECTION DIAGRAM 220-440V DIRECT STARTING 220-440V Y-Δ STARTING 220-440V Δ STARTING TAKING OUT OF CONNECTION BAR HT 54H4531</p>
<p>Lead Wire</p> <p>IP 22: 80M ~ 90L IP 44: 63M ~ 71M IP 55: 160M ~ 250M</p>  <p>Lead Wire</p>	 <p>CONNECTION DIAGRAM (端子接続図) DUAL VOLTAGE LOW VOLTAGE HIGH VOLTAGE SOURCE SOURCE R S T R S T U1 V1 W1 U1 V1 W1 U2 V2 W2 U2 V2 W2 LT 54H331</p>	 <p>CONNECTION DIAGRAM (端子接続図) Y-Δ STARTING (スタートルタ社動) STARTING (始動) RUNNING (運転) SOURCE SOURCE R S T R S T U1 V1 W1 U1 V1 W1 U2 V2 W2 U2 V2 W2 HT 54H331</p>

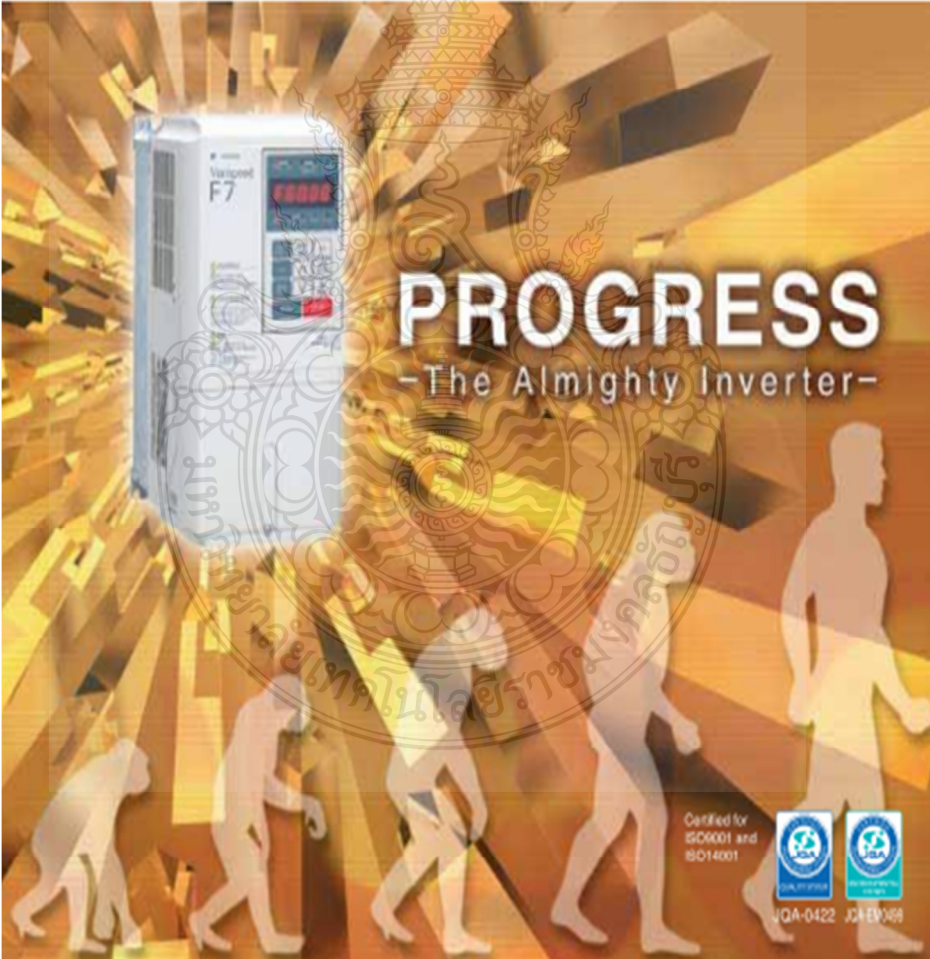
\* HT can be used only with motors 5HP and above.

ก.3 แคตตาล็อกอินเวอร์เตอร์

  
YASKAWA

ADVANCED CURRENT VECTOR CONTROL  
GENERAL-PURPOSE INVERTER  
**Varispeed F7**

200V CLASS 0.4 TO 110 kW (1.2 TO 160 kVA)  
400V CLASS 0.4 TO 300 kW (1.4 TO 510 kVA)



## Extra Value at Maximum Cost-performance

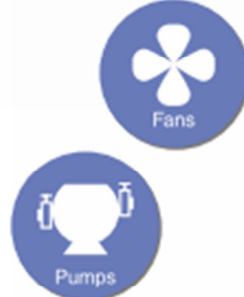
The Varispeed F7 has achieved progress toward an almighty inverter with an advanced flux vector control.

The Varispeed F7 achieves optimum control over a wide range of applications for the variable torque applications, such as fans and pumps,

and the constant torque applications, such as extruders and printing machines.

Take advantages of the Varispeed F7 that provides the significant performance and functions equivalent to a higher-class inverter, such as variable speed range of 1:1000, torque limit, and torque control, with the maximum cost performance.

For Variable Torque (VT)



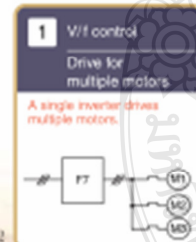
For Constant Torque (CT)



Note: For the applications that require high torque with low torque, overvoltage capacity above 150%, increase the inverter capacity or ask a higher capacity inverter "Varispeed G".

# PROGRESS

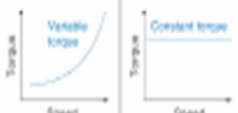
Equipped with 4 Control Modes



**PERFORMANCE** High Performance to upgrade your machine

**Optimum characteristics for your application**

The optimum control can be obtained by selecting characteristics for variable torque (VT) or constant torque (CT).

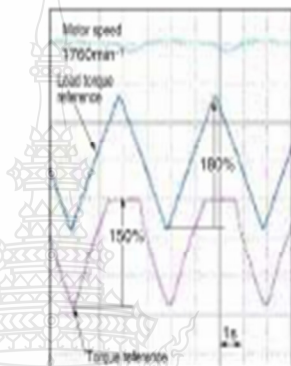
VT/CT Selector	VT	CT
Inverter Constants	C6-01=1	C6-01=0
Load Characteristics	 Fan, pumps, etc. Load torque varies in proportion to motor speed. (Dissipated power is proportional to load)	 Conveyors, carriages, etc. Load torque is constant regardless of motor speed. (Motor load resistance is constant)
Inverter Characteristics	Invertor: 120% for 1 min Max. Output Frequency: 400 Hz Carrier Frequency: High carrier frequency (15 kHz max.) Stall Protection Level: 120%	Invertor: 150% for 1 min Max. Output Frequency: 300 Hz Carrier Frequency: Low carrier frequency (4 kHz) Stall Protection Level: 150%

\*1: Only VT is available for 200V-class 11kW and 240V-class 20/30kW inverters.  
 \*2: The factory setting of Variopeed F7 SPEC E or later is C6-01 constant torque. If noise from the motor causes a problem after having replaced the Variopeed F7 with that of SPEC E or later, set C6-01 to 1.

**Torque Control to Protect Machines**

The precision torque limit function allows accurate control of the output torque, protecting your machines from sudden load fluctuations.

**Torque Control (Torque limit set at 150%)**



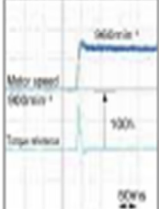
**High-speed response**

Open-loop vector control: Speed response 5Hz  
 Flux vector control: Speed response 40 Hz/motor unit

With a PG, our unique high-speed current vector control enables your machine to respond more rapidly to speed-reference changes. The speed remains constant even if the load fluctuates.

**Quick Response to Reference Changes**

Speed reference step response



**Handles Sudden Load Fluctuations\***

Facilities that experience load fluctuations such as paper mills, steel mills, etc.

\*: Speed recovery characteristics upon load surges

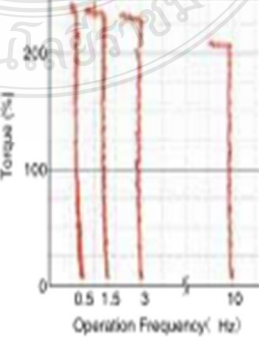
**High starting torque**

With flux-vector control, a high-torque operation of 150% or more is possible from zero speed.

With open-loop vector control, a high-torque operation of 150% at 0.5 Hz is possible from a low speed of 1/100 when CT is selected.

**High Torque from 1/100 Speed**

Dynamic autotuning, open-loop vector control  
 Speed control range: 1/100, with P(1:100)



**Varispeed**  
 Constant torque

**CONTENTS**

- Features 3
- Digital Operator 8
- Specifications 10
- Conversion Diagram and Symbolization 12
- Dimensions 14
- Software Functions 18
- Constants List 21
- Constant Descriptions 29
- Application Examples 57
- Protective Functions 61
- Typical Diagnostic Datalog 64
- Options, Peripheral Devices 67
- Notes 90
- Supplements 94
- Service Network 97

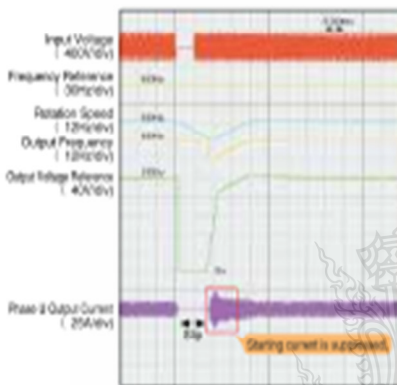
## FUNCTIONS Fully Equipped Functions to meet diverse needs

### High-speed search (patent pending)

- The high-speed search function reduces the recovery time after momentary power loss (halved in in-house comparison).
- Recovery is possible regardless of direction of rotation without speed detector.

#### Quick, Shockless Start

(Continued operation after momentary power loss)

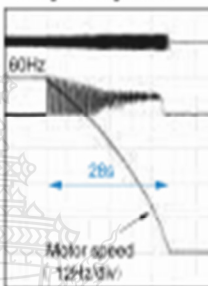


### Quick stop without using braking resistor

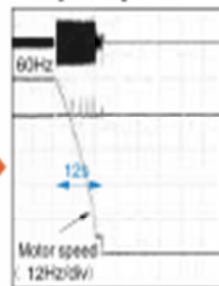
The newly developed high-slip braking function reduces deceleration time to 50% (comparison with Yaskawa conventional inverters) without using a braking resistor even for a load with high moment of inertia. This function is effective for emergency stop of machines with high moment of inertia such as press machines, centrifuges, and blowers.

Note: Do not use this function frequently. Doing so may cause motor overheating.

#### Deceleration to a stop without using a braking resistor



#### High-slip braking stop without using a braking resistor



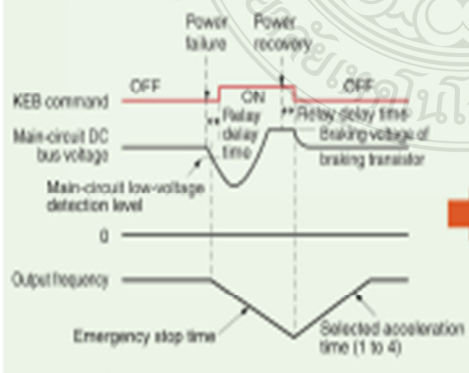
### Backup during power loss with kinetic energy

The KEB (Kinetic Energy Back-up) function enables operation during a momentary power loss without blocking.

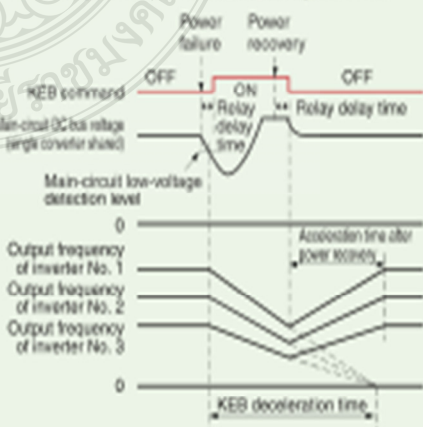
This function is effective for production lines for film, textiles and other products that require measures against momentary power loss as well as for machine-tool spindle motors that require an emergency stop because of power failure.

The KEB function can also be used to keep a constant speed ratio (line speed ratio) among inverters.

#### Standard KEB Operation



#### KEB Operation for Constant Line Speed Ratio



## ■ New functions to support your machine (with flux vector control)

### Torque Control

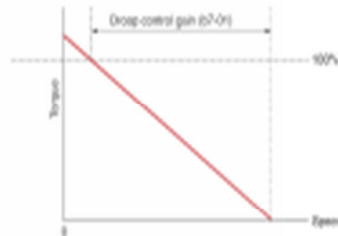
The motor torque can be controlled freely using external references. This function is effective for winding and rewinding motions of winders.

Configuration	Winding Operation		Rewinding Operation	
	Forward	Reverse	Forward	Reverse
Motor Ratio (Ratio)	Front end	Reverse	Front end	Reverse
Torque Reference Polarity (TSP)	(+)	(-)	(-)	(+)
Speed Limit Polarity (SLP)	(+)	(-)	(-)	(+)
Generated Torque				

### Droop Control

This function arbitrarily sets the slip of the motor. This function is effective for material handling machines such as cranes and conveyors.

#### Droop Control Gain



Set the droop control gain as the speed reduction at a 100% motor torque, as a percentage of the maximum output frequency.

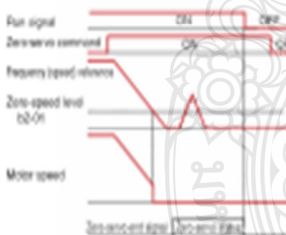
Practical use

### Zero-servo Control

No matter if an external force is applied or an offset is set for an analog reference input, this function stops a motor electrically and totally when the frequency (speed) reference drops to the zero-speed level.

#### Zero-servo Signal Timing Chart

Setting the zero-servo command to one of the multi-function contact inputs S3 to S8 enables the zero-servo function.



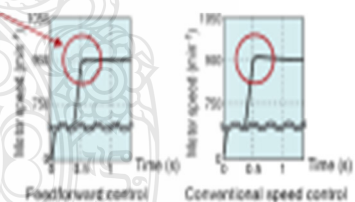
If the frequency (speed) reference decreases to the zero-speed level while the zero-servo command is ON, the motor stops at zero-speed status.

### Feedforward Control

An acceleration torque is applied by the feedforward control device, which enables a quick response. Therefore, it is not necessary to increase the gain forcibly.

This function is effective to improve response to acceleration for a load with high moment of inertia or machine with low rigidity.

#### Overshoot Control Effects



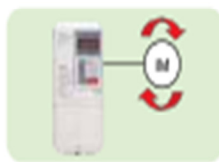
## ■ Enhanced autotuning functions

Three autotuning modes are provided to use the best of motor capacity.

#### ① Rotational autotuning

[Open-loop vector control, flux vector control]

The conventional autotuning mode. Use this mode for the applications where high-starting torque and high-speed control accuracy are required.



#### ② Stationary autotuning

[Open-loop vector control, flux vector control]

Use this mode to perform autotuning for a motor connected to a load such as material handling machine.



#### ③ Stationary autotuning for line-to-line resistance only

[V/f control]

If the motor cable length changes or the motor capacity is different from the inverter capacity in the applications using V/f control, perform this autotuning to improve the control accuracy.





## User-friendly Specifications to enhance the inverter with facilities

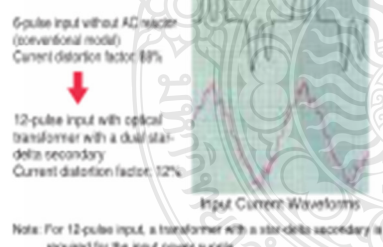
### Various I/O interfaces

- The Varispeed F7 supports various I/O Interfaces shown in the figure below. The digital reference input points are increased to 8 (conventionally 7), and the analog reference input points are increased to 3 (conventionally 2).
- Analog reference card (AI-14U and AI-14B) and digital reference card (DI-08 and DI-16H2) are also available.
- Input terminal logic can switch between sink (0V common) or source (+24V common). An external +24V power supply is also available for selecting the signal input.



### Countermeasures to minimize harmonics current

Models of 22kW or more come equipped with a built-in DC reactor to minimize harmonics current (option for models of 18.5kW or less). They also have 12-pulse input to prevent current distortion.



### Global standards

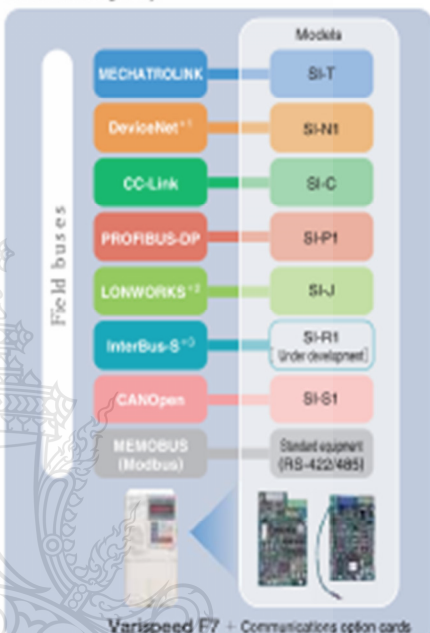
Certified by UL/cUL and CE marking



Note : When using CE standard inverters, the special EMC-compatable noise filter is required. Contact your Yaskawa representative.

### Supporting global field networks

All models are fully compliant with RS-422/485 (MEMOBUS/Modbus) standards. The networks are available by using communications option cards. Now you can connect to hosts and PLC, implement centralized management of production equipment and reduce wiring easily.



① DeviceNet is a registered trademark of Open DeviceNet Vendor Association.  
② LONWORKS is a registered trademark of Echelon Corp.  
③ Interbus is a registered trademark of Phoenix Contact Inc.

### Easy maintenance and inspection

- Detachable terminals make it easy to exchange units fully wired.
- Screw terminals for the main and the control circuits and the independent cover of the wiring parts promise easy wiring and high reliability.
- The one-touch detachable cooling fan life is extended with the on/off control function.
- The accumulated operation time and the cooling fan operation time can be recorded and displayed.



## SOFTWARE DriveWizard 100 to support adjustment and maintenance

Note: When using VFDspeed F7 with a PC, DriveWizard 100 is required for operation such as parameter editing. For obtaining a DriveWizard100, contact your Yaskawa representative.

### Wide variety of on-screen operations

All constants of each inverter can be managed by a personal computer, which simplifies the adjustment and maintenance.



### System Requirements

PC	PC/AT, DOS/V-compatible device
CPU	Pentium 200 MHz min.
Main Memory	64 MB min. (36 MB min. recommended)
Free Hard Disk Space	For standard setup • 100MB min. (200MB min. recommended for installation)
Resolution	Super VGA monitor (800 x 600 pixels, small fonts)
Number of Colors	256 colors min. (65,536 colors min. recommended)
OS	<ul style="list-style-type: none"> <li>• Windows 98</li> <li>• Windows NT4.0 Service Pack3 or later (IE4.01 Service Pack2 or later)</li> <li>• Windows 2000</li> <li>• Windows ME</li> <li>• Windows XP</li> </ul>
Others	<ul style="list-style-type: none"> <li>• RS-232C, RS-422, or RS-485 IF</li> <li>• CD-ROM drive (for installation only)</li> <li>• Adobe Acrobat Reader (Adobe Systems Incorporated)</li> </ul>

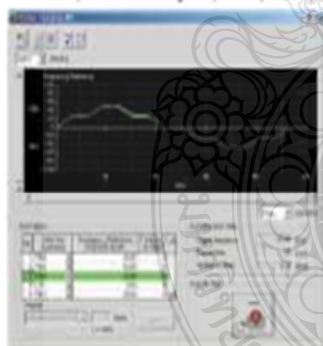
Note: Required when Help window is displayed.

Note: Pentium is a registered trademark of Intel Corporation.  
Windows and Windows NT are registered trademarks of Microsoft Corporation, U.S.A.

Features

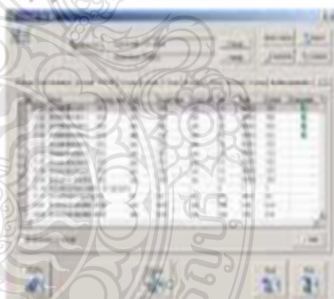
### Automatic Operation with Preset Pattern

Automatic operation according to a preset operation pattern is possible.



### Parameter Editing

Display or edit inverter constants.



### Autotuning

Automatically adjusts the motor-related inverter constants.



### Oscilloscopic Display

Monitor data during operation online.



### Troubleshooting

Confirm faults occurred. Display fault history, causes, and corrective actions.



## Digital Operator (Standard Equipment)

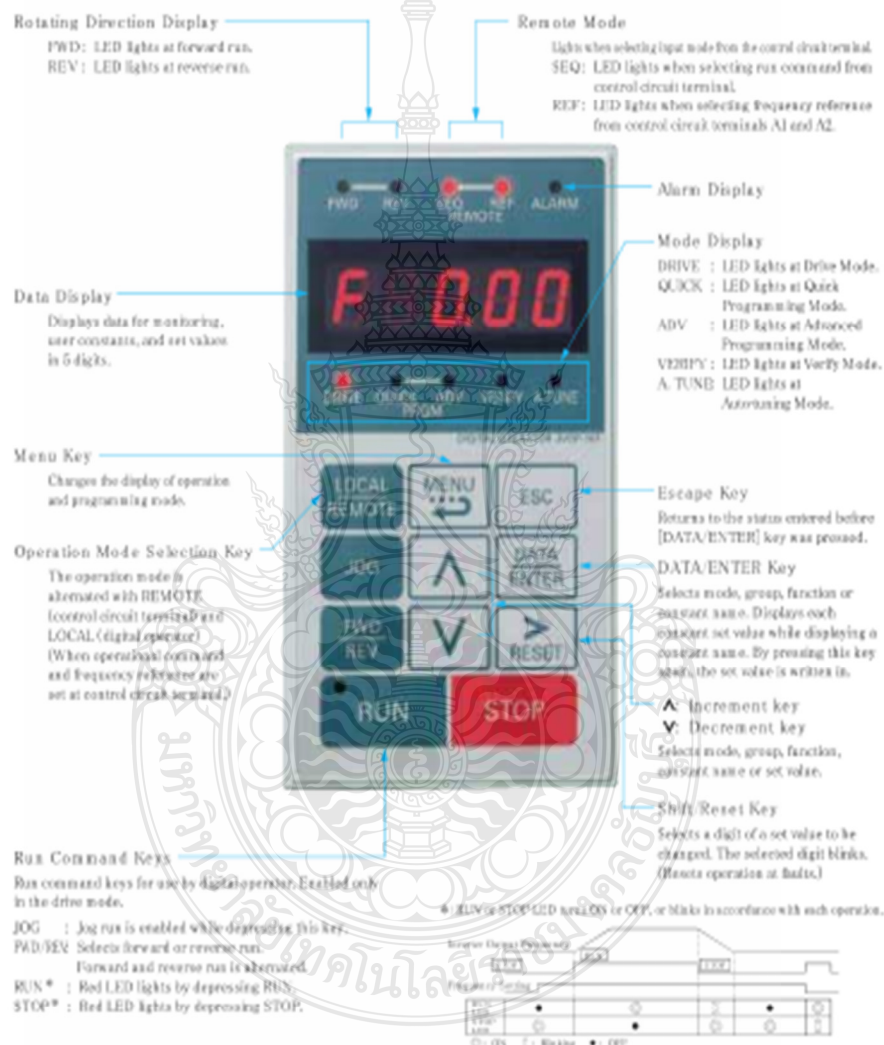


### ● Features

- The standard digital operator with easy to read LED indicators allows remote operation using an extension cable (option).
- The quick program mode requires only five constant settings.
- The verify mode enables you to check all modified constants at one time.
- Constants can be easily up/downloaded using the copy function. Even if an inverter failure occurs, operations can be quickly resumed soon after the replacement of the inverter.
- An operator with a LCD indicator corresponding to seven languages<sup>8</sup> are available as an option.

<sup>8</sup> : Japanese, Canadian, English, German, French, Italian, Spanish, and Portuguese.

### ● Functions



### Easy Operation with Digital Operator

Description	Key Operation	Operator Display
① Power ON ↓ ▪ Displays frequency reference value.		<b>F 0.00</b>
② Operation Condition Setting ↓ ▪ Select LOCAL mode.	<b>JOG</b>	<b>SENDER USE MODE, JOG, OFF</b> <b>F 0.00</b>
③ Forward JOG Run (5 Hz) JOG run procedure (Holding while depressing JOG key).	<b>JOG</b>	<b>F 5.00</b> Holding key while depressing JOG key.
④ Frequency Setting ↓ ▪ Change reference value. ▪ Write in set value. ▪ Select output frequency in editor display.	<b>DATA</b> <b>DATA</b> <b>DATA</b>	<b>F00.00</b> Change value by depression key <b>F 15.00</b> Digit to be changed (MHz) <b>F 15.00</b> <b>F 15.00</b> <b>0.00</b>
⑤ Forward Run ↓ ▪ Forward Run (15 Hz)	<b>DATA</b>	<b>15.00</b> SEND LDR ON <b>F 0.00</b>
⑥ Frequency Changing (10Hz → 40Hz) ↓ ▪ Select frequency display. ▪ Change reference value. ▪ Write in set value. ▪ Select output frequency in editor display.	<b>DATA</b> <b>DATA</b> <b>DATA</b>	<b>F 15.00</b> Change value by depression key <b>F 60.00</b> Digit to be changed (MHz) <b>F 60.00</b> <b>F 60.00</b> <b>60.00</b>
⑦ Reverse Run ↓ ▪ Switch to reverse run.	<b>DATA</b>	<b>-60.00</b> SEND LDR ON <b>F 0.00</b>
⑧ Stop ↓ ▪ Decelerates to a stop.	<b>STOP</b>	<b>0.00</b> STOP button Digital value to drive in editor

### Autotuning Function Procedure

The procedure of line-to-line resistant static autotuning at V/F control mode. (When using a motor of 3.7kW 4pole 200V 14.8A)

Description	Key Operation	Operator Display
Press the key for several times and KEYSEL LED blinks.		AUTOTUNING
Mode selection	<b>DATA</b>	<b>f 1-01</b>
Select tuning mode.	<b>DATA</b>	<b>f 1-02</b>
Select line-to-line resistant static autotuning.	<b>DATA</b>	<b>f 1-03</b>
Select motor rated output constant.	<b>DATA</b>	<b>f 1-04</b>
Check rated output.	<b>DATA</b>	<b>003.70</b>
Select motor rated current constant.	<b>DATA</b>	<b>f 1-05</b>
Check rated current.	<b>DATA</b>	<b>004.00</b>
Start autotuning.	<b>DATA</b>	<b>f Un 12</b>
Returns to drive mode.	<b>DATA</b>	<b>f Un 12</b>
		Tuning completed
		<b>End</b>
		DRIVE MODE
		<b>F 60.00</b>

Digital Operator

### Monitor Display Procedure

Description	Key Operation	Operator Display
Press the key for several times and DRIVE LED blinks.		<b>DRIVE MODE</b>
Power ON	<b>DATA</b>	<b>F 0.00</b>
Mode selection	<b>DATA</b>	<b>F 0.00</b>
Select drive mode	<b>DATA</b>	<b>0.00</b>
Performance parameters	<b>DATA</b>	<b>0.00</b>
Output torque constant	<b>DATA</b>	<b>0.00R</b>
Output current constant	<b>DATA</b>	<b>0.00</b>
Output voltage constant (selected)	<b>DATA</b>	<b>0.50</b>
PI-PI controller	<b>DATA</b>	<b>Y1-01</b>
U1-U3 controller (selected)	<b>DATA</b>	<b>Y2-01</b>
U1-U3 controller (selected)	<b>DATA</b>	<b>Y3-01</b>

### Main Monitor Functions

Parameter No.	Parameter Description	Display Value
U1-91	Frequency reference	50.0
U1-92	Output frequency	50.0
U1-93	Inverter output current	2.0%
U1-94	Control logic	0
U1-95	Motor speed	50.0
U1-96	Output voltage	500.0
U1-97	DC bus voltage	502.05
U1-98	Output current	0.0
U1-99	Torque reference command	100.0
U1-100	Input terminal status	00000000
U1-11	Output terminal status	00000000
U1-12	Control logic	00000000
U1-13	Board ID	300

## Specifications

**200 V Class** ( Specifications in blue letters are available for inverters of Spec E or later)

Model CMR-F7A	10P4	10P7	11P5	12P9	13P7	13P5	17P9	20P11	20P13	20P15	20P17	20P18	20P21	20P27	20P31	20P35	20P37	20P41	21P4	21P18
Max. Applicable Meter Output <sup>(1)</sup>	0.1	0.75	1.5	2.2	3.7	5.5	7.5	11	18	18.5	22	30	37	45	55	79	80	100		
Rated Input Current <sup>(2)</sup>	A	2.8	4.9	8.4	11.5	18	24	37	32	68	84	64	120	160	196	227	317	361	437	
Inverter Capacity kVA	1.2	1.6	2.7	3.7	5.7	8.8	12	17	23	27	32	41	56	89	80	110	158	180		
Rated Current A	3.2	4.1	7.0	9.6	15	23	31	45	58	73	85	113	185	188	235	293	318	425		
Max. Voltage																				
Max. Frequency																				
Power Supply																				
Rated Input Voltage and Frequency																				
Allowable Voltage Fluctuation																				
Allowable Frequency Fluctuation																				
Harmonic Wave Prevention	DC Reactor	Option																		
	12 Pulse input	Not available																		
Environmental Conditions	Vibration	9.8 m/s <sup>2</sup> at 20Hz or below, up to 5.9 m/s <sup>2</sup> at 20Hz to 55Hz																		

\*1: Our standard 3pole motor are used for 10A, applicable motor output. Choose the inverter model whose rated current is allowable within the inverter rated current range.

\*2: When using the inverter of 200V class 27kW or more with a cooling fan (below class 200V 50Hz or 240V 50/60Hz power supply), a transformer for the cooling fan is required.

\*3: A 3wind transformer is required at 12 pulse input.

**400 V Class** ( Specifications in blue letters are available for inverters of Spec E or later)

Model CMR-F7A	10P4	10P7	11P5	12P9	13P7	13P5	17P9	20P11	20P13	20P15	20P17	20P18	20P21	20P27	20P31	20P35	20P37	20P41	21P4	21P18
Max. Applicable Meter Output <sup>(1)</sup>	0.1	0.75	1.5	2.2	3.7	5.5	7.5	11	18	18.5	22	30	37	45	55	75	90	110	132	160
Rated Input Current <sup>(2)</sup>	A	2.2	2.5	4.4	6.4	8.8	12	19	29	30	47	50	66	93	100	128	165	196	238	284
Inverter Capacity kVA	1.4	1.6	2.8	4.0	5.8	8.3	11	18	24	34	38	45	63	89	80	110	140	200	280	319
Rated Current A	3.8	4.1	7.0	9.8	11.5	17	21	31	38	45	50	73	95	112	130	180	216	260	300	375
Max. Voltage																				
Max. Frequency																				
Power Supply																				
Rated Input Voltage and Frequency																				
Allowable Voltage Fluctuation																				
Allowable Frequency Fluctuation																				
Harmonic Wave Prevention	DC Reactor	Option																		
	12 Pulse input	Not available																		
Environmental Conditions	Vibration	9.8 m/s <sup>2</sup> at 20Hz or below, up to 5.9 m/s <sup>2</sup> at 20Hz to 55Hz																		

\*1: Our standard 3pole motor are used for 10A, applicable motor output. Choose the inverter model whose rated current is allowable within the inverter rated current range.

\*2: A 3wind transformer is required at 12 pulse input.

### Enclosures

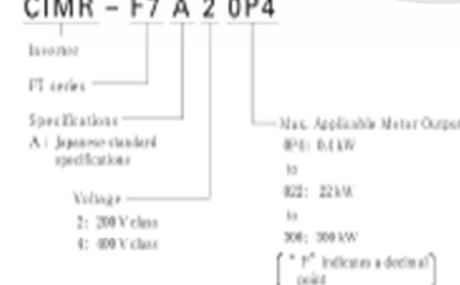
200 V Class	Model CMR-F7A	10P4	10P7	11P5	12P9	13P7	13P5	17P9	20P11	20P13	20P15	20P17	20P18	20P21	20P27	20P31	20P35	20P37	20P41	21P4	21P18
Indoor Type [IEC IP00]	Available as standard																				
Open Class Type I [IEC IP40]	Available by request. The upper and lower cover of enclosed type.																				
400 V Class	Model CMR-F7A	10P4	10P7	11P5	12P9	13P7	13P5	17P9	20P11	20P13	20P15	20P17	20P18	20P21	20P27	20P31	20P35	20P37	20P41	21P4	21P18
Indoor Type [IEC IP00]	Available as standard																				
Open Class Type I [IEC IP40]	Available by request. The upper and lower cover of enclosed type.																				

Enclosed type [IEC IP00] (Type II) : Provides a closed and sealed protection against the weather. Front and rear panels are fully covered (e.g. front, rear, left, top, bottom).

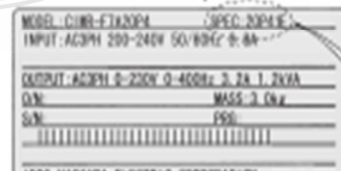
Open class type [IEC IP40] : Designed for mounting in open areas. Cannot be used when the cooling air can't reach parts direct or lead direct access to the parts by personnel.

### Model Designation

**CIMR - F7 A 2 0P4**



### Name Plate Example



## 200/400 V Class (specifications in blue letters are available for inverters of Spec E or later)

Control Characteristics	Control Method	Software PWM [ <b>Hex vector</b> , open loop vector, Y/L/Y with PG control (switched by parameter)]
	Starting Torque	150 % at 0.5Hz (Open loop vector control, CT mode) <sup>#1, #2</sup> , <b>20 % at 1Hz</b> ( <b>Vector control, CT mode</b> ) <sup>#1, #2</sup>
	Speed Control Range	1 : 100 (Open loop vector control) <sup>#1, #2</sup> , <b>1 : 1000</b> ( <b>Max vector control</b> ) <sup>#1</sup>
	Speed Control Accuracy	$\pm 0.2\%$ <sup>#3</sup> (Open loop vector control at $5^\circ\text{C} \pm 10^\circ\text{C}$ ) <sup>#1</sup> , $\pm 0.02\%$ ( <b>Max vector control</b> ) <sup>#1</sup>
	Speed Response	5 Hz (Open loop vector control) <sup>#1, #2, <b>0.1 Hz</b> (<b>Max vector control</b>)<sup>#1</sup></sup>
	Torque Limit	Provided for vector control only
	Frequency Control Range	CT mode: 0.01 to <b>300 Hz</b> <sup>#2</sup> , VT mode: 0.01 to 0.06 Hz <sup>#2</sup>
	Frequency Accuracy	Digital reference: $\pm 0.01\%$ , $-40^\circ\text{C}$ to $+40^\circ\text{C}$ ; Analog reference: $\pm 0.1\%$ , $25^\circ\text{C} \pm 10^\circ\text{C}$
	Frequency Setting Resolution	Digital Reference: 0.01 Hz; Analog reference: <b>0.03 Hz</b> ( <b>0.01 Hz</b> + <b>0.01 Hz</b> )
	Output Frequency Resolution	0.001 Hz
	Overload Capacity	CT mode: 250 % rated output current for 1 min, (not available when using 200V 130kW or 400V 220 to 300kW inverters) VT mode: 120 % rated output current for 1 min.
	Frequency Setting Signal	<b>-10Vdc</b> to <b>+10V</b> , 4 to 20 mA, pulse train
	Accel/Decel Time	0.01 to 6000.0 s (Accel/Decel time setting independently, 4 steps available)
Main Control Functions	Braking Torque	Approx. 20 % (Approx. 220 % when using braking resistor) <sup>#1</sup> Inverters of 200/400V 18.5kW series have a built-in braking machine.
		<b>Torque control</b> , <b>free coast</b> , <b>open loop control switching</b> , <b>Is/kFeedback control</b> , <b>servo control</b> , a motor power loss resistor, overspeed switch, overtorque detection, torque limit, IT/ITz speed operation (max. 10m), accel/decel time characteristics, frequency control, dwell sequence, starting (dynamic, static), DwellL, coasting (ON/OFF), coast time, coast frequency, stop sequence, jump frequency, frequency upper/lower limit settings, DC injection braking (constant current braking), T/F control (with sleep function), energy saving control, MEU (MEU) selection (VS-000/420 ms, 002-000), fault reset, constant torque, etc.
Protective Functions	Motor Overload Protection	Electronic thermal overload relay
	Instantaneous Overcurrent	Motor current is greater than or equal to 200 % rated current at 100ms.
	Fuse Protection	Motor current is less than or equal to rated current.
	Overload	CT mode: Motor current is 1.5 to 1.50 % higher than rated current for 1 min. VT mode: Motor current is 1.5 to 1.50 % higher than rated current for 1 min.
	Overvoltage	Motor current is higher than rated current when excess voltage occurs. 400VDC approx. 80VDC for 400V class, Motor current is high if the main circuit voltage drops to approx. 100% of supply. 200VDC for 400V class or below.
	Undervoltage	Protection stops after 10 seconds. When power loss is further prolonged, Inverter operates during power loss less than 10 seconds.
	Momentary Power Loss	Continuous operation during power loss less than 10 seconds.
	Fan Overheat	Thermostat
	Stall Prevention	Stall prevention during acceleration/deceleration and constant speed operation
Environmental Conditions	Ground Fault <sup>#3</sup>	Protected by electronic circuit (current limit level)
	Power Charge Indication	To indicate whether the inverter input voltage reaches 20V
	Location	Indoor (Protected from rainwater in indoor and outdoor)
	Humidity	95.8%RH (noncondensing)
	Storage Temperature	-20 to 60 °C (for short period during shipping)
Ambient Temperature	Ambient Temperature	-10 to 40 °C for NEMA type, -20 to 45 °C for open chassis type
	Altitude	1000 m or below

Specifications

#1: Specifications for open vector control and flat vector control require dynamic auto-tuning.

#2: When exceeding the overload capacity, increase the inverter capacity.

#3: The speed control accuracy depends on the installation condition and type of motor used. Contact your Yamaha representative for details.

#4: When using a braking resistor or braking resistor unit, set [001]=0 (deactivation stall prevention). If not, motor may not stop at the set time.

#5: The ground fault here is one that occurs in the motor wiring during operation. Ground faults may not be detected under the following conditions.

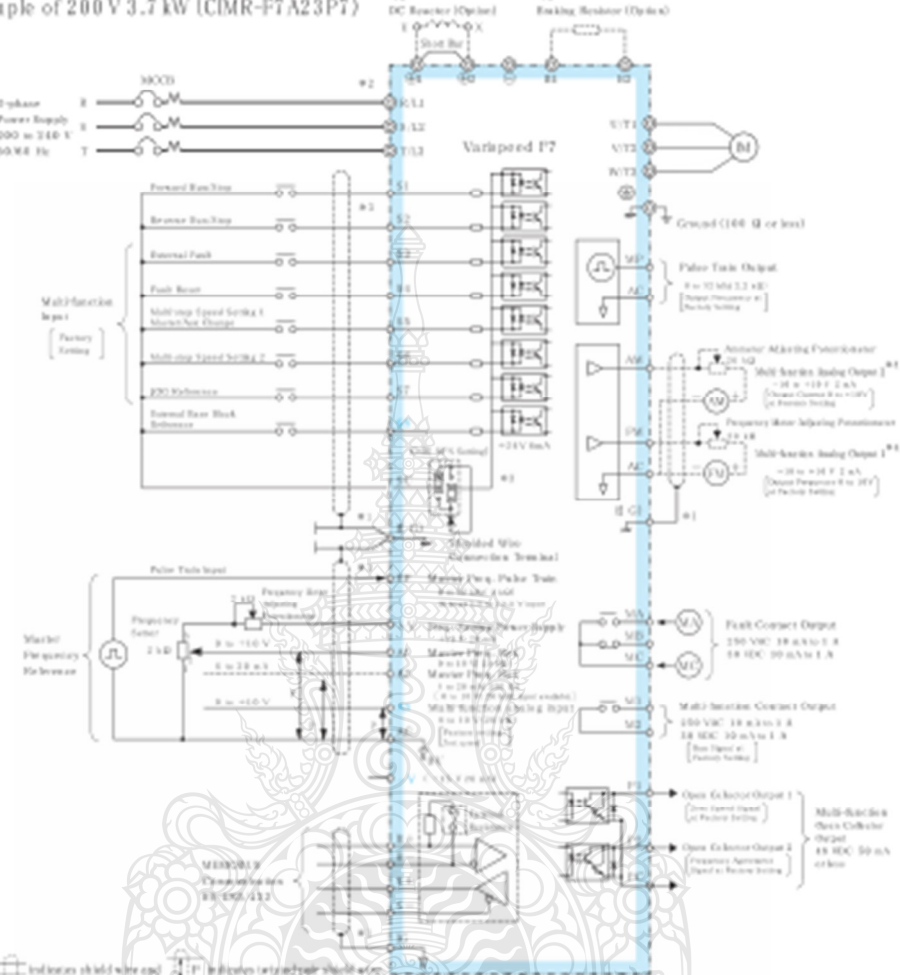
• A ground fault with low resistance which occurs in motor cables or terminals.

• The inverter power supply is turned ON after a ground fault has occurred.

## Connection Diagram and Terminal Functions

Varispeed F7 (Specifications in blue letters are available for inverters of Spec E or later)

Example of 200V 3.7 kW (CIMR-F7A23PT)

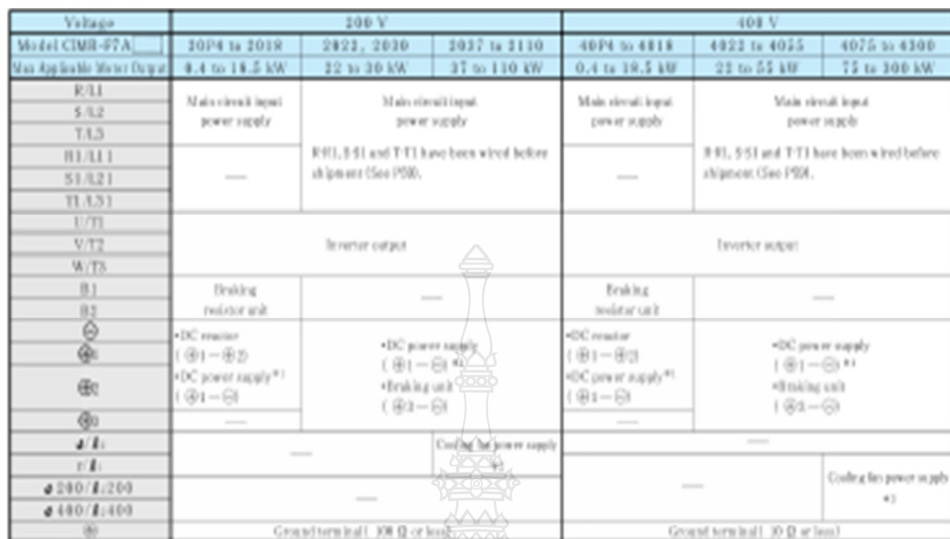


Control Circuit and Communication Circuit Terminal Arrangement (Specifications in blue letters are available for inverters of Spec E or later)

K/G	FM	AC	AM	P1	P2	P/C	SC	MP	R/P	R/S	R/-	S+	S-	IG	MA	MIR	NC
SC	A1	A2	A3	+V	-NC	Y											
51	52	53	54	55	56	57	58										

## Terminal Functions

### Main Circuit



- \*1:  $\oplus 1 - \ominus$  DC power input does not respond to U/T1, V/T2, W/T3 burst signals.
- \*2: Cooling fan power supply  $\oplus F_1 - \ominus F_2$ : 200 to 220 VAC 50/60 Hz, 200 to 220 VAC 50/60 Hz.
- \*3: A transformer is required for 230 V/50 Hz or 230 V/60 Hz power source.
- \*4: Cooling fan power supply  $\oplus F_1 - \ominus F_2$ : 200 to 220 VAC 50/60 Hz, 200 to 220 VAC 50/60 Hz;  $\oplus F_3 - \ominus F_4$ : 400 to 480 VAC 50/60 Hz.

### Control Circuit (200V/400V Class)

Supplementary functions below sections are available for inverters of Spec E or later.

Classification	Terminal	Signal Function	Description	Signal Level
Sequence Input Signal	S1	Forward run stop signal	Forward run "closed", stop "open".	
	S2	Forward run stop signal	Reverse run "closed", stop "open".	
	S3	Multi-function input selection 1	Factory setting: current limit 7% closed.	
	S4	Multi-function input selection 2	Factory setting: current limit 10% closed.	
	S5	Multi-function input selection 3	Factory setting: motor feedback switch "closed".	
	S6	Multi-function input selection 4	Factory setting: motor feedback switch "closed".	
Analog Input Signal	A1	Multi-function input selection 5	Factory setting: current limit 10% closed.	
	A2	Multi-function input selection 6	Factory setting: current limit 10% closed.	
	A3	Motor speed pulse input	Factory setting: 2000 pulses/min.	+15V (Variable current 20 mA max.)
	-A1	DCY Pulse output 1/0	Factory setting: 1000 pulses/min.	+15V (Variable current 20 mA max.)
	A4	Motor current feedback signal	(0 to +10V) 0% to 100% (0 to +10V) 0% to 100%	0 to +10V (Input impedance 2MΩ)
	A5	Motor torque feedback signal	(0 to +10V) 0% to 100% (0 to +10V) 0% to 100%	4 to 20 mA (Output impedance 250Ω)
Open-collector Output	P1	Multi-function FNC output 1	Factory setting: open collector.	+15V (0 to +10V Output impedance 2MΩ)
	P2	Multi-function FNC output 2	Factory setting: open collector.	+15V (0 to +10V Output impedance 2MΩ)
Relay Output	P3	Plastic capacitor test signal	Factory setting: open collector.	
	M1	Forward 1MO contact	Factory setting: forward 1MO contact M1 and MC.	Dry contact, contact capacity: 250 VAC 10 mA to 1A
	M2	Forward 1MO contact	Factory setting: forward 1MO contact M2 and MC.	Dry contact, contact capacity: 250 VAC 10 mA to 1A
	M3	Relay contacts control terminal	Factory setting: open collector.	
Analog Monitor Output	AM	Multi-function analog interface 1	0 to 10V (0 to 1000 Hz frequency 83 to 145V/100% freq.)	-10 to +10VDC 0.5%
	AM'	Multi-function analog interface 2	0 to 10V (0 to 1000 Hz frequency 83 to 145V/100% freq.)	2 mA or less
Pulse I/O	IP	Multi-function pulse input	Factory setting: frequency reference logic (0/99)=0	0 to 30 kHz (1.2kΩ)
	IM	Multi-function pulse output	Factory setting: output frequency 0/100=0	0 to 30 kHz (1.2kΩ)

Connection Diagrams and Terminal Functions

### Communication Circuit Terminal (200V/400V Class)

Classification	Terminal	Signal Function	Description	Signal Level
RS-485/422 Transmission	R+	MODBUS communication input		Differential input PtC isolation
	R-		When using two RS-485 wires, short circuit between R+ and S+, R- and S-.	
	S+	MODBUS communication output		Differential output PtC isolation
RS-485/422 Reception	GND	Shielded wire for common potential		—





The 3<sup>rd</sup> International Conference  
On Sustainable Energy and Green Architecture  
Chaophya Park Hotel, Bangkok, Thailand  
March 14-16, 2012

## Abstracts Book



**Conference theme:** Climate Change Mitigation through Sustainable Built Environment development

Organized by:



**RCSSE**  
ENERGY & ENVIRONMENT

Rattanakosin College for Sustainable Energy and Environment, Rajamangala University of Technology Rattanakosin

Co-Hosted by:



Faculty of Architecture Kasetsart University

## Organizing Committees

### **Chairperson**

- Joseph KHEDARI

### **Advisor**

- Issaree HUNSACHAROONROJ

### **Treasurer**

- Montana WISAWABUMRUNGCHAI

### **Conference Coordinator**

- Pard TEEKASAP

### **International Scientific Committee**

- Mana AMORNKITBAMRUNG *King Mongkut's University of Technology, Thailand*
- Hazim B. AWBI *University of Reading, UK*
- Nam-Choon BAEK *Korea Institute of Energy Research, Korea*
- Tika BUNNAG *Rajamangala University of Technology Rattanakosin, Thailand*
- Preeda CHANTAWONG *King Mongkut's University of Technology, Thailand*
- Michel DAGUENET *France*
- David ETHERIDGE *University of Nottingham, UK*
- Gian Vincenzo FRACASTORO *Politechnico di Torino, Italy*
- Yves GAGNON *University of Moncton, Canada*
- Shabbir H. GHEEWALA *King Mongkut's University of Technology, Thailand*
- Fariborz HAGHIGHAT *Concordia University, Canada*
- Jongjit HIRUNLABH *King Mongkut's University of Technology, Thailand*
- Yoon Jong HO *Hanyang National University, Korea*
- Issaree HUNSACHAROONROJ *Rajamangala University of Technology Rattanakosin, Thailand*
- Raphael Muzondiwa JINGURA *Chinhoyi University of Technology, Zimbabwe*

- Joseph KHEDARI *Rajamangala University of Technology Rattanakosin, Thailand*
- Pojanie KHUMMONGKOL *King Mongkut's University of Technology, Thailand*
- Yuguo LI *University of Hong Kong, China*
- Martin LIDDAMENT *The International Journal of Ventilation, UK*
- Christian MASSON *University of Quebec, Canada*
- Noppanun NANKONGNAB *Mahidol University, Thailand*
- Hideaki OHGAKI *Nagoya University, Japan*
- S. A. OKE *University of Lagos, Nigeria*
- Phadungsak RATTANADECHO *Thammasat University, Thailand*
- Claude-Alain ROULET *Swiss Federal Institute of Technology, Switzerland*
- Massood SAMII *Southern New Hampshire University, USA*
- S. C. SEKHAR *National University of Singapore, Singapore*
- U-Cheul SHIN *Daejeon University, Korea*
- Suntud SIRIANUNTAPIBOON *King Mongkut's University of Technology, Thailand*
- Pasinee SUNAKORN *Kasetsart University, Thailand*
- Pattaranan TAKKANON *Kasetsart University, Thailand*
- Sombat TEEKASAP *Eastern Asia University, Thailand*
- Kittichai TRIRATANASIRICHAI *Khon Kaen University, Thailand*
- Ming-Lang TSENG *Ming Dao University, Taiwan*
- Sopa VISITSAK *Kasetsart University, Thailand*
- Jompob WAEWSAK *Thaksin University, Thailand*
- L. Q. "Rick" WANG *University of Hong Kong, China*
- Somchai WONGWIES *King Mongkut's University of Technology, Thailand*
- Nuparb YAMTRAIPAT *Mahanakorn University of Technology, Thailand*
- Belkacem ZEGHMATI *Universite de Perpignan Via Domitia, France*

#### Committee

- Tika BUNNAG (Chair)
- Vorakamol BOONYAYOTHIN
- Kanokorn HUSSARO
- Waraporn KLINBUN
- Manjiri KUNTE
- Withaya PUANGSOMBUT
- Pard TEEKASAP
- Tusanee TONDEE

- Joseph KHEDARI *Rajamangala University of Technology Rattanakosin, Thailand*
- Pojanie KHUMMONGKOL *King Mongkut's University of Technology, Thailand*
- Yuguo LI *University of Hong Kong, China*
- Martin LIDDAMENT *The International Journal of Ventilation, UK*
- Christian MASSON *University of Quebec, Canada*
- Noppanun NANKONGNAB *Mahidol University, Thailand*
- Hideaki OHGAKI *Nagoya University, Japan*
- S. A. OKE *University of Lagos, Nigeria*
- Phadungsak RATTANADECHO *Thammasat University, Thailand*
- Claude-Alain ROULET *Swiss Federal Institute of Technology, Switzerland*
- Massood SAMII *Southern New Hampshire University, USA*
- S. C. SEKHAR *National University of Singapore, Singapore*
- U-Cheul SHIN *Daejeon University, Korea*
- Suntud SIRIANUNTAPIBOON *King Mongkut's University of Technology, Thailand*
- Pasinee SUNAKORN *Kasetsart University, Thailand*
- Pattaranan TAKKANON *Kasetsart University, Thailand*
- Sombat TEEKASAP *Eastern Asia University, Thailand*
- Kittichai TRIRATANASIRICHAI *Khon Kaen University, Thailand*
- Ming-Lang TSENG *Ming Dao University, Taiwan*
- Sopa VISITSAK *Kasetsart University, Thailand*
- Jompob WAEWSAK *Thaksin University, Thailand*
- L. Q. "Rick" WANG *University of Hong Kong, China*
- Somchai WONGWIES *King Mongkut's University of Technology, Thailand*
- Nuparb YAMTRAIPAT *Mahanakorn University of Technology, Thailand*
- Belkacem ZEGHMATI *Universite de Perpignan Via Domitia, France*

#### Committee

- Tika BUNNAG (Chair)
- Vorakamol BOONYAYOTHIN
- Kanokorn HUSSARO
- Waraporn KLINBUN
- Manjiri KUNTE
- Withaya PUANGSOMBUT
- Pard TEEKASAP
- Tusanee TONDEE

	A	B	C	F	G
19	18	RE-18	Somphol Chiwamongkolkarn; Jompob Waewsak;	Wind Resource Assessment Using CFD Model for Simple Terrain in Southern Thailand	
20	19	RE-19	Jakaphong Kongpanya; Kanokorn Hussaro; Joseph Khedari	Potential and Perspectives of Biomass from Palm Oil Mill for use as Renewable Energy in Thailand	 DOWNLOAD
21	20	RE-20	Amornthep Pattayanun; Krischonme Bhumkittipich	Optimal Placement of Large-Scale PV Power Generation Systems in Radial Distribution Systems for Loss Reduction	
22	21	RE-21	Taswal Kumpeerapun; Voravit Kosalathip; Jongjit Hirunlabh	Electricity by Waste Heat Recovery from Household Equipments	
23	22	RE-22	Sawat yukhalang and Krischonme Bhumkittipich	Load-Frequency Control of Interconnected Power System by using Fuzzy Logic Controller	 DOWNLOAD
24	23	RE-23	Supawat Kamtip and Krischonme Bhumkittipich	Design and Analysis of Interleaved Boost Converter for Renewable Energy Applications	 DOWNLOAD
25	24	RE-24	Udomsak Yoosanong and Krischonme Bhumkittipich	Analysis Overvoltage Problem at Terminal of Induction Motors	 DOWNLOAD
26	25	RE-25	Sontaya Manmai, Nathabhat Phankong, Krischonme	Modeling of Grid-connected with Permanent Magnet Synchronous Generator (PMSG) by Using Vector Control	 DOWNLOAD
27	26	RE-26	Seksit Kheampong and Krischonme Bhumkittipich	Design of an Algorithm for Faults Location on 22 kV Distribution System	 DOWNLOAD
28	27	RE-27	Nopparat Moungkhum, Wanchai Subsingha	SVPWM AC-DC Converter by Do Frame Control Technique	



## ANALYSIS OVERVOLTAGE PROBLEM AT TERMINAL OF INDUCTION MOTORS

Udomsak Yoosanong and Krischonme Bhumkittipich

Power and Energy System Research Center (PSRC), Rajamangala University of Technology Thunyaburi, 39 Moo 1 Rangsit-Nakhonnayok Rd. Klong 6, Thunyaburi Pathum Thani, 12110 Thailand, Corresponding Author, E-mail: [krischonme.b@en.rmutt.ac.th](mailto:krischonme.b@en.rmutt.ac.th)

### ABSTRACT

This paper present the analysis overvoltage problem at terminal of induction motors drive by PWM inverter at long cable. For analysis problem in industrial have the long cable between inverter drive with induction motor cause insulation of winding the motor damage. This problem in paper used MATLAB program analysis and simulation include the high-frequency cable model and high-frequency induction motor model. The cable used in paper is no AWG length 35 m and 75 m. For induction motor 1.5 Kw, 3 phase 380 V. The result of paper found that key factor caused problem is impedance of long cable and induction motor, the overvoltage have the value around 2 time of the DC link in inverter drive.

Keyword: PWM Inverter, Impedance, D.C. Link

### INTRODUCTION

In the induction motor drive system with electronic devices are being used more widely in the industry with an easy-to-performance induction motor control, the machine properly and to save energy machine. It is time for the development of electronic devices such as power transistors or Insulated Gate Bipolar Transistor (IGBT) has the ability to work at the switching frequency and high voltage electrical currents. The adoption of the IGBT is developed for induction motor speed control (Variable Speed Drives, VSD) with a control technique that is widely used in the PWM (Pulse-Width Modulation).

The characteristic of the IGBT switching frequency up to 20 kHz. [1] As a result, the voltage and time  $dv/dt$  500 - 600 v/μs. (e.g.B.Basavaraja et al.,2006) of the changes. in the case of power cable

between the output of the inverter and motor, the distance will result in voltages exceeding the power of the motor. It is the result of the impedance of the cable conductors and motor. (e.g. B.Basavaraja et al., 2007) (e.g. Toshihisa et al., 2009)

This paper presents the simulation of such problems by using computer program to simulate three-phase induction motor of 1.5 Kw, 380 V. The cable size range 6 sq.mm, cable 35 meters and 75 meters. Order

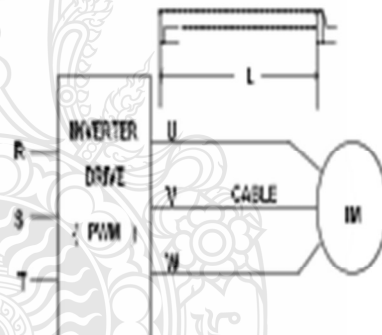


Figure1. Diagram of the problem

### INVERTER MODEL

Because the Overvoltage at Terminal of motor occur DC link voltage in inverter has changed  $dv/dt$  Cause the voltage at the DC Link as a reference. DC Link voltage is determined from the equation.

$$V_{dc} = \sqrt{\frac{2}{\pi}} \times V_s \quad (1)$$

When,  $V_{dc}$  is a voltage at D.C. link and  $V_s$  is Voltage input for VSD

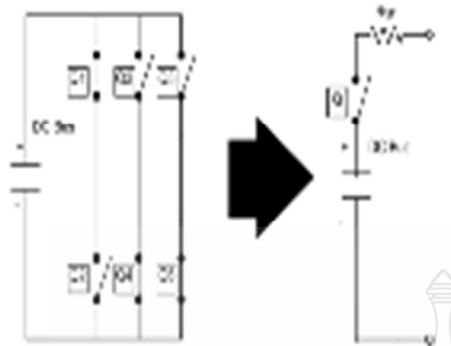


Figure 2. Inverter model used analysis

Figure 2 shows schematic diagram inverter 3 phase transfer circuit diagram use for switching model in PWM inverter 2 level simulations.

#### HIGHT- FREQUENCY CABLE MODEL

An estimations of the cable parameter use for simulations this paper present cable model include impedance of long cable, RLC per-unit length. Figure 3. Parameter RLC estimations for equation (2)-(8) (e.g. Alessandro et al., 2002)

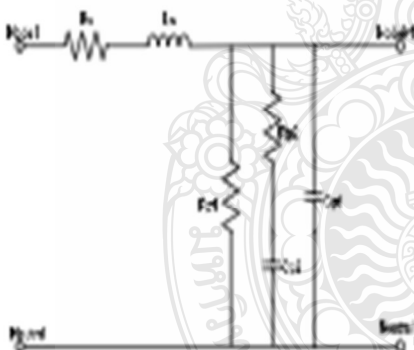


Figure 3. High-frequency model of the power cable per-unit length.

The cable characteristic impedance is calculated from short-circuit and open-circuit impedances according to (2) (e.g. Alessandro et al., 2002)

$$Z_0 = \sqrt{(Z_{oc} Z_{sc})} \quad (2)$$

When,  $Z_0$  is the cable characteristic  $Z_{oc}$  is open circuit impedance and  $Z_{sc}$  is short circuit impedance

The experiments were conducted using 1-m samples of the cable gauges: #6 AWG, in which  $f_{low}$  and

$f_{high}$  are the lowest (100 Hz) and highest (2 MHz) test frequency in the impedance measurement.

$$R_g = \frac{2}{3} \operatorname{Real}[Z_{oc}] f_{low} \quad (3)$$

$$L_g = \frac{2}{3} \frac{1}{2\pi f_{high}} \operatorname{Imag}[Z_{oc}] f_{high} \quad (4)$$

$$R_{pl} = 2 \left( \operatorname{Real}[Z_{oc}] f_{low} \right) \left[ \left( \frac{\operatorname{Imag}[Z_{oc}] f_{low}}{\operatorname{Real}[Z_{oc}] f_{low}} \right)^2 + 1 \right] \quad (5)$$

$$R_{pl} = 2 \left( \operatorname{Real}[Z_{oc}] f_{high} \right) \left[ \left( \frac{\operatorname{Imag}[Z_{oc}] f_{high}}{\operatorname{Real}[Z_{oc}] f_{high}} \right)^2 + 1 \right] \quad (6)$$

$$C_{pl} = \left[ \left( 2\pi f_{high} \right) \left( \frac{\operatorname{Real}[Z_{oc}] f_{high}}{\operatorname{Imag}[Z_{oc}] f_{high}} \right) R_{pl} \right]^{-1} \quad (7)$$

$$C_{pl} = \left[ \left( 2\pi f_{low} \right) \left( \frac{\operatorname{Real}[Z_{oc}] f_{low}}{\operatorname{Imag}[Z_{oc}] f_{low}} \right) R_{pl} \right]^{-1} - C_{pl} \quad (8)$$

When,  $R_g$  is resistance of short circuit impedance.  $L_g$  is the inductance of short circuit-impedance. Resistance of open circuit impedance is  $R_{pl}$ ,  $R_{oc}$  and  $C_{pl}$ ,  $C_{oc}$  is the capacitance of open circuit- impedance

#### HIGH-FREQUENCY INDUCTION MOTOR MODEL

Another key factor for analysis overvoltage at terminal induction motor is input impedance of motor the value of input impedance varies as a function of frequency. (e.g. Alessandro et al., 2002). The model motor input impedance is based on high-frequency model. The parameter of the model are derived using the frequency responses of the phase-to-neutral impedance ( $Z_{pn}$ ) and phase-to-ground impedance ( $Z_{pg}$ )[6]. Parameter of high frequency model estimations for equation (9)-(15) (e.g. Alessandro et al., 2002) The experiments were induction motor use 3 phase 1.5 Kw. 380 V

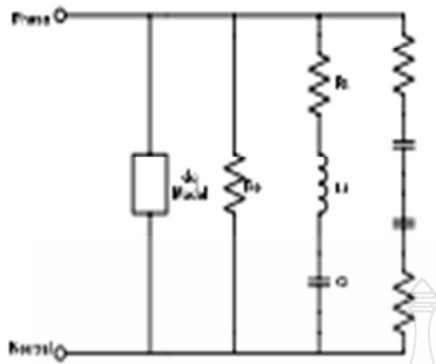


Figure 4. High-frequency of induction motor and the dynamic d-q model

Fig 4 Show the proposed per-phase high-frequency motor model that is used in the calculation on the overvoltage. The dynamic d-q model is responsible for capturing the low-frequency transient, while the remaining network is responsible to represent the high-frequency phenomena. Winding-to-ground capacitance and winding turn-to-turn capacitance is the major role in the high-frequency phenomena. (e.g. Alessandro et al., 2002) (e.g. Said et al., 2008). In order to estimate the parameter of high-frequency part of the model, it is suggested to replace the d-q model by a lumped inductance  $L_q$ .

$$C_g \approx \frac{1}{2} \left( \frac{1}{3} \right) \frac{1}{(2\pi f_{low}) \operatorname{Imag}(Z_{pg}) f_{low}} \quad (9)$$

$$R_g \approx 3 \times \operatorname{Rcal}(Z_{pg}) f_{high} \quad (10)$$

$$L_d \approx \frac{2}{C_g} \left( \frac{1}{2\pi f_{peak} Z_{pg}} \right)^2 \quad (11)$$

$$R_c \approx 3 \times \operatorname{Imag}(Z_{pg}) f_{peak} \cdot Z_{pg} \quad (12)$$

$$C_t \approx \frac{C_g}{10} \quad (13)$$

$$L_l \approx \frac{1}{C_l} \left( \frac{1}{2\pi f_{zcm} \cdot Z_{pg}} \right)^2 \quad (14)$$

$$R_l \approx 3 \times \operatorname{Rcal}(Z_{pg}) f_{zcm} \cdot Z_{pg} \quad (15)$$

When  $C_g$  is winding to ground capacitance  $R_g$  is motor frame resistance  $L_d$  is lumped inductance  $R_c$  is responsible to account for losses introduced by eddy current inside the magnetic core and  $R_l, L_l, C_l$  is The part of the network responsible to capture the second resonance in the frequency response

## SIMULATION AND RESULT ANALYSIS OF OVERVOLTAGE

For inverter model, high-frequency cable model and high-frequency induction motor model can be simulated in the MATLAB program. This paper used #6 AWG cable length 35 m and 75 m. Induction motor size 1.5 Kw, 3 phase 380 V.

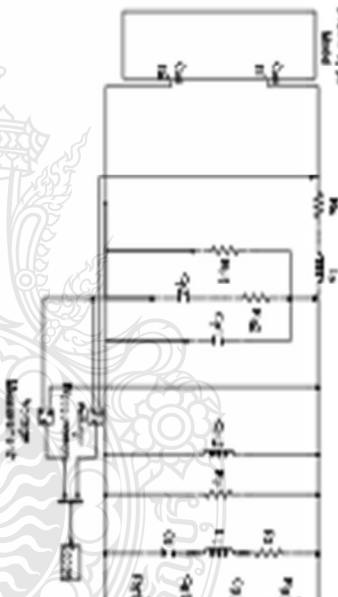


Figure 5. The schematic diagram used simulation overvoltage

Figure 5 used the high-frequency cable model connected high-frequency induction motor model and used input is PWM inverter model simulation in MATLAB program

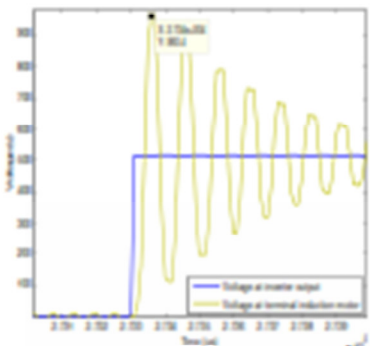


Figure 6. The voltage at cable length 35 m.

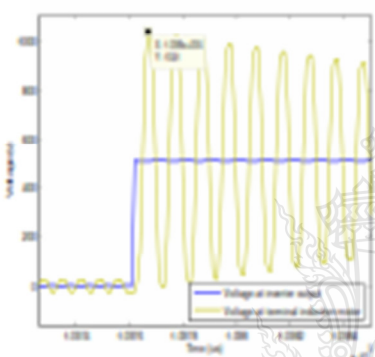


Figure 7. The voltage at cable length 75 m.

For the Figure 6 result of simulation is voltage at inverter output around 513 V. But voltage at terminal of induction motor has over value of overvoltage is 960 V. Fig 7 result of simulation is voltage at inverter output is same Fig 6. But voltage at terminal of induction motor has over than Fig 6 the value overvoltage is 1041 V.

### CONCLUSIONS

This paper used MATLAB program simulation problem found that overvoltage at terminal of induction motor have high value depending on impedance in long power cable according the paper present overvoltage at terminal of induction motor in case cable length 75 m have overvoltage more than 35 m. So the industrial are need surge suppression for protection insulator of winding inverter damage.

### REFERENCES

- B. Basavaraja, and D.V.S.S.Siva Sama 2006. Analysis of the Overvoltage in PWM-Inverter fed Induction Motors, NIT Warangal, Andhra Pradesh, India.
- Toshihisa Shimizu, Mikiya Saito and Masanori Nakamura 2009. Calculation of Motor Surge Voltage under the use of a Surge Suppression Cable, Tokyo Metropolitan University, Tokyo, Japan.
- Alessandro P. Monira, Thomas A. Lipo, Giri Venkataraman, Steffen Berndt 2002. High-Frequency Modeling for Cable and Induction Motor Overvoltage Studies in Long Cable Drives, University of Wisconsin, Madison, USA.
- Said Amariz, and Kamal Al-Haddad 2008. A Modeling Technique to Analyze the Impact of Inverter Supply Voltage and Cable Length on Industrial Motor-Drives, Quebec University, Montreal, Canada.
- B. Basavaraja, and D.V.S.S.Siva Sama 2007. Modelling, Simulation and Experimental Analysis of transient terminal Overvoltage in PWM-Inverter fed Induction Motors, NIT Warangal, Andhra Pradesh, India.

The poster features a blue background with a faint watermark of the conference logo in the center. At the top left is the EENET 2013 logo with the text "ELECTRICAL ENGINEERING NETWORK". In the center is the Royal Seal of Thailand. To the right is the logo of Mahidol University International College.

# การประชุมวิชาการเครือข่ายวิศวกรรมไฟฟ้า มหาวิทยาลัยเทคโนโลยีราชมงคล ครั้งที่ 5

## บทความวิจัย

- ไฟฟ้ากำลัง
- อิเล็กทรอนิกส์กำลัง
- ไฟฟ้าสื่อสารและโทรคมนาคม
- ระบบควบคุมและการวัดคุณภาพ
- คอมพิวเตอร์และเทคโนโลยีสารสนเทศ
- พลังงานและการอนุรักษ์พลังงาน
- นวัตกรรมและสิ่งประดิษฐ์
- งานวิจัยที่เกี่ยวข้องกับวิศวกรรมไฟฟ้า

## บทความวิชาการ

27-29 มีนาคม 2556 โรงแรมหัวหินแกรนด์ แอนด์ พลาซ่า จังหวัดประจวบคีรีขันธ์  
คณะวิศวกรรมศาสตร์ มหาวิทยาลัยเทคโนโลยีราชมงคลพระนคร

**EENET 2013**



## รายชื่อผู้ทรงคุณวุฒิที่จารดานกความ

## การประชุมวิชาการเกี่ยวกับวิศวกรรมไฟฟ้า มหาวิทยาลัยเทคโนโลยีราชมงคล ครั้งที่ 5

ผู้ทรงคุณวุฒิ	หน่วยงาน
ศาสตราจารย์ ดร. วัฒก์	สหบันนาเกกใน ไออิพะซอມเกล้าเจ้าคุณทหารลาดกระบัง
รองศาสตราจารย์ ดร. น.วินัยร์	มหาวิทยาลัยธรรมศาสตร์
รองศาสตราจารย์ ดร.พิชัย	มหาวิทยาลัยธรรมศาสตร์
รองศาสตราจารย์ ดร.อนุวัฒน์	สถาบันเทคโนโลยีพระจอมเกล้าเจ้าคุณทหารลาดกระบัง
รองศาสตราจารย์ ดร.ปูร์สก็อก	สถาบันเทคโนโลยีพระจอมเกล้าเจ้าคุณทหารลาดกระบัง
รองศาสตราจารย์ ดร.วิจิตร์	สถาบันเทคโนโลยีพระจอมเกล้าเจ้าคุณทหารลาดกระบัง
รองศาสตราจารย์ ดร.วิสุทธิ์	สถาบันเทคโนโลยีพระจอมเกล้าเจ้าคุณทหารลาดกระบัง
รองศาสตราจารย์ ดร.สมพร	สถาบันเทคโนโลยีพระจอมเกล้าเจ้าคุณทหารลาดกระบัง
รองศาสตราจารย์ ดร.สุขสันต์	มหาวิทยาลัยเทคโนโลยีพระจอมเกล้าเจ้าคุณทหารลาดกระบัง
รองศาสตราจารย์ ดร.วิบูลย์	มหาวิทยาลัยเทคโนโลยีพระจอมเกล้าเจ้าคุณทหารลาดกระบัง
รองศาสตราจารย์ ดร.บัลลังก์	มหาวิทยาลัยเทคโนโลยีพระจอมเกล้าเจ้าคุณทหารลาดกระบัง
รองศาสตราจารย์ ดร.ธนัชชัย	มหาวิทยาลัยเทคโนโลยีราชภัฏวิษณุవิทยาลัย
รองศาสตราจารย์ ดร.วนิดา	มหาวิทยาลัยธรรมศาสตร์
ผู้ช่วยศาสตราจารย์ ดร.วนิดา	มหาวิทยาลัยธรรมศาสตร์
ผู้ช่วยศาสตราจารย์ ดร.วชิรชัย	มหาวิทยาลัยธรรมศาสตร์
ผู้ช่วยศาสตราจารย์ ดร.สุรพงษ์	มหาวิทยาลัยธรรมศาสตร์
ผู้ช่วยศาสตราจารย์ ดร.ธนิกร์	สถาบันเทคโนโลยีพระจอมเกล้าเจ้าคุณทหารลาดกระบัง
ผู้ช่วยศาสตราจารย์ ดร.ธนิกร์	มหาวิทยาลัยเทคโนโลยีราชภัฏเชียงใหม่
ผู้ช่วยศาสตราจารย์ ดร.ธนิกร์	มหาวิทยาลัยราชภัฏเชียงใหม่
อาจารย์ ดร.ชาญณรงค์	มหาวิทยาลัยราชภัฏเชียงใหม่
อาจารย์ ดร.นาเดีย	มหาวิทยาลัยราชภัฏเชียงใหม่
อาจารย์ ดร.ยุทธา	มหาวิทยาลัยราชภัฏเชียงใหม่
อาจารย์ ดร.นิมิต	มหาวิทยาลัยราชภัฏเชียงใหม่
อาจารย์ ดร.สมมาต์	มหาวิทยาลัยราชภัฏเชียงใหม่



**รายชื่อผู้ทรงคุณวุฒิพิจารณาบทความ  
การประชุมวิชาการเครือข่ายวิศวกรรมไฟฟ้า มหาวิทยาลัยเทคโนโลยีราชมงคล ครั้งที่ 5**

ผู้ทรงคุณวุฒิ	หน่วยงาน
อาจารย์ ดร. วุฒิวัฒน์	ภาควิชาฯลักษณะในไฮบริดรวมกอกลุ่มห้า
อาจารย์ ดร. สายชล	ภาควิชาฯลักษณะในไฮบริดรวมกอกลุ่มห้า
รองศาสตราจารย์ อรุณรัตน์	ภาควิชาฯลักษณะในไฮบริดรวมกอกลุ่มห้า
ผู้ช่วยศาสตราจารย์ วิวิรจน์	ภาควิชาฯลักษณะในไฮบริดรวมกอกลุ่มห้า
ผู้ช่วยศาสตราจารย์ สุกาน	ภาควิชาฯลักษณะในไฮบริดรวมกอกลุ่มห้า
ผู้ช่วยศาสตราจารย์ นินพนธ์	ภาควิชาฯลักษณะในไฮบริดรวมกอกลุ่มห้า
อาจารย์ ประภัสส์	ภาควิชาฯลักษณะในไฮบริดรวมกอกลุ่มห้า
อาจารย์ กัลกรพงษ์	ภาควิชาฯลักษณะในไฮบริดรวมกอกลุ่มห้า
อาจารย์ สมเกตุ	ภาควิชาฯลักษณะในไฮบริดรวมกอกลุ่มห้า
อาจารย์ สมยศ	ภาควิชาฯลักษณะในไฮบริดรวมกอกลุ่มห้า
อาจารย์ นักกันฐ์	ภาควิชาฯลักษณะในไฮบริดรวมกอกลุ่มห้า
ผู้ช่วยศาสตราจารย์ ดร. ภูมิพล ธรรมนูญ	ภาควิชาฯลักษณะในไฮบริดรวมกอกลุ่มห้า
ผู้ช่วยศาสตราจารย์ ดร. วันชัย	ภาควิชาฯลักษณะในไฮบริดรวมกอกลุ่มห้า
ผู้ช่วยศาสตราจารย์ ดร. จักริ	ภาควิชาฯลักษณะในไฮบริดรวมกอกลุ่มห้า
อาจารย์ ดร. อัศราษฎร์	ภาควิชาฯลักษณะในไฮบริดรวมกอกลุ่มห้า
อาจารย์ ดร. กิตติวัฒน์	ภาควิชาฯลักษณะในไฮบริดรวมกอกลุ่มห้า
อาจารย์ ดร. บุญชัย	ภาควิชาฯลักษณะในไฮบริดรวมกอกลุ่มห้า
อาจารย์ ดร. สุวินท์	ภาควิชาฯลักษณะในไฮบริดรวมกอกลุ่มห้า
ผู้ช่วยศาสตราจารย์ ดร. สมชัย	ภาควิชาฯลักษณะในไฮบริดรวมกอกลุ่มห้า
อาจารย์ ดร. อรุณวชิ	ภาควิชาฯลักษณะในไฮบริดรวมกอกลุ่มห้า
อาจารย์ ดร. นฤกานต์	ภาควิชาฯลักษณะในไฮบริดรวมกอกลุ่มห้า
ผู้ช่วยศาสตราจารย์ ศิริชัย	ภาควิชาฯลักษณะในไฮบริดรวมกอกลุ่มห้า
ผู้ช่วยศาสตราจารย์ พัชราภิ	ภาควิชาฯลักษณะในไฮบริดรวมกอกลุ่มห้า
อาจารย์ กันชา	ภาควิชาฯลักษณะในไฮบริดรวมกอกลุ่มห้า



การประชุมวิชาการเครือข่ายไฟฟ้า มหาวิทยาลัยราชภัฏในคราวที่ ๕  
*Proceedings of the 5<sup>th</sup> Conference of Electrical Engineering Network of Rajamangala University of Technology (EENET 2013)*



รายชื่อผู้ทรงคุณวุฒิ สำหรับการพิจารณาความ  
การประชุมวิชาการเครือข่ายวิชากรรมไฟฟ้ามหาวิทยาลัยเทคโนโลยีราชมงคล ครั้งที่ ๕

ผู้ทรงคุณวุฒิ	หน่วยงาน
ผู้ช่วยศาสตราจารย์ ดร.เงินศักดิ์ อาจารย์ ดร.ประสาทไชก	มหาวิทยาลัยเทคโนโลยีราชมงคลรัตนโกสินทร์ ให้ทางค่า
อาจารย์ ดร.มนต์รีวี อาจารย์ดีศักดิ์	มหาวิทยาลัยเทคโนโลยีราชมงคลรัตนโกสินทร์ สมดุลยอกนก แข็งสริริกิจ
ผู้ช่วยศาสตราจารย์ ดร.กันต์พงษ์ อาจารย์ ดร.ไกรฤกษ์	มหาวิทยาลัยเทคโนโลยีราชมงคลรัตนโกสินทร์ เทชชั่น
อาจารย์ ดร.พิชิต อาจารย์กานต์บุญยุชา	มหาวิทยาลัยเทคโนโลยีราชมงคลรัตนโกสินทร์ กิตติศุวรรณ
อาจารย์ดีศักดิ์ อาจารย์ไสวภา	มหาวิทยาลัยเทคโนโลยีราชมงคลรัตนโกสินทร์ พานิชเชวี่ยญ
อาจารย์ลีลาภิรัชช์ รองศาสตราจารย์สมพันธ์	มหาวิทยาลัยเทคโนโลยีราชมงคลรัตนโกสินทร์ ฉัตรเดชาภุส
ผู้ช่วยศาสตราจารย์อภิสูตรพิชัย รองศาสตราจารย์ ดร.ธรรมชัย	มหาวิทยาลัยเทคโนโลยีราชมงคลรัตนโกสินทร์ อรุณรัตน์
อาจารย์ ดร.พินิจ อาจารย์ ดร.วรรณรัตน์	มหาวิทยาลัยเทคโนโลยีราชมงคลรัตนโกสินทร์วิชัย
ผู้ช่วยศาสตราจารย์พันธ์พงษ์ ผู้ช่วยศาสตราจารย์ลีลาภิรัชช์	มหาวิทยาลัยเทคโนโลยีราชมงคลอีสาน (นគរាមณี)
อาจารย์ ดร.รุ่งเพชร อาจารย์ ดร.พิริยา	มหาวิทยาลัยเทคโนโลยีราชมงคลอีสาน (นគរាមณี)
อาจารย์ ดร.วรรณรัตน์ ผู้ช่วยศาสตราจารย์พันธ์พงษ์	มหาวิทยาลัยเทคโนโลยีราชมงคลอีสาน (นគរាមณี)
ผู้ช่วยศาสตราจารย์ลีลาภิรัชช์ อาจารย์รุ่งเพชร	มหาวิทยาลัยเทคโนโลยีราชมงคลอีสาน (นគរាមณี)
ผู้ช่วยศาสตราจารย์สุกานิรันดร์ ผู้ช่วยศาสตราจารย์อุดรศิริวัช	มหาวิทยาลัยเทคโนโลยีราชมงคลอีสาน (นគរាមณี)
อาจารย์รุ่งเพชร ผู้ช่วยศาสตราจารย์สุกานิรันดร์	มหาวิทยาลัยเทคโนโลยีราชมงคลอีสาน (นគរាមณี)
ผู้ช่วยศาสตราจารย์อุดรศิริวัช ผู้ช่วยศาสตราจารย์ประเสริฐ	มหาวิทยาลัยเทคโนโลยีราชมงคลอีสาน (นគរាមณี)
อาจารย์กิตติพัชร อาจารย์ ดร.มนต์รีวี	มหาวิทยาลัยเทคโนโลยีราชมงคลอีสาน (นគរាមณี)
อาจารย์ ดร.ประจวน	มหาวิทยาลัยเทคโนโลยีราชมงคลอีสาน (นគរាមณี)



**รายชื่อผู้ทรงคุณวุฒิพิจารณาบทความ  
 การประชุมวิชาการเครือข่ายวิศวกรรมไฟฟ้า มหาวิทยาลัยเทคโนโลยีราชมงคล ครั้งที่ 5**

ผู้ทรงคุณวุฒิ		หน่วยงาน
ดร.อภิรัตा	นามแสง	สถาบันการบินพลเรือน
ดร.สุวิทย์	อัจฉริยะมต	สถาบันวิจัยวิทยาศาสตร์และเทคโนโลยีแห่งประเทศไทย
ดร.ชุวงศ์	วัฒนศักดิ์ญาณ	การไฟฟ้าส่วนภูมิภาค
ดร.ธรรมด	พยอมห่อน	การไฟฟ้ากำแพงเพชร
ดร.ปานะยัณ	ฤทธิวนิช	กรมวิชาศาสตร์นิเวศน์





## สารบัญ

## ตารางหกความต้องการนิยมที่กำลัง

รหัสหกความ	ชื่อเรื่อง	หน้า
PE01 บทความพิคั่น	การควบคุมความเรื่องเดื่อฟิล์มน้ำหนาเพื่อให้สภาวะแรงดันคงที่ระหว่างลําสำหรับกําหนดนํา ฟรีเอนรูน คํารา' บักลังก์ เนียมดี' และอุตุน คํานําน' 'มหาวิทยาลัยเทคโนโลยีราชมงคลล้านนา' 'มหาวิทยาลัยเทคโนโลยีราชมงคลกรุงศรี'	89
PE02	การออกแบบและควบคุมตอนเวลาเพื่อฟิล์มน้ำหนาในสภาวะแรงดันไม่สมดุลสำหรับ กําหนดนําที่ใช้เครื่องกําเนิดไฟฟ้าแบบกระแสตรง ฟรีเอนรูน คํารา' บักลังก์ เนียมดี' และอุตุน คํานําน' 'มหาวิทยาลัยเทคโนโลยีราชมงคลล้านนา' 'มหาวิทยาลัยเทคโนโลยีราชมงคลกรุงศรี'	93
PE03	การขยายแรงดันคงที่ระหว่างไฟฟ้าสามเฟสสีสุข วัชิน ศรีวันนาวิชัยฤทธิ์ และอุตุน จําสุวรรณ มหาวิทยาลัยเชียงใหม่	97
PE04	การลดความถี่ในการตัวบ่งชี้ Pulse Width Modulation สำหรับมอเตอร์ชนิด Flux Concentration Interior PM ศรีสุดา ใจทองสุก 'ประมุข อุตสาหเดช' ทรง ใจทองสุก' และ N. Takorabet' 'มหาวิทยาลัยเทคโนโลยีราชมงคลลุ่มแม่น้ำ' 'วิทยาลัยเทคโนโลยีคอนเน็คชัน 'University of Lorraine, GREEN, France.'	101
PE05	การขยายผลของการตัวบ่งชี้ สำหรับมอเตอร์กระแสสลับชนิดแม่เหล็ก固定 โดยใช้ลําดับก่อการ ลําดับก่อการแบบบันบัดปัจจุบัน อุตุน จําสุวรรณ และอุตุน คุ้น บุญงาม มหาวิทยาลัยเทคโนโลยีราชมงคลกรุงศรี	105
PE06 บทความเชียะ	การเพิ่มประสิทธิภาพขั้นบันไดของมอเตอร์ที่ต้อง PWM อินเวอร์เตอร์ที่มีสายเคเบิลติดต่อ การติดต่อปุ่มฯ และการติดต่อที่เข้มต่อตัว อุตุน จําสุวรรณ และอุตุน คุ้น บุญงาม มหาวิทยาลัยเทคโนโลยีราชมงคลลุ่มแม่น้ำ'	109



**การประชุมวิชาการเครือข่ายวิศวกรรมไฟฟ้า มหาวิทยาลัยเทคโนโลยีราชมงคล ครั้งที่ 5  
The 5<sup>th</sup> Conference of Electrical Engineering Network of Rajamangala University of Technology (EENET 2013)**



เกียรติบัตรฉบับนี้ฯ ให้เพื่อแสดงว่า

อุਮัสกัด อัญสันง แลภกฤษณ์ชนม์ ภูมิกิตติพิชญ์  
ผู้เขียนบทความวิจัยเรื่อง

กรณีศึกษาการขับเคลื่อนมอเตอร์ด้วย PWM อินเวอร์เตอร์ที่มีสายเดเบิลยาว  
การเกิดปัญหาแรงดันเสียงที่ความอุ่นเครื่อง  
ได้รับการพิจารณาให้เป็นมาตรฐานซึ่งขยายสาขาวิศวกรรมศาสตร์กำลัง

๑๒๔

(ผู้ช่วยศาสตราจารย์ ดร.วัลลภ ภูผา)

คณบดีคณะวิศวกรรมศาสตร์ มหาวิทยาลัยเทคโนโลยีราชมงคลพระนคร  
ประธานจัดงานการประชุมวิชาการ EENET 2013

The 5<sup>th</sup> Conference of Electrical Engineering Network of Rajamangala University of Technology (EENET 2013)  
27-29 มีนาคม 2556 ณ โรงแรมหัวหินแกรนด์ แอนด์ พลาซ่า จังหวัดประจวบคีรีขันธ์



บทความวิจัย

การประชุมวิชาการที่เรื่องข่าวสารกรรณ์ให้ฟ้า มหาวิทยาลัยเทคโนโลยีราชมงคลครั้งที่ ๕

Proceedings of The 5<sup>th</sup> Conference of Electrical Engineering Network of Rajamangala University of Technology (EENET 2013)

### บทความชุมชน สาขาอาชีวศึกษาอนิรุณษ์ก้าวสูง

การศึกษาการขับเคลื่อนอิมอเดอร์ด้วย PWM อินเวอร์ตเตอร์ที่มีสายเก็บนิ่งยาว:  
การศึกษาปัญหาแรงดันเริ่มต้นที่ขั้วบวกอเดอร์

## A Case Study of PWM Inverter-Fed Motor Drives System with Long Motor Cables:

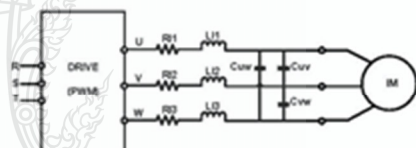
## The Problem Surge Voltage at Terminal Motors

unčatia

บทความนี้นั้นสอนอยู่ถูกทางการเกิดแรงดันเริ่มที่รั่วบนอคตอร์ เมื่อถูกขับโดย PWM อินเวอร์เตอร์นี้สามารถเบรกจากอินเวอร์เตอร์ทันทีเมื่อต้องการจ่ายออกกระแสบล็อกที่เกี่ยวข้องกับอุปกรณ์ที่ต้องการห้าม ทำให้ทราบถึงประโยชน์ในการเก็บแรงดันเริ่ม และสามารถนำไปใช้กับอุปกรณ์ป้องกันต่อได้ในอนาคต โดยหากความถี่นั้นจะใช้กระแสของสายสัญญาณที่  $6 \text{ AWG}$  และแบบต่อขนาด  $1.5 \text{ Kw}, 380 \text{ V}$  ในกรณีจ่ายออกจะเบ่งความของกระแสสัญญาณเป็นสองคราวๆ  $35 \text{ m}, 482 \text{ m}$ . ซึ่งยังต้อง อินพุตเดนซ์ของสายสัญญาณนี้ต้องกับอุปกรณ์ที่ต้องใช้ในภาวะไฟฟ้ารั่วบนกับอุปกรณ์ ขาดส่วนการจ่ายออกหน่วยที่เก็บกระแสของ  $75 \text{ m}$ . เกิดแรงดันเริ่มที่  $961 \text{ V}$  ซึ่งเป็นอัตราของแรงดันเริ่มของอคตอร์

๑๒๘๖

ເນື່ອງສະຫຼັກເກົ່າຂ່າຍໃນການຄຳອຸນຕະກວດການກົມວິໄລຢູ່ນີ້ມີຄວາມສົ່ງ  
ເປັນລົງຈຶບຄົ່ນໂນກາຮັດຄືສິນແຜ່ລົງຈຶບການກວດການພັດທະນາຢູ່ນີ້  
ສໍາເລັດວ່າມີຄວາມສົ່ງໃນການພັດທະນາລົງຈຶບຄົ່ນ  
ກໍານົດໃນການກວດການພັດທະນາຢູ່ນີ້



๒๕๙

Abstract

This paper presents a mitigation of surge voltage at terminal-motor was driven by PWM inverter has cable from inverter to motor that long. A high-frequency model of the long cable represented by an equivalent circuit and made to study the behavior of the surge voltage and can be development of protective device to have in the future. The length of the cable this paper is #6 AWG and motor size 1.5 Kw, 380 V, in the simulation divide length of the cable is 2 length 35 m and 75 m which the impedance of cable different and common mode with device for the simulation shows cable length 75 m, have surge voltage up to 1,041 V, which a damage for insulation motor

จะเป็นบันไดของเข็มทิศได้ร่วมกับขาค้าก้าวตามเดินทาง RE และ  
กลยุทธ์นี้อยู่นานๆ ไม่ใช่สักข้อเบื้องต้นนี่จะต้องผลักดันก้าวที่เป็น  
ระยะห่างถัดไป CI หรือ C2 ซึ่งต้องมีความรู้ที่ดีในการเปลี่ยนแปลง  
มาตรฐานสากลที่อยู่ของ PWM (Pulse Width Modulation) ผ่านการ  
เล่นเรื่องของความถี่ที่ต้องมีการปรับเกิดตัวที่ระยะเดินเรือที่ทั่วโลกของ  
ภาระงานไปด้วย ซึ่งอย่างใหญ่ที่สุดคืนนี้จะมีผลให้เกิดความเสียหาย  
หากเกิดขึ้นแล้วจะต้องหาทางที่ดีที่สุดของช่องทางนวนั้นต่อจากนั้น  
จะต้องหันหน้ากลับไปอีกครั้งหนึ่งที่ต้องมีการตัดสินใจที่ดีที่สุด [1][3]  
จะสามารถหันหน้ากลับไปอีกครั้งหนึ่งที่ต้องมีการตัดสินใจที่ดีที่สุด [2]  
จากปัจจุบันได้ร่วมก้าวตามเดินทางไปต่อไปท่ามกลางการใน  
แนวเจรจาและพัฒนาการก้าวตามความต้องการของประเทศให้เพิ่มมากขึ้นก้าวตามเดินทาง

Nanoparticle Transport: Surface velocity as determined by the Common Mode

$$\nabla_i = (1 - \Gamma) \nabla_i \quad (6)$$

บทความวิจัย

การประชุมวิชาการเครือข่ายวิศวกรรมไฟฟ้า มหาวิทยาลัยเทคโนโลยีราชมงคลครึ่งที่ ๕

Proceedings of The 5<sup>th</sup> Conference of Electrical Engineering Network of Rajamangala University of Technology (EENET 2013)

$$\Gamma = \left( \frac{Z_s - Z_o}{Z_s + Z_o} \right) \quad (2)$$

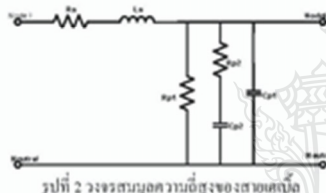
$$R_{p2} = 2 \left( \text{Real}\{Z_{oc}\} f_{high} \right) \left[ \left( \frac{\text{Imag}\{Z_{oc}\} f_{high}}{\text{Real}\{Z_{oc}\} f_{high}} \right)^2 + 1 \right] \quad (7)$$

$$C_{p2} = \left[ \left( 2\pi f_{high} \right) \begin{pmatrix} \text{Real} \{ Z_{oc} \}_{f_{high}} \\ \text{Imag} \{ Z_{oc} \}_{f_{high}} \end{pmatrix} R_p \right]^{-1} \quad (8)$$

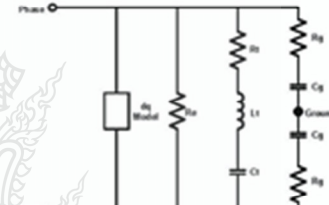
$$C_{p1} = \left[ \left( 2\pi f_{low} \right) \left( \frac{\text{Re}\{Z_{oc}\}_{f_{low}}}{\text{Im}\{Z_{oc}\}_{f_{low}}} \right) R_{p1} \right]^{-1} - C_{p2} \quad (9)$$

3. แนวทางการพัฒนาที่ปรุงอาหารที่มีมาตรฐาน

จากสมการ(2)-(7) จะได้  $R_p L$ , ที่ต้องการความดันไฟฟ้าและกำลังไฟฟ้าที่ต้องใช้ของอิมพีเดนซ์ชาร์จเก็บบีบเน้นด้วยงวด  $R_p, R_{\mu}, R_{\nu}$  ที่ต้องการความดันไฟฟ้าของอิมพีเดนซ์ชาร์จเก็บบีบเน้นเป็นวงจรระดับ  $C_p, C_{\mu}, C_{\nu}$  ที่ต้องการความดันไฟฟ้าของอิมพีเดนซ์ชาร์จเก็บบีบเน้นโดยวงจรระดับ  $C_p, C_{\mu}, C_{\nu}$



จากวาระสมมุติความคืบหน้าของสถานที่นี้จะสามารถพิจารณาและดำเนินการต่อไปได้โดยทันที แต่ในส่วนของการดำเนินการต่อไปนั้น ยังคงต้องคำนึงถึงความต้องการของผู้ใช้บริการเป็นสำคัญ ดังนั้น จึงขอเรียนเชิญให้ผู้ที่สนใจเข้าร่วมการประชุมเพื่อหารือแนวทางการดำเนินการต่อไป ณ ห้องประชุมชั้น ๑ ของสำนักงานเขตพื้นที่ฯ ที่ตั้งอยู่ที่ ๑๘๐ ถนนสุขุมวิท แขวงคลองเตย เขตคลองเตย กรุงเทพมหานคร ๑๐๑๑๐ ประเทศไทย



กู๊ดที่ 3 ว่าจะตั้งเป้าหมายให้สูงขอขอบคุณค่ะ

$$Z_0 = \sqrt{Z_{\infty} Z_w}$$

ได้ที่  $\angle$  ก็ต้องมีเงื่อนไขของส่วนหนึ่ง  $\angle$  ก็ต้องมีเงื่อนไขของส่วนหนึ่งของรูปสามเหลี่ยมเป็นครึ่งหนึ่ง  $\angle$  ก็ต้องมีเงื่อนไขของรูปสามเหลี่ยมที่  $\frac{1}{2}$  เวลาบานง่อน้าไปทางท่าทางน้ำแล้วก็จะมีเงื่อนไขของรูปหัวใจน้ำที่  $\frac{1}{2}$  เนื่องจากความที่รั่วได้

$$R_s = \frac{2}{\pi} \operatorname{Real} \left\{ Z_{sc} \right\} f_{low}$$

$$L_s = \frac{2}{\pi \gamma \pi f_c} \cdot \text{Imag}\{Z_{sc}\}_{\text{high}}$$

$$R_{p1} = 2 \left( \text{Res} \left\{ Z_{oc} \right\} f_{low} \right) \left[ \frac{\text{Imag} \left\{ Z_{oc} \right\} f_{low}}{\text{Res} \left\{ Z_{oc} \right\} f_{low}} \right]^2 + 1$$

100

$$R_{\text{c}} \approx 3 \times \text{Real} \left\{ Z_{\text{PG}} \right\} f_{\text{low}}$$

(18) sign

$$L_d = \frac{2}{C_s} \cdot \frac{1}{2\pi f_s \cdot Z_s} \quad (12)$$

$$R_o \approx 3 \times \text{Imag} \left\{ Z_{mn} \right\} f_{\text{pole}} \cdot Z_{mn} \quad (13)$$

$$G_s \approx \frac{c_s}{\omega} \quad (14)$$

$$= \int_{-\infty}^{\infty} \left( \frac{1}{\sqrt{2\pi}} e^{-\frac{x^2}{2}} \right)^2 dx$$

$$L_t \approx \frac{1}{C_t} \left[ \frac{1}{2\pi f_{\text{zero}} Z_{pa}} \right] \quad (15)$$

www.zigzaglearning.com

1991-1992-1993-1994-1995

บทความวิจัย

การประชุมวิชาการศรีเชียงใหม่ทางภูมิศาสตร์และมนุษยศาสตร์ในครั้งที่ ๕

Proceedings of The 5<sup>th</sup> Conference of Electrical Engineering Network of Rajamangala University of Technology (EENET 2018)

$$R_t \approx 3 \times \text{Real}\{Z_{pn}\} f_{\text{zero}} - Z_{pn} \quad (16)$$

ໂຄສ.  $C_s$  ອີກດ້າກ່າວປັບແນນຂ່າຍອະກວຽກ  $R_s$  ອີກຈວາມ  
ດ້ານການທີ່ໄໝງຂອງເມອເລອດ  $L_s$  ອີກດ້ານດັບແນນຂ່າຍອະກວຽກ  $R_s$   
ອີກຮັດຂອງນອກຈົວດ້າວກາງວຸງຢູ່ເຊີ້ນ Eddy Current Loss ແລະ  $C_s L_s R_s$  ອີກ  
ຕ່າງໆພົນຂອດຂອງນອກຈົວດ້າວກາງວຸງຢູ່ເຊີ້ນ

### 3. การจัดองค์การเพิ่มแปรรังสีน้ำเสียที่ข้าวของน้องหนูริ

ในการต่อวงจรไฟใช้การนับหน่วยของวัสดุที่ได้แก่ ขนาดของรั้วน้ำ 1.5 Kw. 380 V. 3 Phase เป็นการต่อวงจรและใช้สายกันไฟ #6 AWG ที่มีความยาวของสายอยู่ที่เกิน 35 m และ 75 m

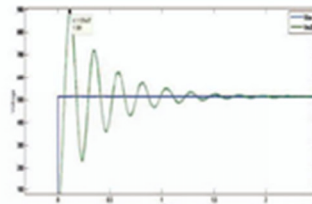
ตารางที่ 1 ผลการวิเคราะห์ของวาระเรียนผ่านความต้องการของนักเรียน [3]

Cable Gauge	R <sub>i</sub> (kΩ)	L <sub>i</sub> (mH)	R <sub>j1</sub> (kΩ)	R <sub>j2</sub> (kΩ)	C <sub>j1</sub> (pF)	C <sub>j2</sub> (pF)
6	1.5	0.24	173.9	13.9	137.1	22.5
8	6.0	0.20	262.1	21.2	119.7	15.3
10	7.0	0.28	221.7	18.9	125.4	17.7

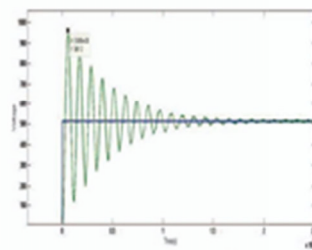
ตารางที่ 2 หัวข้อมูลของความถี่ความผูกพันกับความต้องการ [3]

Rate (HP)	$C_s$ (pF)	$R_s$ (kΩ)	$L_s$ (mH)	$R_i$ (kΩ)	$C_i$ (pF)	$L_i$ (mH)	$R_o$ (kΩ)
2	290	15.3	5.1	3.9	29	0.27	0.324
3	314	35.5	4.0	5.6	31.4	2.7	1.15
7.5	700	36.2	0.55	3.3	70	0.21	0.94

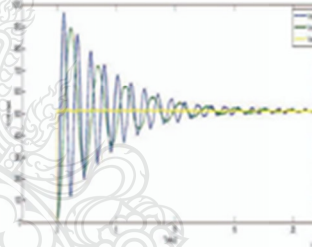
#### 4. မှတ်သာမြန်မာစာပေမျက်နှာ



รูปที่ 4 ผลการจัดอันดับที่ความสูงของบันไดทำกัน 35 m.



รูปที่ 5 ผลการจำลองที่ความชันทางบันไดทำกัน  $75^\circ$



รูปที่ 6 ผลการจำลองน้ำฝน ให้พื้นที่อยู่ต่ำกว่า 35 m. และ >75 m.

5.02

## บทความนิยม

การประชุมวิชาการที่เรื่องงานวิศวกรรมไฟฟ้า มหาวิทยาลัยเทคโนโลยีราชมงคลกรุงเทพ ครั้งที่ 5

*Proceedings of The 5<sup>th</sup> Conference of Electrical Engineering Network of Rajamangala University of Technology (EENET 2013)*

## เอกสารอ้างอิง

- [1] S. Amarir, and K. Al-Haddad, "A Modeling Technique to Analyze the Impact of Inverter Supply Voltage and Cable Length on Industrial Motor-Drives", IEEE Transactions on Power Electronics, Vol. 23, No. 2, March 2008,pp.753-762.
- [2] N. Aoki, K. Satoh, and A. Nabae, "Damping Circuit to Suppress Motor Terminal Overvoltage and Ringing in PWM Inverter-Fed AC Motor Drive Systems with Long Motor Leads", IEEE Transactions on Industry Applications , Vol. 35, No. 5, September/October 1999,pp.1014-1020.
- [3] Alessandro F. Moresira, Thomas A. Lipo, Giri Verkataswamy, Steffen Berzett 2002, "High-Frequency Modeling for Cable and Induction Motor Overvoltage Studies in Long Cable Drives", University of Wisconsin, Madison, USA.
- [4] Toshihisa Shimiza, Mikiya Saito and Masanori Nakamura 2009, "Calculation of Motor Surge Voltage under the use of a Surge Suppression Cable", Tokyo Metropolitan University, Tokyo, Japan.
- [5] Udomsak Yoosanong and Krischoteme Bhumikitphichai, "Analysis Overvoltage Problem at Terminal of Induction Motors", International Conference on Sustainable Energy and Green Architecture, March 2012,pp.45



## ประวัติผู้เขียน

ชื่อ-สกุล

วัน เดือน ปี เกิด

ที่อยู่

การศึกษา

ประสบการณ์การทำงาน

พ.ศ. 2548 – 2555

พ.ศ. 2555 – ปัจจุบัน

นายอุดมศักดิ์ อยู่สันง

4 เมษายน 2528

344/5 หมู่ 6 ช.ชุมครร ถ.พหลโยธิน ต.ทะเลชุมศร อ.เมือง จ.ลพบุรี

สำเร็จการศึกษา สาขาเทคโนโลยีไฟฟ้า มหาวิทยาลัยราชมงคล

ชั้นบุรี

วิศวกร โครงการ ตรีศักดิ์ กรุ๊ป

วิศวกร โครงการ หจก. เอ.อี.เพาเวอร์

